

وزارة الري

المجلة العلمية للموارد المائية

الزلازل وتأثيرها في السدود الركامية



نصرة نجيب أدمو

الزلازل  
وتأثيراتها في السدود الركامية  
EARTHQUAKES AND THEIR EFFECT ON  
EMBANKMENT DAMS

تأليف

By:

Nasrat N. Adamo, MSc.

Chief Engineer

State Organization for Dams

Ministry of Irrigation

نصرة نجيب ادمو

رئيس مهندسين

المؤسسة العامة للسدود

وزارة الري

مراجعة

Revised by:

Khalid J. Fahmi, Ph.D.

Head, Seismology Unit

Building Research Center

Scientific Research Council

الدكتور خالد جهاد فهمي

رئيس وحدة الرصد الزلزالي

مركز بحوث البناء

مجلس البحث العلمي



كلمة سكرتارية هيئة التحريرو

على الرغم من أن السجل الانساني قد زخر بالجازات العرب في حقل الموارد المائية وسجل لهم أعمالهم ودراساتهم المعروفة خلال عصور التاريخ المختلفة ، نجد أن المكتبة العربية الحديثة لازالت تنحصر نسبيا الى المؤلفات التي توازى ما جرى وما يجري من مشاريع وأبحاث في هذا المجال في وطننا العربي . ومن هذا المنطلق دأبت اللجنة الوطنية العراقية للبرنامج الهيدروجي الدولي العمل على تخطيط الضوء على جزء من البحوث والمشاريع الجارية في وطننا العربي .

عددنا الخاص هذا يمثل أحد المؤلفات المتواضعة التي ترغب اللجنة في وضعها  
بمناول القارئ للاستفادة منها ، وهنا تجدر الإشارة الى الدعم المتواصل والتشجيع المستمر الذي  
لقاه من الاستاذ عبد الوهاب محمود وزير الري ورئيس اللجنة الوطنية العراقية  
للبرنامج الهيدرولوجي الدولي في ايجاز مثل هذه المطبوعات .

بهذه المناسبة ، ندعو كافة الباحثين والعاملين في مجال الموارد المائية لتزويدنا بما لديهم من تقاـج علمي لوضعه في متناول القراء للاستفادة منه . وفقـ الله الجميع .

د • نضیر الانصاری

## Presentation

الصفحة Page	المحتوى	الترتيب
1	الزلازل وخواصها	الباب الأول -
2	بهذة تاريخية	١٠١
2	الزلازل : أسبابها وتأثيراتها	١٠٢
3	مقاييس الزلازل	١٠٣
11	كيفية تحديد بؤرة الزلازل	١٠٤
13	العوجات الزلزالية	١٠٥
14	الهزات الثانوية	١٠٦
15	الهزات الارضية والتفجيرات	١٠٧
15	الطرق الاحصائية المستعملة في دراسة الهزات الارضية	١٠٨
16	علاقة المقدار - التكرار ونموذج بواسون	١٠٨٠١
20	نموذج كلوندايك	١٠٨٠٢
22	الفعالية الزلزالية للعراق وعلاقة المقدار - التكرار	١٠٨٠٣
27	نظرية القيم القصوى وتوزيع مكبل	١٠٨٠٤
31	التوزيعات التقاربية لمقادير الهزات الارضية القصوى في العراق	١٠٨٠٥
33	تقدير الحركات السطحية للهزات الارضية	١٠٩
37	التأثيرات الفعلية على السدود والمنحدرات	الباب الثاني -
38	المقدمة	٢٠١
38	الخطورة الزلزالية وعلاقتها بتصاميم السدود	٢٠٢
43	دراسات الخطورة الزلزالية في العراق	٢٠٣
43	تأثيرات الزلازل على السدود القائمة	٢٠٤
48	أمثلة من تأثيرات الزلازل على السدود الركابية	٢٠٥
62	التمهيد	٢٠٦
67	الطرق التحليلية في تصاميم السدود الركابية بالنسبة للزلازل	الباب الثالث -
68	المقدمة	٣٠١
72	التحليل الشبه ستاتيكي - استعمال القواعد التجريبية	٣٠٢
76	التحليل الشبه ستاتيكي - افتراض تجاوب السد للهزة	٣٠٣
	كتجاوب الاجسام الجاسئة	



الصفحة

77	التحليل الشبه ستاتيكي - الاستجابة اللزجة - المرونة	٣٠٤
103	التحليل الديناميكي - بصورة عامة	٣٠٥
108	التحليل الديناميكي - خواص المواد	٣٠٦
111	التحليل الديناميكي - نمذجة الحالة الاهتزازية	٣٠٧
114	المصطلحات .....	
120	المصادر المستخدمة في البحث .....	

- (١) تغيير التعجيل الاقصى للحركة الارضية مع البعد عن الفالق •
- (٢) خارطة التوزيع المحسوب لشدة الهزات الارضية في العراق •
- (٣) علاقة التكرار - المقدار للهزات الارضية •
- (٤) خارطة توزيع بؤر الهزات الارضية في العراق •
- (٥) منطقة التضاريس في شمال وشمال شرق العراق مع مواقع بؤر الزلازل المهمة •
- (٦) المنطقة المدروسة من قبل توشيح في شمال وشمال شرق العراق •
- (٧) التوزيعات التقاربية للهزات الارضية القصوى في العراق موزعة على مقياس لوغاريتم مضاف وقدرة بطريقة المربعات الصغرى •
- (٨) دراسة الخطورة الزلزالية لموقع معين بسبب الهزات الارضية في المنطقة المحيطة
- (٩) دراسة فشل سد شيفيلد نتيجة للتميع •
- (١٠) سد اوفيل - مواد البناء المستخدمة ومواقع اجهزة المراقبة •
- (١١) التميع الجزئي والتميع الكلي لعينات من التربة الموصوفة وغير الموصوفة المشبعة نتيجة تحميلها جهود قصية دورية متكررة •
- (١٢) الانزلاقات المحتطة في السدود نتيجة الهزة الارضية •
- (١٣) خارطة الاحتمالات الزلزالية للولايات المتحدة الامريكية •
- (١٤) خارطة الاحتمالات الزلزالية لليابان •
- (١٥) توزيع المعامل الزلزالي حسب ارتفاع السد •
- (١٦) منظومة مربية بسيطة مع خامد لزوج ( ذات درجة حرية واحدة ) •
- (١٧) نموذج لذراع القصب واطوار اهتزازه ( منظومة ذات عدة درجات من الحرية ) •
- (١٨) طيف المعامل الزلزالي لقمة السد بموجب طريقة هاتناكا •
- (١٩) تغيير المعامل الزلزالي نسبة لارتفاع السد بموجب طريقة هاتناكا •
- (٢٠) منحنيات طيف معدل التعجيل لهاوسنر •
- (٢١) طريقة امريزي للتحليل للزوج - العرن •
- (٢٢) منحنيات لاستخراج المعامل الزلزالي حسب طريقة امريزي •
- (٢٣) تغيير المعامل الزلزالي حسب ارتفاع السد للمثال في الجدول ( ١٤ ) •
- (٢٤) تغيير التعجيل الارضي المسجل في نقاط مختطفة في جسم سد كسنياما في اليابان •
- (٢٥) تغيير نسبة التكبير للمركبة الشمالية / الجنوبية في هزة السنترو مع فترة التردد للطول الاساسي ( بمعامل اخمداد ١٠٪ ) •
- (٢٦) تغيير نسبة التكبير للمركبة الشمالية / الجنوبية في هزة السنترو مع فترة التردد للطور الاساسي ( بمعامل اخمداد ٢٠٪ ) •

## تتمة قائمة الاشكال :

- (٢٧) تغيير نسبة التكبير للمركبة الشمالية / الجنوبية في هزة السنترو مع فترة التردد للظهور الاساسي ( بمعامل اخمداد ٤٠ % ) •
- (٢٨) معدل طيف التكبير ( بمعامل اخمداد ٢٠ % ) •
- (٢٩) منحنيات تصحيح القيم لمعاملات الاخمداد المختلفة للشكل ( ٢٨ ) •
- (٣٠) حالة الانزلاق للككتبة مارة بقمة السد وقاعدتها في مستوى فوق مستوى الاسس •
- (٣١) معدل المعامل الزلزالي الاي ( معامل اخمداد ٢٠ % ) •
- (٣٢) منحنيات تصحيح القيم لمعاملات الاخمداد المختلفة للشكل ( ٣١ ) •
- (٣٣) الحالة العامة للانزلاق •
- (٣٤) تغيير معدل المعامل الزلزالي الاي للككتبة المنزلقة مع فترة التردد الاساسي •
- (٣٥) علاقة الجهد - الاجهاد تحت تأثير النهض والتناوب بالجهد •
- (٣٦) شبكة القطع المحددة لقطع سد •
- (٣٧) نماذج الهزات الارضية لتصميم السدود بأسلوب التحليل الديناميكي •



## Tables

## الجسد اول

- (١) مقياس ميوكالي المعدل •
- (٢) مقياس الشدة الياباني •
- (٣) الحدوث الدوري المشاهد والقدر بطريقة العرصات الصخرى لعقادي الزلازل القصوى في العراق •
- (٤) القيم الثابتة لاهم معادلات التوهين المطبقة في العالم في الوقت الحاضر •
- (٥) التعجيل الارضي الاقصى المحتمل في شمال شرق العراق لعمر اقتصادي ٢٠ سنة •
- (٦) التعجيل الارضي الاقصى المحتمل في شمال شرق العراق لعمر اقتصادي ٥٠ سنة •
- (٧) التعجيل الارضي الاقصى المحتمل في شمال شرق العراق لعمر اقتصادي ١٠٠ سنة •
- (٨) خلاصة بالسدود التي تمت دراسة تأثيرات الزلازل عليها ————— •
- (٩) الاضرار الناجمة عن الهزات في السدود المذكورة في الجدول ( ٨ ) •
- (١٠) الاضرار التي أصابت السدود في زنة اوكار ١٩٣٩ •
- (١١) قيم المعامل الزلزالي في المناسيب المختلفة للسد •
- (١٢) قيم  $a_n$  لطوار الحركة بازدياد المعامل الزلزالي حسب المعادلة (52) •
- (١٣) قيم معامل التكبير نسبة لمعامل الاخماد ————— •
- (١٤) مثال يوضح طريقة امبريزي لاحساب المعامل الزلزالي لمناسيب مختلفة من السد •
- (١٥) خواص المواد البدائية ————— •
- (١٦) خواص المواد الديناميكية •
- (١٧) خواص الهزات النعوجية المستخدمة في التحليل الديناميكي ————— •

تميزت الخمسون سنة الأخيرة بنشاط كبير لبناء السدود في كافة بقاع الارض • وكان ذلك منبعا من الحاجة الى تطوير وصيانة مصادر المياه وترويض الانهار بقصد القضاء على مخاطر الفيضانات المدمرة من جهة وتأمين متطلبات الزراعة من مياه الري لتوفير الغذاء للاعداد المتزايدة من السكان من الجهة الاخرى • ناهيك عن توفير احتياجات الصناعة المتعاظم للطاقة الكهربائية وحاجة فروع الاقتصاد الاخرى لهذه الطاقة المحركة • وكما هو معلوم فإن السدود الكونكرتية يتطلب انشاؤها أساسا غاية في المتانة وقوة التحمل • لذا وباستنفاد العراق ذات الصفات هذه كان لابد من التوجه المتزايد نحو انشاء السدود الركامية • ومعلوم ايضا بأنه يمكن لهذه الأخيرة أن تبني في مواقع أضعف وأقل تحملا •

ان هذا الاتجاه قد وضع على المهندسين والمصممين مسؤولية كبيرة لتطوير فروع هندسية جديدة • فكان التطور الواسع في فروع ميكانيك التربة وميكانيك الصخور والجيولوجيا والسيزمولوجيا وغيرها من فروع الهندسة الجيوتكنيكية • ويزداد الحاجة الى سدود أعلى وخزانات أكبر زاد التحدي وزاد التطور •

ان ما يهمني في موضوع هذا البحث هو تأثير الزلازل على تصاميم السدود الركامية وتطور الدراسات والبحوث في هذا الحقل • فلقد شهدت دراسات الزلازل ( علم السيزمولوجيا ) بصورة عامة وتأثيراتها على المنشآت بصورة خاصة جهدا علميا وتطبيقيا مكثفا من خلال البحوث في مراكز الابحاث والجامعات والمؤسسات والندوات العلمية والمهنية العالمية • لذا يمكن القول بتوفر خبرة واسعة جدا في هذا الباب ويتركز جزءا كبيرا من هذه الخبرة في مجال تصاميم وانشاء السدود الركامية •

ان النقص الواضح في المكتبة العربية فيما يتعلق بالكتابات الهندسية بوجه عام وما يخص هذا الموضوع بالذات قد قادني الى التفكير في امكانية المساهمة بجهد متواضع لتقديم بعض ما متوفر من هذه المعلومات وباللغة العربية •

مما تقدم يمكنني القول بأن الهدف من هذا البحث ذو شقين : أولهما جمع المعلومات الرئيسية في اتجاه يخدم مهندسي ومصممي السدود ، وكذلك الدارسين في هذا المجال • أما ثانيهما فهو محاولة تعريف العديد من المصطلحات الهندسية الخاصة بهذا الحقل •

لقد كان لزاما علي لتنفيذ الشق الأول من تحقيق العديد من البحوث ومقارنتها بعضها مع البعض الاخر وابداء الرأي بمدى الدقة أو الملائمة وعلى ضوء التجربة العملية • وفي هذا كثيرا ما وجدت تناقض في بعض الاستنتاجات أو الاجتهادات فكان لابد من عملية الغرلة واستخلاص الغيد وطرح الباقي جانبا • كما علمت أن تكون المعلومات والبيانات عامة متجنباً ذكر الخصوصيات بالنسبة للسدود العراقية مع ما لهذه الخصوصيات من أهمية بالغة احيانا مكتفيا بما منشور فعلا من خلال المؤتمرات والندوات العلمية العالمية •



اما لتحقيق الشق الثاني وهو التعريب فقد واجهتني في ذلك صعوبات كبيرة • وقد حاولت  
 أن أنتهج ترجمة المعنى وليس النص الحرفي • ونقاديا للالتباس فقد وضعت النص الانكليزي تجاه  
 المصطلحات المعربة مع جمع هذه المصطلحات بحسب الحروف الهجائية في جدول ملحق لسهولة الرجوع  
 اليها اذا مادت الحاجة • وقد أكون قد وفقت لتحقيق هذا المطلب بعض الشيء أو قد أكون فشلت •  
 وأترك للقارى الكريم أن يسامحني حيثما لم يتفق معي واللّه من وراء القصد •

وبعد ، فإن البحث مقسم الى ثلاثة أبواب • يبحث ( الأول ) في خواص الزلازل وطرق قياسها  
 وحساباتها ويركز على موضوع التأثيرات الحركية السطحية للهزات ، حيث ان الدمار أو التخريب  
 المحتملين في السدود أو المنحدرات الطبيعية معثما هذه التأثيرات • أما ( الباب الثاني ) فقد  
 احتوى على جمع وتحليل حالات فشل عديدة للسدود بنتيجة هزات أرضية • وفي هذا حاولت أن يكون  
 التحليل باتجاه استخلاص قواعد تغيد المهندس المنفذ والمهندس المصمم للحصول على سـدود  
 ذات مقاومة أكبر لتأثيرات الزلازل المدمرة • ويركز هذا الباب ايضا على موضوع تطبيقي الا وهو ( الخطورة  
 الزلزالية ) • ولي في ذلك رأى واضح نظرا لأهمية هذا الموضوع الكبيرة في فلسفة تصاميم السدود  
 ولاهميته في جوانب تطبيقية اخرى كالتأمين الهندسي •

وقد أنصب البحث في ( الباب الثالث ) على تتبع التطور في أساليب التفكير والتحليل الهندسيين  
 في ملاقة تأثيرات الزلازل وكيفية ادخال متغيراتها ضمن حسابات درجة امان وسلامة السدود •

وهنا لا بد لي من ذكر شيء مهم وهو بأنني قد أغفلت وعن عمد وسابق قصد جوانب اخرى من  
 العلاقة بين ( الزلازل والسدود ) وكان هدفي عدم جعل البحث جامد المادة وكثير التعقيد • وعلى  
 أمل العودة ربما مستقبلا للتطرق الى هذه الجوانب في بحوث اخرى وربما أيضا من قبل باحثين اخرين  
 أكثر مني تضلعا فيها • ومن هذه الجوانب ، تأثيرات الخزانات الكبيرة في احداث الزلازل ، طرق قياس  
 وتسجيل الزلازل ومتغيراتها في السدود ، اضافة الى دراسات نمذجة الزلازل المسجلة فعلا لاغراض  
 تصاميم السدود ، وبرامج الحاسبة الالكترونية المستخدمة في التحليل •

ختاما ، أمني كبير أن يكون في هذا البحث بعض من الفائدة المرجوة لخواني المهندسين  
 والباحثين واللّه ولي التوفيق •



الباب الأول

الزلازل وخصائصها

PART ONE

EARTHQUAKE CHARACTERISTICS

ارتبطت بأذهان الناس ومنذ القدم مسببات الزلازل مع فكرة وجود اجهادات داخلية في باطن الارض . ونرى ذلك واضحا في نظرية أرسطو عن الزلازل ، غير أن القرون الوسطى شهدت تهديلا في هذا التفكير ، حيث وضع اللاهوتيون حدا للافتراضات والتكهنات وتم اعتناق نظرية ( غضب الله ) كسبب للكوارث الطبيعية ومنها الزلازل . وكانت لهذه النظرية جذورها في التوراة . فقد يكون خراب ( سادوم ) و ( عامورة ) وسقوط ( جرش ) من الامثلة الاولى للفعالية الزلزالية ( Seismic Activity ) في وادي الاردن . وهكذا نرى بأن تفسير مسببات الزلازل المستند على الطبيعة قد تم تحريمه من قبل الكنيسة خلال القرن الخامس الميلادي واعتبر ذلك شكلا من أشكال الهرطقة . غير أن الصيدين خلال الفترة نفسها كانوا قد طوروا أنظمة معقدة لرصد الزلازل في أنحاء الامبراطورية . وقد كان سبب هذا الاهتمام الرسمي بموضوع الزلازل هو الاعتقاد بأن الزلازل تؤثر تخييرات وشبكة الوقوع في جهاز الدولة . فقد اخترع جان هينغ ( ٦٨ م - ١٣٩ م ) الفلكي في بلاط الخان أول جهاز لتسجيل الهزات الارضية ( Seismograph ) مستندا على فكرة عمل البندول . هذا وقد أظهرت الاكتشافات اللاحقة مؤخرا في بعض عواصم الاقاليم عن وجود سجلات لهذه الهزات بما يحتل تاريخ زلزالي حافل للصين لمدة ( ٢٠٠٠ ) سنة . كما تم اكتشاف سجلات مماثلة في اليابان يرجع عهدها الى سنة ( ٥٩٩ م ) . أما في الأماكن الاخرى من العالم فلم يحضر تسجيل الزلازل بمثل هذا الاهتمام . فعلى الرغم من أن النظرية الخاصة بباطن الارض أخذت تجتذب اهتمام أفضل العلماء في زمنهم أمثال لابلاس ( Laplace ) ، وبواسون ( Poisson ) ولاميه ( Lamé ) وريلي ( Rayleigh ) وآخرين ، إلا أن علم الزلازل المبني على الملاحظة والتسجيل لم يبدأ إلا في بداية القرن الحالي ، حيث تم صنع عدد من أجهزة رصد الهزات ( Seismometer ) البسيطة . ويوجد الآن ما لا يقل عن ( ١٠٠٠ ) محطة رصد زلزالية منتشرة في أنحاء العالم باستطاعتها تسجيل وتحديد وفهرسة الهزات الارضية التي يزيد مقدارها عن ( ٤٥ ) درجات .

## ١٠٢ الزلازل : أسبابها وتأثيراتها : (Earthquake Occurrence: Causes and Effects)

يرى التفسير الحديث للزلازل بأن مكونات باطن الارض أبعد ما تكون عن الاستقرار وان هناك وفي هذه المكونات حركة مستمرة . وينجم عن هذه الحركة تسليط ضغوط وقوى شديدة على طبقات الصخور التي تقع ضمن مجالها . وعندما تصل هذه القوى حدا ليس بإمكان الصخور تحمله ، فعندئذ تبدأ بالتشقق ويتم تحرير الطاقة بصورة مفاجئة وسريعة ويكون جزء من الطاقة المتحررة بشكل موجات تسبب اهتزاز الارض . كما أن من أثارها أيضا حصول الفوالق الارضية . ومن هذه الفوالق ما يكون صغيرا لا يتجاوز طوله عدة أمتار ومنها ما يكون كبيرا جدا يصل طوله الى مئات الكيلو مترات وتعتبر هذه الفوالق الشواهد التاريخية على وقوع الهزات الارضية خلال الحقبة الجيولوجية المختلفة من عمر الارض .



ان التدمير والتخريب الذي ينتج عن الهزات الارضية انما يحصل من العوجات المتولدة والتي  
أشربا اليها • وتعتمد نسبة التدمير على طاقة العوجات الزلزالية ومن المعروف عن الزلازل بأن ليس  
لحدوثها أماكن معينة وثابتة ، بل أنها يمكن أن تحدث في أى بقعة من بقاع الكرة الارضية • وإن كثرة  
وقوعها في مناطق معينة انما بسبب وقوع هذه المناطق ضمن مناطق اجهادات معروفة في القشرة  
الارضية • كما أن ليس لحدوث الزلازل أوقات معينة أو تكرارات ثابتة وإن كانت هناك محاولات احصائية  
كثيرة للتنبؤ بوقوع هذه الزلازل • غير أن هذه المحاولات تبقى غير مجدية طالما ان هناك ولا يزال  
المزيد من المعلومات الواجب معرفتها عن طبيعة الزلازل •

## (Earthquake Scales)

## ١٠٢ مقاييس الزلازل

يعرف أى زلزال عادة بوقع حدوثه ( خط العرض ، خط الطول ، العمق ) ، وكذلك زمن وقوعه  
والطاقة المتحررة عنه ، وحيث أن من الصعب جدا قياس كمية الطاقة هذه فقد تم اعتماد عدد من  
المقاييس لقياس حجم الزلازل • ولا بد من القول بأن أى من هذه المقاييس لا يعطي وصفا كاملا وشاملا  
لجميع خواص الزلازل • فهناك القياس الشائع والمعروف بقياس ريختر ( Richter ) نسبة  
الى العالم الذي وضعه ويقوم هذا القياس بمقدار الزلزال ( Magnitude ) ويرمز لهذا المقدار  
بالحرف ( M ) • ويتم احتساب مقدار الزلزال من لوغاريتم سعة أكبر العوجات الزلزالية  
( log Maximum Amplitude of Seismic Waves ) وبما أن هناك عدة أنواع من العوجات  
الزلزالية التي يمكن التقاطها وبالتالي تسجيلها على السجل الزلزالي ( Seismogram ) ( او مجموعة  
الخطوط البيانية المتواصلة والمتغايرة انحنائها زمنيا والتي ترسم التاريخ الزمني القصير نسبيا لتكسر  
القشرة الارضية عند حدوث الزلزال ) ، لذلك وجد العالم ريختر بأنه بالامكان وصف الطاقة المتحررة  
( والتي تتناسب مع سعة الموجة المسجلة ) من خلال قياس العوجات القصيرة أو المستعرضة  
( Shear or Transverse S-Waves ) ، وحيث أن الطاقة الحركية المتحررة من حدوث الزلزال  
تتناسب تناسباً طردياً مع سعة العوجات الزلزالية المسجلة فهي بالتالي لها علاقة طردية مباشرة بمقدار  
الزلزال ، وعلى هذا الاساس فقد تم التوصل الى العلاقة التالية بين مقدار الزلزال ( M ) والطاقة  
المتحررة ( E ) : —

$$\log_{10}(E) = 1.5 M + 11.4 \quad \dots(1)$$

واحيانا تكتب هذه المعادلة بالشكل التالي : —

$$\log_{10}(E) = 1.7 M + 10 \quad \dots(2)$$

وتكون ( E ) المحسوبة من هذه المعادلتين مقدرة ( بالارك ) •

ان أكبر أو أقوى زلزال مسجل بلغ مقداره ( ٨.٩ ) درجة على مقياس ريختر ( ويقابل هذا طاقة  
متحررة قدرها ١٠<sup>٢٥</sup> أرك ) • لذا فقد تكون مقياس ريختر من ( ٩ ) درجات •• هذا وتجدر الإشارة



هذا الى أن قياس ريختر يستخدم للزلازل الموقعية (Local) أو القريبة (Regional) بشروط أن لا يكون مصدرها عن نقطة الرصد أبعد من ١٠٠ كم • من جهة أخرى وفي حالة رصد الزلازل الكبيرة والبعيدة المصدر (Teleseismic) يتم استخدام قياس آخر يسمى بقياس العوجات الجسمية (Body Wave Magnitude) والذي يستند على قياس سعة العوجات الزلزالية الانضغاطية أو الطولية (Compressional or Longitudinal P-Waves) • ومن الممكن ربط القياسين انفي الذكر بالمعادلة التقريبية التالية (Marshall, 1970) :

$$M = 2.08 m - 5.65$$

...(3)

ان سعة العوجات الزلزالية المسجلة تنهاين من محطة رصد الى محطة رصد أخرى ويعتمد ذلك على زاوية السم لل محطة (Azimuth) وعلى شكل انبعثات العوجات (Radiation Pattern) من المصدر • وبذلك تختلف القوة المسجلة للزلازل باختلاف جهة محطة الرصد من المسقط السطحي لبؤرة الزلزال أو البؤرة السطحية (Epicenter) ويعتمد معدل الرصودات لعدة محطات رصد على التوزيع الجغرافي لهذه المحطات والتي يمكن من خلالها تعيين موقع الزلزال (Location) حسابيا •

وهناك قياس ثاني لحجم الهزات الارضية يعرف بالعزم الزلزالي (Seismic Moment) ويؤخذ له ( $M_0$ ) وقد وضعه العالم الياباني اكي (Aki, 1966) (١٩٦٦) ويعتمد هذا القياس على ميكانيكية التكسرفي بؤرة الهزة • ويتم تقديره باحتساب معدل مساحة الازاحة أو الزحف الناتج على سطح التكسر (Average Area of Fault Slip) بالاعتماد على معامل القص (Shear Modulus) في الوسط المتكسر • ويلاحظ في الهزات الضحلة بأن هناك تطابق جيد بين (عزم الزلزال و مقدار الزلزال) أما بالنسبة للهزات العميقة فأ ن العلاقة بين القياسين كالاتي : —

$$\log_{10}(M_0) = M + 19.9$$

...(4)

ويقاس ( $M_0$ ) في هذه المعادلة بـ ( الداين • سنتيمتر ) •

اما مقدار الارتجاج والاهتزاز (Shaking) على سطح الارض فيقاس بواسطة قياس وصفي يعرف بقياس الشدة الناتجة عن الزلزال (Intensity Scale) • وهناك عدد من مقاييس الشدة اشتهر بها قياس ميركالي المعدل (Modified Mercalli Scale) المتكون من (١٢) درجة • ويؤخذ للشدة حسب هذا القياس (I) • هذا ويمكن تقدير شدة الزلزال حسب هذا القياس بسهولة من قبل أى راصد ذو خبرة حسب العومشوات الواردة في الجدول رقم (١) التالي : —

## جدول رقم ( ١ ) مقياس ميركالي المعدل

درجة الشدة	التأثيرات
١	لا يشعر بها الا عدد قليل جدا من الناس وتحت ظروف خاصة • تسجل بواسطة المزموغراف • لا توهترفي الابنية الضعيفة • لا توهترفي الابنية القوية •
٢	يشعر بها عدد قليل من الناس وفي حالة السكون • لا توهترفي الابنية الضعيفة • لا توهترفي الابنية القوية • تتأرجح الاجسام الرقيقة المسلقة كالصور •
٣	يشعر بها بصورة واضحة الاشخاص داخل البنايات • كما قد تتأرجح العربات السائكة • لا توهترفي الابنية الضعيفة • لا توهترفي الابنية القوية • بالامكان قياس الفترة الزمنية التي تستغرقها الهزة • تعادل مقدار هزة مقدارها ( ٨ ر ٣ ) درجة على مقياس ريختر •
٤	يشعر بها الجميع داخل البنايات ويستيقظ النائمون • لا توهترفي الابنية الضعيفة • لا توهترفي الابنية القوية • تتأرجح العربات ويسمع صرير الشبابيك والابواب • تعادل مقدار هزة مقدارها ( ٣ ر ٤ ) درجة على مقياس ريختر •
٥	يشعر بها الجميع • تسقط بعض طلاءات الجدران • لا توهترفي الابنية القوية • تتسدر الاواني وزجاج النوافذ وتتوقف الساعات اليدوية عن العمل •

درجۃ الشدة	التأثيرات
٦	<ul style="list-style-type: none"> <li>يشعر بها الجميع ويكون الكثير منهم في حالة هلع وخوف</li> <li>تهدم المداخل وتسقط طلائع الجدران</li> <li>لا تؤثر في الأبنية القوية</li> <li>تتحرك الاثاث من اماكنها وتقلب بعض الحاجيات</li> <li>تعادل هزة أرضية مقدار ( ٣ و ٥ ) درجة مقياس ريختر</li> </ul>
٧	<ul style="list-style-type: none"> <li>يهرب الجميع خارج البنايات ويشعر بها الناس داخل العربات المتحركة</li> <li>تحصل تدميرات متوسطة للمباني الضعيفة</li> <li>لا تتأثر الأبنية القوية</li> <li>يمكن ملاحظة ارتفاع العوج في البرك والبحيرات وتحصل انهيارات على ضفاف الانهار</li> <li>ذات الانحدار الشديد</li> <li>تعادل هزة أرضية بمقدار ( ٨ و ٥ ) درجة على مقياس ريختر</li> </ul>
٨	<ul style="list-style-type: none"> <li>يعم الرعب</li> <li>تحصل تدميرات كبيرة وتخریب عام للأبنية الضعيفة</li> <li>تحصل تخريبات متوسطة في الأبنية القوية</li> <li>تسقط النصب التذكارية وتهدم الجدران وتقلب الاثاث وتحصل تغييرات في مستويات مياه الابار</li> <li>تعادل هزة أرضية بمقدار ( ٣ و ٦ ) درجة على مقياس ريختر</li> </ul>
٩	<ul style="list-style-type: none"> <li>يعم الرعب والهلع</li> <li>تدمر شامل للأبنية الضعيفة</li> <li>تتحطم بعض التأسيسات وتتصدع الانابيب الموجودة تحت سطح الارض</li> <li>تتشقق الارض</li> <li>تعادل هزة أرضية بمقدار ( ٨ و ٦ ) درجة على مقياس ريختر</li> </ul>



التأثيرات	درجة الشدة
<p>يعم الرعب والهلع •</p> <p>تدمير شامل للأبنية الضعيفة •</p> <p>انهيار الأبنية المبنية من الطابوق ، بينما تصمد الباني ذات الهياكل القوية وتتدمر التأسيسات بصورة كاملة •</p> <p>تشقق الأرض بكثرة وتحني قضبان السكك الحديد كما تطفح مياه الأنهار على الضفاف وتحصل انهيارات أرضية كبيرة (Land Slides) •</p> <p>تعادل هزة أرضية بقدار ( ٣ ر ٧ ) درجة على مقياس ريختر •</p>	١٠
<p>يعم الرعب والهلع •</p> <p>تدمير شامل وتام للأبنية الضعيفة ولا يصمد إلا عدد قليل جدا من الأبنية القوية •</p> <p>تحصل تشققات أرضية واسعة وتظهر انحدارات الفوالق وتصبح خطوط الانهيار تحت الأرض عديمة الفائدة •</p> <p>تعادل هزة أرضية بقدار ( ٨ ر ٧ ) درجة على مقياس ريختر •</p>	١١
<p>يعم الرعب والهلع •</p> <p>تدمير شامل وتام لجميع أنواع الأبنية •</p> <p>يتغلب تعجيل الاهتزازات الأرضية على التعجيل الأرضي ( أي يتجاوز ٩٨٠ سم / ثا<sup>٢</sup> ) بحيث تنقذف الأجسام في الهواء •</p>	١٢

وكثيرا ما تدعو الحاجة الى تخمين تعجيل الحركات الأرضية الزلزالية استنادا على تقارير شدة الهزات حسب مقياس ميركالي ، حيث يستعمل التعجيل المذكور لأغراض التصميم • وقد توصف غوتنبرغ وريختر ( ١٩٤٥ ) ( Gutenberg and Richter, 1945 ) الى العلاقة التجريبية (Empirical) التالية المبنية على المشاهدة والملاحظة :

$$\log_{10}(a) = \frac{I}{3} - \frac{1}{2} \quad \dots(5)$$

حيث أن (a) تمثل التعجيل الأرضي المقاس بالغال (gal) الذي يساوي ١ سم / ثا<sup>٢</sup> •

والملاحظ بأنه كلما كانت البويرة أقل عمقا كلما كانت الشدة على سطح الأرض أكثر وبالتالي كان التعجيل الاهتزازي أكبر • راجع شكل رقم ( ١ ) •

هذا وسوف نتطرق الى دراسة المعادلات الاخرى المتوفرة حاليا لتخمين التأثيرات الحركية للهزات الأرضية لاحقا •

من جهة اخرى وضع مقياسا وصفيا اخر في اليابان للشدة ، حيث يتكون المقياس الياباني من ( ٧ ) درجات اضافة الى درجة ( الصفر ) وحسب الجدول رقم ( ٢ ) التالي :

جدول رقم (٢) مقياس الشدة الياباني

درجة الشدة	التأثيرات
١	ضعيفة للغاية كما يكون الاحساس بها ضعيف للغاية ويشعر بها الاشخاص في وضع الاسترخاء •
٢	ضعيفة للغاية ويكون الاحساس بها ضعيفا غير انها تكون محسوسة من معظم الناس • وتهتز الابواب والشبابيك قليلا •
٣	قوية نوعا ما وتهتز المنازل والأبنية • ويسمع صرير الابواب والشبابيك • وتتأرجح الاجسام المعلقة كالمصابيح الكهربائية • كما تتحرك السوائل في اوانيها •
٤	قوية وتهتز المنازل والأبنية بشدة وتقلب الاجسام ذات الاستقرار القلقة كما تنسكب السوائل من اوانيها •
٥	شديدة جدا وتتسحق الجدران وتقلب النصب كما تتضرر المداخل والمخارج الضعيفة ويتساقط طلاء الأبنية •
٦	تسبب كارثة وتهدم المنازل ( ٣٠ % منها ) وتحصل انزلاقات أرضية وتتسحق الارض والطرق •
٧	تسبب كارثة شديدة ، حيث تهدم المنازل ( بمسبة تزيد على ٣٠ % ) وتحصل انهيارات وانزلاقات أرضية شديدة كما تحصل تشققات كبيرة فيها •

وقد بين البروفسور الياباني كاواسومي ( ١٩٤٣ ) ( Kawasumi, 1943 ) بأن تعجيل حركة الأرض في حالة الهزات الأرضية في درجات الشدة العديدة في المقياس الياباني يمكن أن تخمين بعرجب العلاقات التالية العديدة على المشاهدة والملاحظة :

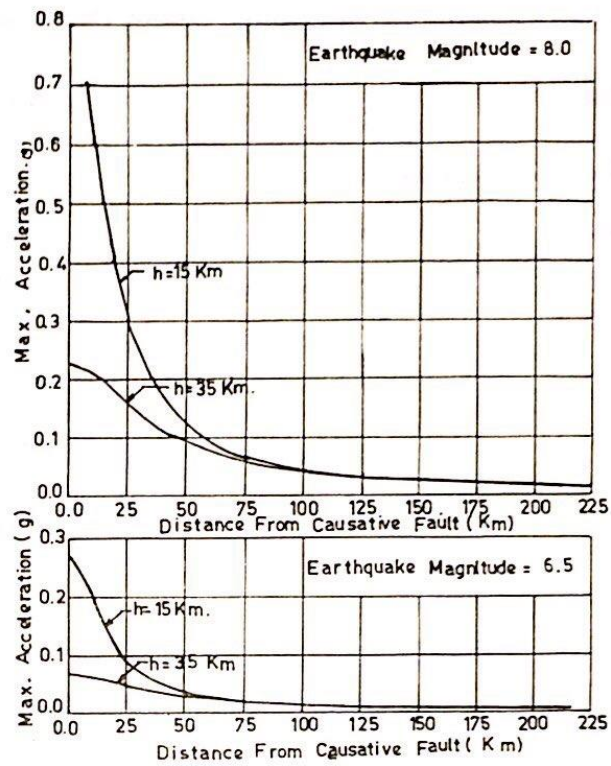


FIGURE 2. MAXIMUM ACCELERATION VS FOCAL DISTANCE

شكل (1) - تغيير التجهيل الأقصى للحركة الأرضية مع البعد عن الفالق

(From Lomnitz, 1974)



$$a_0 < 0.8 \text{ gal} \quad \dots(5A)$$

$$a_n = 0.8 (10^{n-\frac{1}{2}} - 10^{n/2}) \text{ gal} \quad \dots(5B)$$

$$1 \leq n \leq 7$$

$$a_7 = 250 \text{ gal} \quad \dots(5C)$$

حيث أن  $(a_n)$  هو التعجيل المقابل لدرجة الشدة  $(n)$

لقد أوجد الباحثون عددا من العلاقات الحسابية بين مقدار الزلزال  $(M)$  وشدته  $(I)$  والبعد البؤري (Focal distance) والذي يرمز له  $(R)$  تقاسا بالكيلومترات • وفيما يلي معادلة (استيفاً وروزنبلوت ١٩٦٤) (Esteva and Rosenblueth, 1964) :

$$I = 8.16 + 1.45 M - 2.46 \log_{10} (R) \quad \dots(5D)$$

وتعطي هذه المعادلة نتائج جيدة في كل من أمريكا الشمالية والمكسيك • أما في الزلازل التي يقل فيها البعد البؤري عن  $(١٠٠)$  كيلو متر فعدده يتخذ الحق البؤري (Focal depth) والذي يرمز له بـ  $(h)$  أهمية خاصة • وبموجب معادلة (أرغن ١٩٦٩) (Ergin, 1969) التالية فإن :

$$I_0 - I = n \log_{10} \frac{(R)}{(h)} \quad \dots(6)$$

حيث أن  $(I_0)$  هي الشدة في المسقط السطحي و  $(n)$  قد يكون العدد  $(٣)$  أو العدد  $(٥)$  • وقد يلاحظ أحيانا في نفس الهزة أن  $(n)$  تساوى  $(٣)$  في اتجاه معين ، بينما تساوى  $(٥)$  في الاتجاه الآخر •

كما أوجد الباحث اليوغسلافي توشج (١٩٨٠) (Tosic, 1980) عددا من العلاقات الحسابية بين  $(M)$  و  $(I_0)$  لبعض المناطق ذات الأهمية الخاصة في العراق ، وذلك من تحليل المعلومات والارصاد المتوفرة •

ففي منطقة أسكي موصل حصل على المعادلة التالية :

$$M = 0.55 I_0 + 1.63 \quad \dots(7)$$

بينما في منطقة بخمة حصل على ما يلي :

$$M = 0.59 I_0 + 1.18 \quad \dots(8)$$

وبالنظر لقلة المعلومات المتوفرة فلم يتمكن الباحث المذكور من الحصول على معادلة  $(M)$  كدالة لكل من  $(I_0)$  و  $(h)$  أي  $M = F(I_0, h)$  • غير أنه وبصورة عامة يمكن القول بأن الهزات في المنطقة المحصورة بين جبال زاكروس ولسهر دجلة تكون ضحلة ولا يتجاوز عمقها بين ١٥ - ٣٥ كم

وقد قام الباحث نفسه بتحليل المعلومات والارصاد المتوفرة لمنطقة القفاس فحصل على :

$$M - \frac{2}{3} I_0 = 1.65 \log_{10}(h) - 1.42 \quad \dots(9A)$$

وعليه فلو اعتمدنا هذه المعادلة مع أخذ  $(h) = 10$  كيلو متر فأنت النتيجة التي تعطيها هذه المعادلة تكون مقاربة للنتائج من المعادلتين (7) و (8) ويحدود دقة قدرها ( ١٠ %) عندما تكون الشدة بحدود ( ٥ ) ويحدود دقة قدرها ( ٣ % ) عندما تكون الشدة ( ٩ ) من جهة أخرى توصّل الباحثان بوتون وفارباسو (Puttonen and Varpasuo, 1982) في دراسة المخاطر الزلزالية لشمال العراق على المعادلة التالية التي تربط بين مقدار الزلزال وبعد البؤرة السطحية (Epicentral Distance) وهي المسافة بالكيلومترات بين المسقط السطحي لبؤرة الزلزال ونقطة الرصد اعتماداً على المعادلات التي توصل اليها جاندرا (Chandra, 1969) لزلزال حدثت في ايران :

$$I = 8.44 + 0.95 M - 2.14 \ln(R + 20) \quad \dots(9B)$$

حيث أن

$$M = 1.05 I_0 - 2.09 \quad \dots(9C)$$

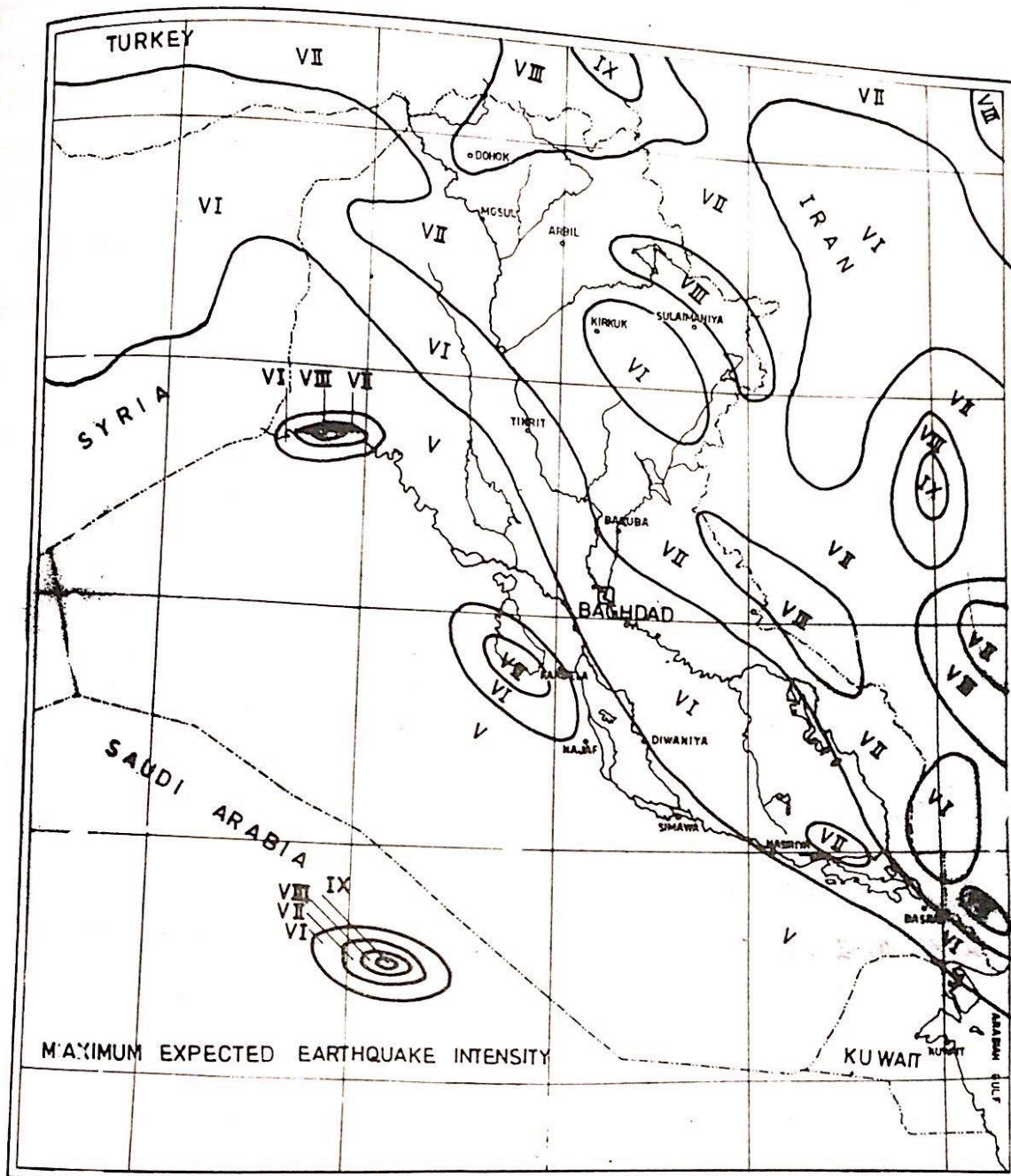
باستعمال العلاقات اعلاه توصل فهمي ( ١٩٨٤ ) ( Fahmi, 1984 ) الى ارتسام خارطة أولية تبين توزيع الشدة الزلزالية المتوقعة (Maximum Expected Intensity) في العراق ( انظر الشكل رقم ٢ ) .

#### ١٠٤ كيفية تحديد بؤرة الزلزال (Epicentral Location)

كما سبق ونوهنا فأنت بؤرة الزلزال هي تلك المنطقة من قشرة الارض التي حصل فيها التحوير السريع للطاقة المخزونة . أي هي تلك المنطقة التي حصل فيها الانفلاق والتشقّق . وعليه فان الموجات الزلزالية تكون منبثقة على طول الفالق . ولغرض تبسيط العملية فأنت منطقة تحرر الطاقة تعتبر نقطة واحدة وتسمى هذه النقطة بمركز الزلزال أو البؤرة (Hypocenter) .

ولغرض تحديد موقع زلزال معين فيجب أن يتم تسجيله في ثلاث محطات زلزالية على الأقل . ثم يتم تحديد أنواع الموجات الزلزالية على السجل الزلزالي ( السيزموغرام ) . وتتم الاستفادة من ظاهرة الاختلاف في سرعة الانواع المختلفة من الموجات الزلزالية ، حيث يؤخذ الفرق في زمن وصول كل نوع من أنواع الموجات ( وسوف يتم شرح انواع الموجات لاحقاً ) . ويمكن تحويل الفرق في زمن وصول الموجات الى مسافات باستعمال معادلات خاصة أو باستعمال جداول ومنحنيات معدة لهذا الغرض . ان المسافة التي يتم الحصول عليها هي المسافة المطلقة وتعني بذلك المسافة بين المحطة والبؤرة وبدون تحديد الاتجاه . أي أن المحطة الواحدة يمكن أن تحدد بعد البؤرة عنها غير أنها لا تستطيع تحديد اتجاهها .





شكل ( ٢ ) خارطة التوزيع المحسوب لشدة الهزات الأرضية في العراق •

(From Fahmi, 1984)



البويرة منها • ولتحديد البويرة بصورة دقيقة تستعمل خرائط معينة يثبت عليها مواقع محطات الرصد • ويتم رسم ( حول محطة الرصد التي سجلت الزلزال ) دائرة نصف قطرها المسافة المطلقة التي تم الحصول عليها من السجل الزلزالي • وتتم هذه العملية في بقية المحطات التي استطاعت تسجيل الزلزال نفسه • ان الدوائر المرسومة على هذه الخرائط سوف تتقاطع في منطقة ما • وتكون هذه المنطقة المكان الذي حصل فيه الزلزال أي البويرة السطحية •

(Seismic Waves)

١٠٥ الموجات الزلزالية

يمكن تشبيه القشرة بجسم مرن (Elastic) ، وبذلك تخضع الموجات المنقلة خلاله لقوانين المرونة ومنها قانون هوك •

$$E = \frac{\sigma}{\epsilon}$$

(10)...

حيث أن (E) هو التشوه الناتج عن الجهد (σ) • كما أن (G) هو معامل ثابت للمرونة المادة • ويكون له قيمة مختلفة اذا ما كان التشوه ناجم عن انضغاط المادة أو ناجم عن القص (Shear) • وعند حصول زلزال في موقع ما من القشرة الارضية فإن هناك نوعين رئيسيين من الموجات الزلزالية التي تنجم عنه :

أولاً : الموجات الباطنية أو الجسمية (Body waves) : وتنتشر خلال باطن الارض وتكون على نوعين :

أ - الموجات الطولية : (Longitudinal Waves)

ويكون اتجاهذبذبتها باتجاه مواز ل مسار الموجة • وهي الموجات الناتجة عن الانضغاط (Compression mode) وتسمى أيضا بالموجات الأولية (Primary Waves) ويرمز لها بـ (P-waves) • وتسير هذه الموجات خلال المواد الصلبة والسائلة على حد سواء •

ب - الموجات المستعرضة : (Transverse Waves)

ويكون اتجاهذبذبتها باتجاه عمودي لمسارها • وهي الموجات الناتجة عن جهد مماس (Tangential stress) أي ناجمة عن فعل القص (Shear mode) وتسمى أيضا بالموجات الثانوية (Secondary waves) ويرمز لها بـ (S-waves) وتكون أقل سرعة من الموجات الطولية وتنقل في المواد الصلبة فقط •

ثانياً : الموجات السطحية (Surface waves) : وهي الموجات المنقلة على سطح

الارض أو قريبا منها وهي التي تسبب معظم التخريبات عند حصول الزلزال اعتمادا على مدى تطابق التردد العوجي بالترددات الاساسية للابنية والمنشآت •

وتنقسم أيضا الى شكلين من الأمواج :

(Rayleigh Waves)

أ - موجات ريلي

وهي العوجات الطولية السطحية والتي تحاول تشويه السطح بالانضغاط .

(Love Waves)

ب - موجات لوف

وهي العوجات المستعرضة السطحية والتي تسبب تشوهات القص على السطح . وتعتمد سرعة العوجة السطحية على تردد ها كما تعتمد على طبيعة التركيب الجيولوجي القريب من سطح الارض والطبقات الجيولوجية التي تسيطر خلالها .

(Aftershocks)

١٠٦ الهزات الثانوية

يمكن معرفة الهزة الارضية من بعض أو كل من الأمور الثلاثة التالية :-

الأول عند حصول تشقق في القشرة الارضية ، والثاني عند حصول تحرر سريع وعشوائي للطاقة المخزونة في باطن الارض نحو سطحها . أما الأمر الثالث فمن خلال انبعاث العوجات الزلزالية التي تنتشر خلال باطن الارض وعلى سطحها . وتتخصص الميكانيكية التي تحصل فيها الهزة بما يلي :-

أ - ازدياد حدة الاجهاد في منطقة محددة من القشرة وتركزها حول فالق معين وقد تصل حدة الاجهاد في منطقة البؤرة حدا عاليا قد يبلغ ( ١٠٠ ) بار .

ب - حصول تشقق على طول الفالق ووقوع الهزة الارضية الرئيسية ، حيث تتحرر بعض من الطاقة المخزونة ، وبذلك تنقص الطاقة المخزونة في مجال الاجهاد بمقدار يساوي الطاقة المبعثة كعوجات زلزالية وطاقة حرارية .

ج - ولكي يستعيد الوسط استقراره فإن ذلك يتم بتحرير الاجهادات المتبقية على شكل هزات ثانوية (Aftershocks) تعقب الهزة الرئيسية .

ولغرض توضيح النقطة الاخيرة لابد من أن نذكر بأن الطاقة المتحررة تتناسب مع مربع الاجهاد فعند انخفاض الاجهاد في البؤرة بمقدار ( ٥٠ % ) فإن هذا يعني بأن الطاقة المتحررة تساوي ( ٢٥ % ) وهذا يعني نقصان في الطاقة في القشرة الارضية في موقع الفالق عن مستوى التوازن مما يؤدي الى سريان الطاقة نحو المناطق التي استنفذت فيها لاسترجاع حالة التوازن . وبأخذ هذا السريان أوجه عديدة كالطاقة الحرارية أو طاقة كامنة . وتكون حالة الاجهاد والتشوه في بؤرة الهزة أبعد ما تكون عن حالة الاستقرار والتوازن مما يؤدي الى ازدياد الاجهاد التدريجي ووصوله مرة اخرى



الى المستوى الحرج وإطلاق عدد من الهزات الصغيرة المتتالية الثانوية (Aftershocks) • وعليه يلاحظ عند حصول هزات أرضية كبيرة في منطقة ما وقوع عدد من الهزات المتتالية التي تعقب الهزة الرئيسية وتكون أقل منها مقدارا •

(Explosions and Earthquakes)

١٠٧ الهزات الأرضية والتفجيرات

يمكن لأي انفجار في باطن الأرض أو على سطحها أن يعتبر مصدر بسيط للهزات الأرضية • وبالمقارنة مع أي هزة أرضية فإن هذا المصدر يعتبر مصدر نقطي (Point Source) وتكون جبهة الموجة البدائية المنبعثة عن الانفجار كروية وناتجة عن الانضغاط فقط (Compression mode) • عند وقوع الانفجار في باطن الأرض ستكون الموجات الزلزالية الملتقطة في محطات الرصد بشكل رئيسي باطنية وبسيطة وطولية (P-waves) وتقدر الطاقة المتحررة من الانفجار أو ما يعرف بحصيلة الانفجار (Yield) بما يكافئها عادة من مادة (تي • أن • تي) ، حيث أن حصيلة الطن الواحد من هذه المادة تساوي (٤ × ١٠<sup>٦</sup>) أرك • وعلى هذا الأساس فإن انفجار نووي بقوة (٢٠) كيلو طن ( وهذا يساوي قوة قنبلة هيروشيما ) يكون ذو حصيلة قدرها ( ٨ × ١٠ ) أرك •

لذا نرى أنه بالامكان ومن خلال دراسة الموجات المسجلة للهزة الأرضية ( وبالذات الموجات الطولية ) معرفة ما إذا كان السجل الزلزالي ناتج عن أسباب طبيعية أو عن تفجير نووي تحسنت الأرض • وتستعمل طرق التمييز بين الزلزال والتفجير للتحقق من وقوع هذه التفجيرات • كما يمكن تقدير مقدار الانفجار من خلال معرفة حصيلة الانفجار محسوبة بالكيلو طن بشرط معرفة طبيعة الصخور في منطقة التفجير وفي الوسط الذي انتقلت فيه الموجات •

وقد أمكن التوصل الى المعادلة التالية لهذا الغرض : —

$$m = 0.67 \log_{10}(Y) + K + 0.3 \quad \dots(11)$$

حيث أن (Y) هي حصيلة الانفجار بالكيلوطن وان قيمة (K) تساوي (٤٢٥) إذا ما كانت الصخور من الغرانيت ، بينما تساوي ( ٣٢٥ ) للرسوبيات الجافة (Dry Alluvium) •

• ( ٥٤ )  
• مما تقدم يمكن القول بأن قنبلة نووية بقوة قنبلة هيروشيما تعطي مقدار هزة (m) قدرها

١٠٨ الطرق الإحصائية المستعملة في دراسة الهزات الأرضية (Statistical Seismology)

قبل العديد من السنين كان الظن غالباً بأن الهزات الأرضية ما هي إلا ردود فعل في القشرة الأرضية ناجمة عن اجهادات ذات تكرار منتظم • وكانت هناك العديد من الفرضيات حول هذا التكرار





فلو أرتسمنا عدد الهزات الأرضية  $N(M)$  لكل سنة ضمن عينة زمنية محددة (تحتوى على عدد معين من البيانات الزلزالية) لرقعة أقليمية ذات مساحة معينة على ورق نصف لوغاريتمي (Semi-log) لوجدنا بأن العلاقة تمثل خط مستقيم ذو ميل (b) وقطع موجب (a) وهنا تمثل (a) مستوى الفعالية الزلزالية ، بينما تمثل (b) سرعة انخفاض أو هبوط الفعالية الزلزالية للمنطقة المدروسة عبر العينة الزمنية التي تم تحليلها ( انظر الشكل رقم ٣ ) .

ولا بد لنا هنا أن نوضح حقيقة أساسية فيما يتعلق بعلاقة مقدار الزلزال بتكرار حدوثه وهي أن هناك عدم تكامل في البيانات الزلزالية في النهايات العظمى ( $M_{max}$ ) والصغرى ( $M_{min}$ ) للعلاقة ، لذلك يجب قطع التوزيع الاحصائي عند تلك النهايات . أما سبب النقص في البيانات في النهاية العظمى فمصدره طبيعي يتعلق بقلّة حدوث الهزات الأرضية الكبيرة ذات الطاقة الهائلة . من جهة أخرى فأن وجود حد أدنى لمقدار الزلازل سببه محدودية قابلية أجهزة الرصد الزلزالي على تسجيل الهزات الأرضية الصغيرة والتي تقع تحت حد معين من المقدار ( Threshold Magnitude ) .

بالرجوع للعلاقة رقم (١٢) ومن الناحية الاحصائية التجميعية أو التراكمية يمكن تقدير أكبر قيمة متوقعة لمقدار الزلزال في العينة الزمنية والتي تساوى :

$$a/b = M_{max}$$

بالرجوع الى شكل رقم (٣) نرى أن القطع الموجب (a) يساوى  $\log_{10} N(0)$  أى أن  $\log_{10} N(0)$  يمثل عدد الهزات كافة التي تزيد على ( صفر ) ومعنى آخر فأن (a) تمثل لوغاريتم مجموع الهزات الأرضية المتوقعة الحصول في فترة زمنية . ويمكن كتابة المعادلة (١٢) كالآتي :

$$\log_{10} N(M) = \log_{10} N(0) - bM \quad M \geq 0$$

أى :

$$bM = \log_{10} [1 - F(M)]$$

حيث يمثل  $F(M)$  توزيع التكرارات التراكمي (Probability Cumulative Distribution) وبإبدال اللوغاريتمات الاعتيادية الى اللوغاريتمات الطبيعية وتحويل الأساس من (١٠) الى (e) نحصل على :

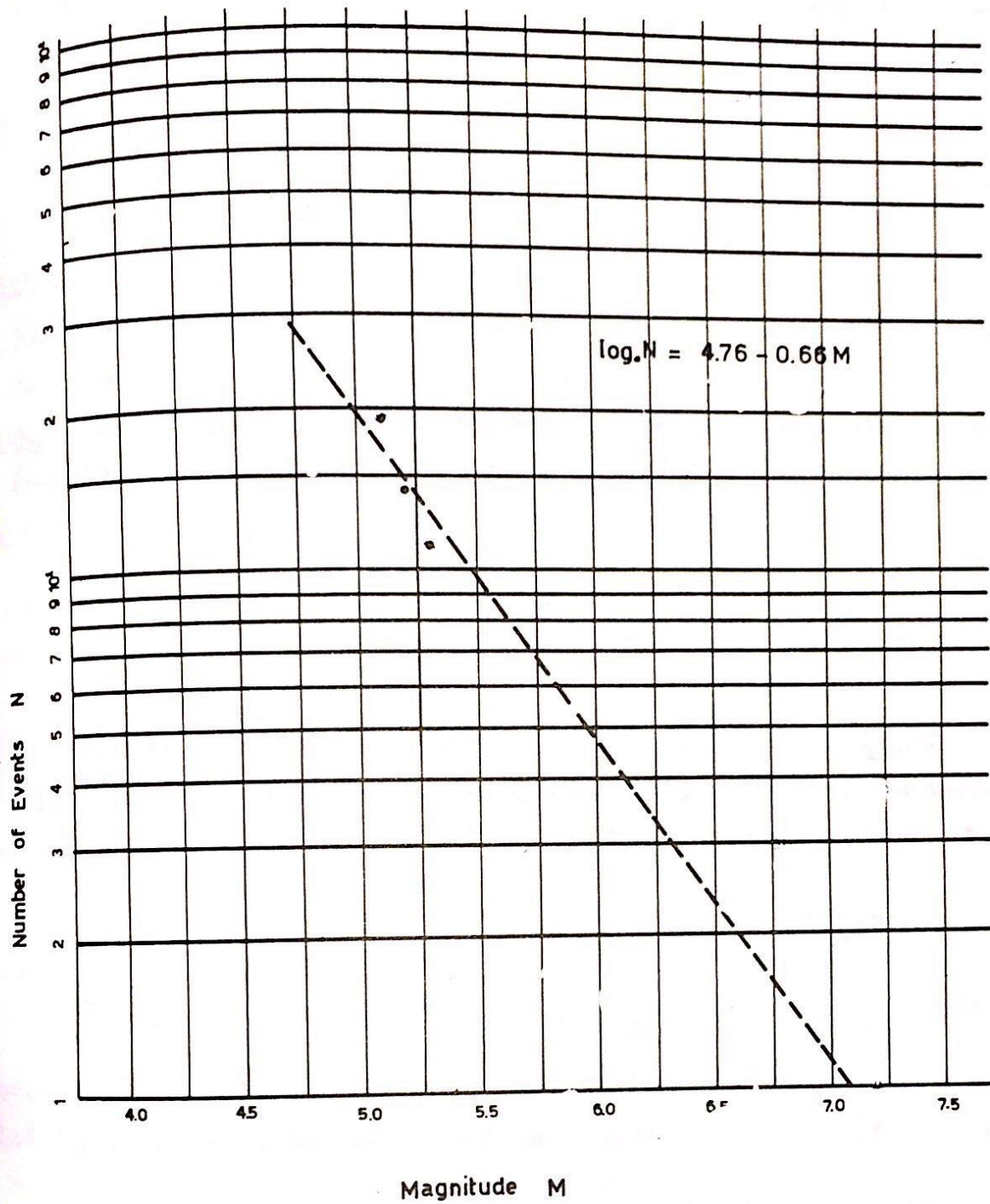
$$-bM = \log_{10} 1 - F(M)$$

$$1 - F(M) = e^{-bM} \quad M \geq 0 \quad \dots (13) \quad \text{أى}$$

حيث أن

$$B = \frac{b}{\log_{10} e}$$





شكل ( ٣ ) علاقة التكرار - المقدار للزلازل الأرضية ♦



أما توزيع التكرار نفسه (Frequency distribution) فيمكن الحصول عليه بإيجاد مشتقة المعادلة (١٣) بواسطة التفاضل ، حيث نحصل على :

$$f(M) = B e^{-BM} \quad M \geq 0 \quad \dots(14)$$

تعتبر المعادلة (١٤) إلى أنه إذا كانت ظواهر الهزات الأرضية تخضع إلى نموذج بواسون على أساس :

- ١. توفر الاستقلالية بين حدوث الهزات الأرضية
  - ٢. أن الهزات المستقبلية تستند على الفعالية الزلزالية العاضية
- والتي يمكن أن تعطى بهذا لة توزيع بواسون :

$$P_n(M) = (\lambda M)^n e^{-(\lambda M)} / n! \quad n = 0, 1, 2, \dots$$

فإن توزيع الفترات الزمنية بين حدوث أى زلزالين متتابعين هو التوزيع الأسّي (Exponential Distribution) ، وذلك يمكن استخراج متوسط المقدار ( $\bar{M}$ ) حسب هذا التوزيع :

$$\bar{M} = \frac{1}{B}$$

وفي حالة احوال الهزات التي تقل من حد معين أى عندما يكون  $M \geq M_{min}$

فإن معدل مقدار الهزة يكون :

$$\bar{M} = M_{min} - \frac{1}{B}$$

كما أن الانحراف المعياري (Standard deviation) كالآتي :

$$\sigma = \frac{1}{\sqrt{B}}$$

بالرجوع إلى المعادلة (١٣) فمن الواضح بأنها تعطينا عدد الهزات كافة التي تزيد في مقدارها عن ( صفر ) ، وفي حالة رغبنا في الحصول على عدد الهزات التي تزيد في مقدارها عن حد معين ( $M_{min}$ ) فعندئذ :

$$\frac{N(M_{min})}{N(0)} = \frac{1 - f(M_{min})}{1 - f(0)}$$

وحيث أن  $f(0)$  يساوى ( صفر ) في نقطة الاصل و  $N(0)$  تساوى عدد الهزات الأرضية التي يزيد مقدارها على صفر أى  $(10)^8$  فعندئذ :

$$N(M_{\min}) = N(0) [1 - f(M_{\min})]$$

$$N(M_{\min}) = 10^a [e^{-BM_{\min}}]$$

$$M \geq M_{\min}$$

أى :

مثال : من دراسة السجل الزلزالي لأحدى المناطق فقد تم التوصل الى ما يلي :

$$B = 2.5$$

$$a = 5.3$$

سنويا

والمطلوب احتساب متوسط مقدار الهزة لهذا السجل للهزات التي تزيد في مقدارها عن ( 4.5 ) ، وكذلك إيجاد متوسط العدد السنوى المتوقع الحصول من هذه الهزات •

الحل :

متوسط مقدار الهزة ( $\bar{M}$ ) عندما يكون  $M \geq 4.5$

$$\bar{M} = 4.5 + \frac{1}{2.5} = 4.9 \quad \text{هو :}$$

أما المتوسط السنوى لعدد الهزات فيكون :

$$N(4.5) = 10^{5.3} [e^{-2.5(4.5)}] = 2.4$$

لذلك يمكننا أن نعرف بأن عدد الهزات سنويا سيكون اثنتان كحد أدنى •

(The Klondyke Model)

نموذج كولندايك ١٠٨٠٢

كما سبق وأوضحنا فإن أية هزة أرضية تعرف بأحداثيات موقعها الجغرافي ، أى خطوط الطول والعرض للمنطقة ( $\lambda^0, \phi^0$ ) ، وكذلك زمن وقوعها ( $t$ ) ومقدارها ( $M$ ) علما بأن هناك ارتباط مباشر بين مقدار الهزة ( $M$ ) ( أى الطاقة المتحررة في الزلزال ) وبين الوضع التكتوني للموقع الجغرافي ، لذا فإن من الممكن اعتبار التوزيع التكرارى لمقدار الهزات  $f(M)$  دالة للاحداثيات ، وكذلك الحال بالنسبة لمعدل مقدار الهزات • وعليه يمكن اعتبار الدالة  $f(M)$  دالة حيزية (Space Series) • أما تتابع الهزات الثانوية (Aftershocks) الواحدة تلو الأخرى بعد الهزة الرئيسية (Main shock) فهو يخضع لتتالية زمنية (Time Series) معروفة بدالة زمنية  $f(t)$  ، حيث يخضع هذا التتابع الى عشوائية هذه الهزات من الناحية الاحصائية ، وبذلك يكون مقدار الهزة الثانوية مستقل عن زمن وقوعها •

لقد اعتمد نموذج كلودايك على هذا الأساس ، وذلك لدراسة الهزات الرئيسية والثانوية وعلى افتراض أن التوزيع التكراري المشترك لهذه الهزات يتكون من دالتين مستقلتين من بعضهما ~~ألا~~ إلا أن أحدهما تحد من الأخرى كما يجب أن تقع أحدهما ضمن الأخرى .  
فلو اعتبرنا  $f(M, t)$  هو التوزيع التكراري المشترك بالنسبة للقدار والزمن فمعدل يمكن كتابته بالشكل التالي :

$$f(M, t) = f_1(M) \cdot f_2(t) \quad \dots(15)$$

ويمكن تقريب المتوالية الحيزية  $f_1(M)$  بنموذج بواسون (معادلة رقم ١٣) ، حيث أن :

$$f(M) = 1 - e^{-BM}$$

$$\bar{M} = 1/B$$

و

لقد جاء افتراض نموذج كلودايك هذا من تحليل هزة مايمو التي ضربت شيلي في (٤) أيلول سنة ١٩٥٨ وقد كان هناك ثلاث هزات رئيسية بقدار (٦.٩) درجة ، (٦.٧) درجة ، (٦.٨) درجة على التوالي ، ثم أعقب ذلك سلسلة من الهزات الثانوية عدد (٤٨) هزة وقد لوحظ بأن مقدار الهزات الثانوية هذه كانت متقاربة جدا ، (حيث كان أكبرها ٥.٢٦ درجة وأصغرهما ٣.٢ درجة) وقد تطابعت للفترة من (٤) أيلول ١٩٥٨ ولغاية (٢٦) تشرين ثاني ١٩٥٨ وقد بقي معدل الهزات ثابتا تقريبا .

أما بالنسبة للمتوالية الزمنية  $f_2(t)$  فقد وجد أوتسو (١٩٦١) (Utsu, 1961) بأنها تخضع للمعادلة التالية :

$$f_2(t) = C_1 t^{-h} \quad \dots(16)$$

حيث أن  $f_2(t)$  تمثل تكرار الهزات الثانوية وأن  $(C_1)$  و  $(h)$  هما ثابتان . أما  $(t)$  فيمثل الفترة الزمنية محسوبة منذ وقوع الهزة الرئيسية .

هذا ويمثل الثابت  $(h)$  معدل تضائل واضمحلال تكرار الهزات الثانوية ويمكن من دراسة هذا الثابت التوصل إلى استنتاج الحالة الفيزيائية وحالة الجهد في منطقة الهزات الثانوية . ويسوى أوتسو بأن المعادلة تعطي نتائج جيدة ولغاية (١٠٠) يوم بعد وقوع الهزة الرئيسية . أما عند تجاوز المدة ذلك فإنه يقترح المعادلة التالية :

$$f_2(t) = C_1 e^{-Pt} \quad \dots(17)$$

حيث أن  $(C_1)$  و  $(P)$  هما ثابتان



## ١٠٨٠٢ الفعالية الزلزالية للعراق وعلاقة المقدار - التكرار

(Seismic Activity in Iraq and the Magnitude-Frequency Relationship)

يقع العراق من الناحية التكتونية على الحدود الشمالية الشرقية للصفحة التكتونية العربية (Arabian Plate) وتتميز هذه الحدود بخط شبه مستمر من البومر الزلزالية على امتداد سلسلة جبال طويس-زاغروس (Taurus-Zagros) مشكلا بذلك حزاما ضخما يتألف الحدود الشرقية والشمالية الشرقية للعراق. • يعتبر هذا الحزام جزءا أساسيا ومكملا للحزام الزلزالي الأكبر الذي يمتد من سلسلة جبال الالب في أوروبا مورا بمنظومة جبال طويس-زاغروس وصولا إلى جبال الهيمالايا في الهند والصين •

تشير الدراسات السابقة التي أجريت خلال العشرة أعوام الماضية حول الزلزالية التاريخية (السوى وغالب ١٩٧٥) (Al-Sinawi & Ghalib, 1975 a) والزلزالية الحديثة (السوى وغالب ١٩٧٥) (Al-Sinawi & Ghalib, 1975 b) للعراق بأن فعالية وتعدد حدوث الهزات الأرضية تلازم بل وتناظر التوزيع التركيبي والتكتوني للقطر •

يوضح الشكل رقم (٤) هذه الحقيقة والذي يمثل خارطة أولية لعواقب البومر الزلزالية ضمن الرقعة الجغرافية للعراق (خطي طول  $38^{\circ}$ - $49^{\circ}$  N ; خطي عرض  $28^{\circ}$ - $38^{\circ}$  N) مستهضة من المعلومات الزلزالية والتكتونية المحدثة والمتوفرة لدى وحدة الرصد الزلزالي بمجلس البحث العلمي العراقي (فهري ١٩٨٢ ; Fahmi, 1982) خلال الفترة من ١٩٥٥ - ١٩٨٠ • ومن الجدير بالذكر ان المعلومات الزلزالية المسقطة على الخارطة اشفة الذكره تعكس العتبة الزلزالية (العائدة لوحدة الرصد الزلزالي) والتي تمثل سجل يحتوى على أكثر من ٥٧٠ زلزلا منذ عام ١٩٥٥ •

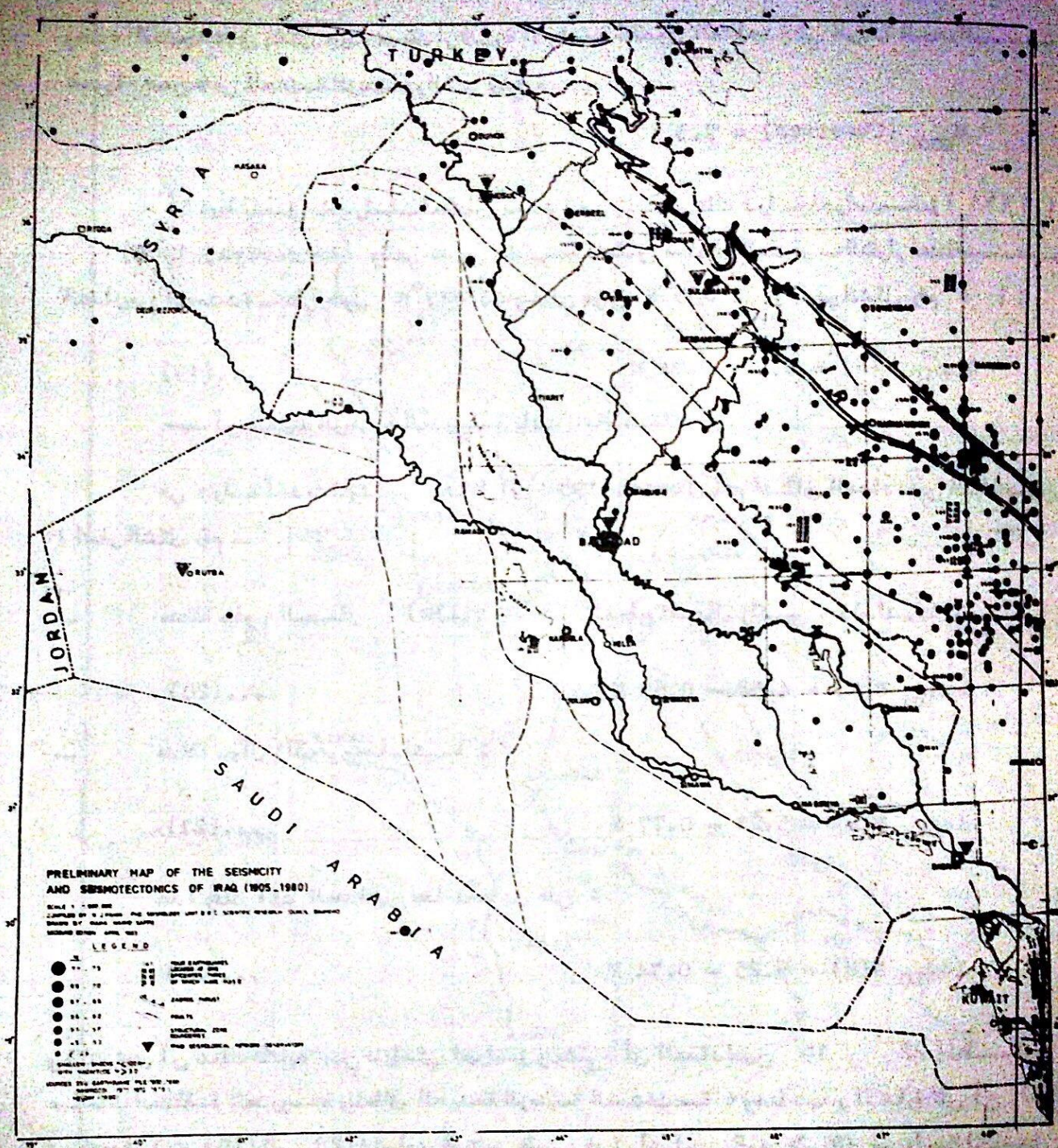
باستخدام العتبة الزلزالية المتوفرة جرت عدة دراسات لايجاد علاقة المقدار - التكرار للعراق بشكل عام ولعواقب محددة ضمن القطر كان أحدثها وأشملها دراسة العباسي (١٩٨٤) (Al-Abbasi, 1984) ، حيث تم تقدير معالم العلاقة (12) للعراق باستخدام طريقة المربعات الصغرى (Least Squares) كما موضح في العلاقة (18) أدناه :

$$\log_{10} N_c(M) = 6.19 - 0.84 M \quad (M \geq 4.5) \quad \dots(18)$$

حيث ( $N_c$ ) تمثل التكرار المتجمع و  $a = 6.19$  و  $b = 0.84$  • بناءً على هذه العلاقة يمكن استخراج أكبر قيمة متوقعة لمقدار الزلزالية في المنطقة المدروسة ضمن العينة الزمنية البالغة ٢٨ سنة وهي :

$$M_{\max} = \frac{a}{b} = 7.4$$





شكل ( ٤ ) خارطة توزيع بؤر الهزات الأرضية في العراق .  
(From Fahmi, 1982)



ومذه النتيجة تتفق بشكل جيد مع مقدار الهزة الارضية القصوى المشاهدة في الرقعة الجغرافية نفسها ضمن نفس العينة الزمنية والذي يبلغ :

$$M_{\max} (\text{Observed}) = 7.3$$

أما فيما يتعلق بالدراسات لمناطق محددة من القطر فهناك دراسة امبراسيسز ( ١٩٦٩ ) ( Ambraseys, 1969 ) والتي تم من خلالها اشتقاق معادلة المقدار - التكرار لمنطقة التضاريس المحددة بخطي طول  $43^{\circ}$ - $47^{\circ}$ N وخطي عرض  $32^{\circ}$ - $36^{\circ}$ N ( انظر الشكل رقم ٥ ) :

$$\log_{10} N(M) = 5.2 - 0.74 M \quad \dots(19)$$

حيث أن العينة الزمنية المدروسة كانت ٦٠ سنة •

في دراسة أحدث لتوشج ( ١٩٨٠ ) ( Tosis, 1980 ) تم اشتقاق المعادلتين التاليتين ( انظر الشكل رقم - ٦ ) :

— منطقة سفوح الجبال ( Foot hills ) المجاورة لجبال زاكروس ومعادلتها :

$$\log_{10} N(M) = 4.58 - 0.69 M \quad \dots(20)$$

— منطقة جبال زاكروس ومعادلتها :

$$\log_{10} N(M) = 5.21 - 0.77 M \quad \dots(21)$$

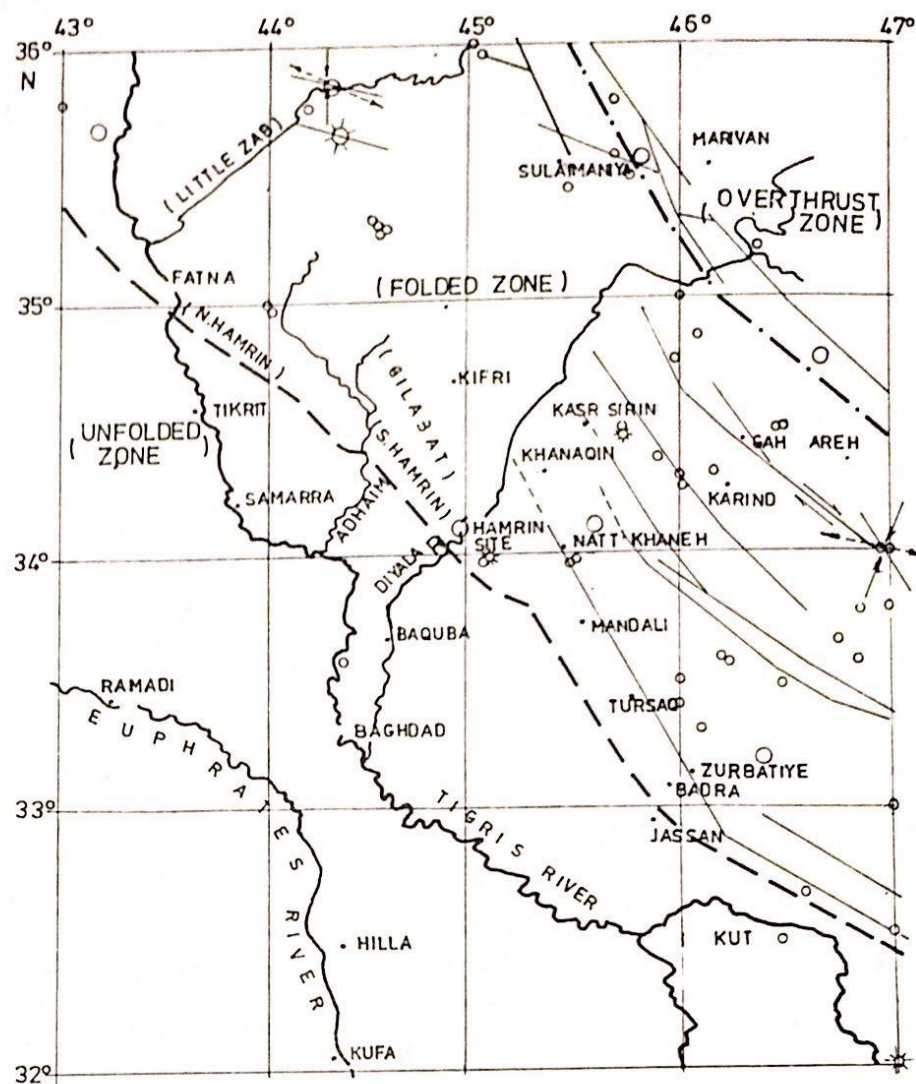
هذا وعند أخذ المنطقتين معا نحصل على :

$$\log_{10} N(M) = 5.25 - 0.74 M \quad \dots(22)$$

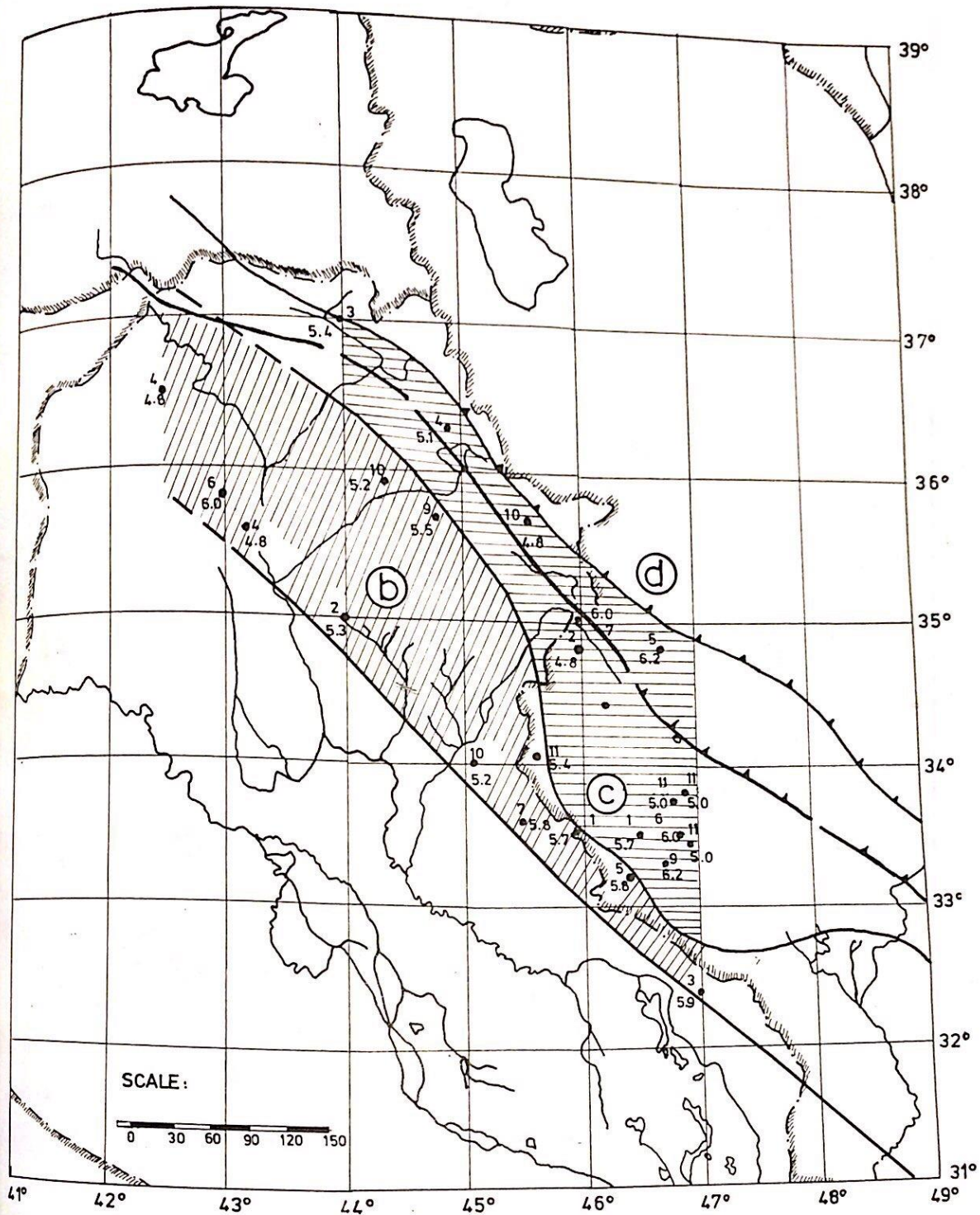
وبذلك نرى أن هناك تشابه بين دراستي امبراسيسز وتوشج ( أى المعادلتين 19 و 22 ) لتقارب مساحات المنطقة المدروسة ولتماثل العينة الزمنية المستخدمة • وهنا تجدر الإشارة الى أن (M) في المعادلات (19) الى (22) تساوى أو تزيد على ٨ أى أن  $M \geq 4.8$  • من ناحية أخرى نلاحظ بأن منطقة سفوح الجبال المجاورة لمنطقة أسكي موصل ( والتي تمتد من ١٥٠ كيلو مترا الى ٢٥٠ كيلو مترا من أسكي موصل وبمساحة دائرية تخضع للمعادلة التالية ( انظر الشكل رقم ٣ ) - :

$$\log_{10} N(M) = 4.76 - 0.66 M \quad (M \geq 5) \quad \dots(23)$$





الشكل (٥) - منطقة التضاريس في شمال وشمال شرق العراق مع مواقع  
بؤر الزلازل المهمة



شکل (٦) - المنطقة المدروسة من قبل توسج في شمال وشمال شرق العراق

(From Tomic, 1980)



لو أخذنا عطية عشوائية افتراضية  $f(X, t)$  ، حيث أن  $(X)$  هو متغير ذو أهمية هندسية لأحد جوانب التصميم وليكن ذلك مثلاً (التصريف) لنهر ما . ولتكن الدراسة في هذه الحالة إنشاء سد على هذا النهر . ففي أغلب الاحوال لا يعتمد تصميم السد على المعرفة الدقيقة للتغير في  $f(X, t)$  وإنما على القيم القصوى أو (الصغرى) للمتغير  $(X)$  والتي يمكن لهذا المتغير أن يأخذها خلال العمر التصميمي للمشروع .

إن المعرفة الكاملة بالعطية  $f(X, t)$  تتضمن ولا شك المعرفة الكاملة بالبيانات كافية بضمها القيم القصوى أو (الصغرى) . إلا أن تحليل سجل البيانات الكامل يكون عادة معقد ومتعصب للغاية . كما أن هناك احتمال كون السجل المذكور غير كامل . لذا يمكن تقسيم العينة الزمنية للسجل إلى فترات زمنية منتظمة وتركيز الدراسة على القيم القصوى أو (الصغرى) للمتغير في كل فترة من هذه الفترات .

وكما أشرنا إذا لو كان المتغير  $(X)$  هو التصريف في النهر ولو جعلنا  $(Y)$  تمثل تصريف الفيضان السنوي الأقصى (Maximum Annual Flood) فتمثل عندئذ القيم القصوى  $(Y)$  للسنوات المتتالية بعطية نقطية (Point Process) منتظمة تقع ضمن العطية الأصلية المستمرة  $f(X, t)$  . ويمكن أن تمثل هذه العطية النقطية بتوزيع رياضي احصائي معين يستند بالأساس على نظرية الاحتمالات . من جهة أخرى تعتبر النظرية الاحتمالية في الاحصاء الرياضي المركّز الأساسي في تحليل وتقييم المخاطر الزلزالية (احصائياً) وبالتالي توقع الحدوث الدوري لأقصى مقدار زلزالي (التهب الزلزالي) ضمن رقعة جغرافية معينة .

فيما يلي سنتناول نظرية القيم القصوى بشيء من التفصيل مستندين بذلك على دراسة العباسي (١٩٨٤) .

يعتبر أحصاء القيم القصوى حالة خاصة من الاحصاء الترتيبي والذي يتم من خلاله ترتيب المشاهدات (البيانات) تصاعدياً (أو تنازلياً) حسب قيمتها . فإذا كان  $M_1$  متغير عشوائي مستقل له دالة توزيع احتمالية  $f(M)$  و  $a \leq M_m \leq b$  فإن الصيغة العامة لاحتساب دالة التوزيع الاحتمالية للأحصاء المرتب من الرتبة  $m$  هي :

$$h_m(M) = \frac{n!}{(n-m)! (m-1)!} F_m^{m-1}(M) [1 - F_m(M)]^{n-m} f_m(M) \quad \dots (24)$$



ومما يمكن ملاحظة أن العلاقة (24) تعتمد على التوزيع الاساسي للمتغير  $M$  وحجم العينة  $n$  والدرجة  $m$  .

ان دالة التوزيع الاحتمالية للقيم القصوى يمكن التوصل لها من العلاقة (24) بكتابة التالي :

$$\left. \begin{aligned} h_n(M) &= n [F_n(M)]^{n-1} f_n(M) & a \leq M_n \leq b \\ h_1(M) &= n [1 - F_n(M)]^{n-1} f_1(M) & a \leq M_1 \leq b \end{aligned} \right\} \dots (25)$$

وباجراء عطية التكامل على العلاقة (25) يمكن التوصل الى دالة التوزيع للقيم القصوى :

$$\left. \begin{aligned} H_n(M) &= [F_n(M)]^n \\ H_1(M) &= 1 - [1 - F_1(M)]^n \end{aligned} \right\} \begin{array}{l} \text{نفس مجال التغير} \\ \text{للمعادلة (25)} \end{array} \dots (26)$$

تقسم التوزيعات الاحتمالية الى ثلاثة أنواع :

Exponential Distribution	التوزيع الاسي	-
Cauchy Distribution	توزيع كوشي	-
Bounded Distribution	التوزيع المحدود	-

تقع التوزيعات الطبيعية (Normal) واللوجاريتمية الطبيعية وتوزيع كاما (Gamma) ضمن التوزيعات الاسية ، بينما تقع توزيعات كوشي غير المحددة وباريتو (Pareto) ضمن توزيعات كوشي أما التوزيع المنتظم (Uniform) وتوزيع بيتا (Beta) فهما أمثلة على التوزيعات المحددة .

استنادا الى هذه الانواع من التوزيعات تمكن كميل ( ١٩٥٨ ) ( Gumbel, 1958 ) من ايجاد ثلاثة توزيعات تقاربية (Asymptotic) للقيم القصوى سميت على اسمه وهي التوزيع الاول والثاني والثالث اعتمادا على التوزيعات الاساسية التالية : الاسية وكوشي والمحددة وهي

على التوالي :

: (Gumbel Type I)

توزيع كهل الاول

$$G_n^I(M) = \exp \left[ -\exp - \alpha_n (M - U_n) \right] \quad \dots(27)$$

: (Gumbel Type II)

توزيع كهل الثاني

$$G_n^{II}(M) = \exp \left[ -(U_n - E/M - E)^{k_n} \right] \quad \dots(28)$$

: (Gumbel Type III)

توزيع كهل الثالث

$$G_n^{III}(M) = \exp \left[ -(W - M/W - U_n)^{k_n} \right] \quad \dots(29)$$

(Extremal Intensity Function)

(Lower Limit)

(Upper Limit)

(Characteristic Extreme)

(Shape Parameter)

حيث :  $\alpha_n$  = دالة الكثافة القصوى $E$  = الحد الاسفل $W$  = الحد الاعلى $U_n$  = الصفة المميزة القصوى $k_n$  = معلمة الشكل

من خلال ما تقدم يتضح بأنه يمكن تطبيق نظرية القيم القصوى لايجاد الحد الاعلى لقدر الزلزال ، وذلك عن طريق تحليل السلسلة الزمنية لعقادي الهزات الارضية الحادثة فعلا في منطقة ما استنادا الى العلفة الزلزالية المتوفرة لتلك المنطقة . بتقسيم العينة الزمنية لفترة التسجيل الى مراحل متساوية ( عادة سنة واحدة ) واستخراج أكبر مقدار للزلزال في تلك السنة ثم ادراجها زمنيا تتكون لدينا قاعدة بيانات يمكن استعمالها في عملية تحليل القيم القصوى .



كما ذكرنا سابقا فإن المعادلة (27) تفترض أن التوزيع الاساسي لقدرار الهزات الارضية غير محدد ومن النوع الاسي ، بينما المعادلة (28) تفترض التوزيع الاساسي محدد من الجهة السفلى ومن نوع كوشي . أما المعادلة (29) فتفترض التوزيع الاساسي محدد من الجهة العليا ومن نوع المحددة . هذا ولما كان الحد الاسفل لتوزيع القيم القصوى لقدرار الزلازل غير مهم بالنسبة للخطورة التي تشكلها الهزات ذات القدرار الصغيرة فإن تطبيق المعادلة (28) غير مجدى ولا فائدة فسي استخدامها . وذلك فإن الاهتمام ينصب عادة على التوزيعين الاول والثالث .

بأخذ اللوغاريتم المضاعف يمكن تحويل التوزيع التقاربي الاول الى صيغة خطية والتوزيع التقاربي الثالث الى صيغة لوغارتيمية ، حيث :

$$-\ln [-\ln G^I(X)] = \alpha (X - U)$$

$$-\ln [-\ln G^{III}(X)] = k [\ln (W - U) - \ln (W - X)]$$

بعد أن يتم تسقيط البيانات الفعلية على أوراق لوغارتيمية مضاعفة ( تسمى ايضا بأوراق كهمبل الاحتمالية ) بحيث يمثل محورها الشاقولي مقدار الزلازل ومحورها الافقي الحد  $-\ln [-\ln G(X)]$  . نستطيع تحديد وبصورة أولية التوزيع الذى يمثل الظاهرة أفضل تمثيل . فإذا اقترب انتشار المشاهدات من الخط المستقيم فإن العينة تخضع للتوزيع التقاربي الأول . أما اذا اقترب انتشار المشاهدات من منحني محدب ( الى الأعلى ) فكان الظاهرة تتبع التوزيع التقاربي الثالث .

يمكن الاستفادة ايضا من نظرية القيم القصوى في تقدير الحد الاعلى لقدرار الزلازل خلال فترة محددة . فإذا كان توزيع القيم القصوى لقدرار الزلازل  $G(M)$  فإن :

$$P(M) = 1 - G(M)$$

وان متوسط عدد السنوات الكافية لحدوث هزة ارضية من القدرار أكبر من أو يساوى  $M$  أو الحدوث الدوى للهزات الارضية (Return Period) مقاسا بالسنين من القدرار  $M$  يمكن كتابتها كالتالي :

$$T(M) = [1 - G(M)]^{-1} \quad \dots(30)$$

بتعبير آخر فإن مقدار الزلزال  $M$  الذي يقابل  $T(M)$  معينة يمثل الحد الأعلى لمقدار الزلزال خلال تلك الفترة •

يبقى أن نذكر شي "عن تقدير معالم التوزيعات التقاربية • فهناك عدة طرق لتقدير معالم التوزيعات التقاربية ( Estimating Parameters ) من أهمها طريقة المربعات الصغرى (Least Squares) وطريقة الامكان الأعظم (Maximum Likelihood) • وتعتمد الطريقة الأولى على جعل مجموع مربعات الفروق بين القيم المشاهدة والقدرة أقل ما يمكن ، بينما تعتمد الطريقة الثانية على جعل ما يسمى بالدالة المشتركة أعظم ما يمكن •

### ١٠٨٠٥ التوزيعات التقاربية لتقديرات الهزات الأرضية القصوى في العراق

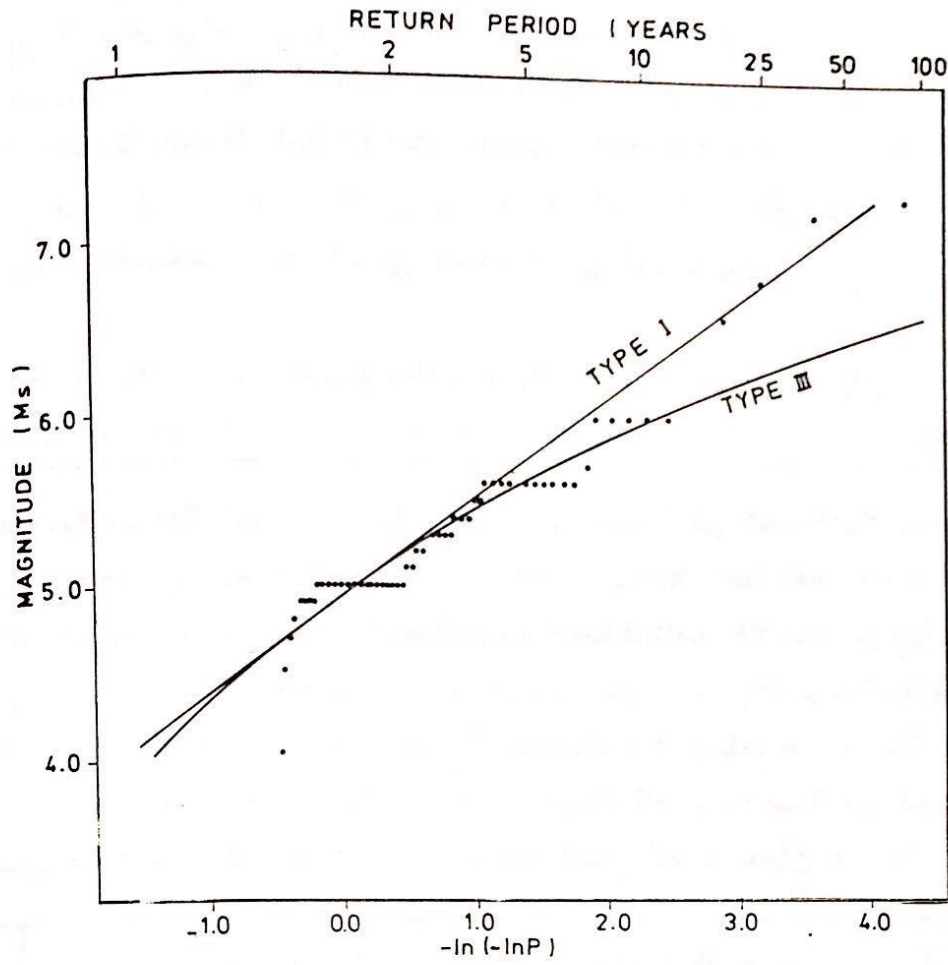
Maximum Magnitude Asymptotic Distributions for Earthquakes in Iraq:

لقد تم تقدير معالم التوزيعين الأول والثالث لكامل اعتماداً على الطفرة الزلزالية في العراق من قبل العباسي وفهمي ( ١٩٨٥ ) ( Al-Abbasi and Fahmi, 1985 ) ، حيث تم تهيئة القيم القصوى السنوية للتقديرات بتقسيم العينة الزمنية البالغة ٧٨ سنة إلى فترات متساوية باختيار أقصى مقدار للهزات الأرضية التي حدثت في كل عام • بعد ذلك تم تقدير معالم التوزيعين الأول والثالث بطريقتي المربعات الصغرى والامكان الأعظم ( باستعمال برنامج حاسبة لهذا الغرض ) • يوضح الشكل رقم ( ٧ ) ماتم التوصل له بالنسبة لتقدير المربعات الصغرى ، بينما يمثل الجدول رقم ( ٣ ) الحدوث الدوري المشاهد والقدرة لتقديرات الزلازل القصوى في العراق •

الحدوث الدوري T(M) ( بالسنة )			أقصى مقدار الزلازل (M)
الحدوث القدر		الحدوث المشاهد	
التوزيع التقاربي الثالث	التوزيع التقاربي الاول		
1.0	1.0	1.2	4.0
1.1	1.1	1.3	4.5
1.7	1.8	1.7	5.0
3.7	3.6	3.3	5.5
12.0	7.9	7.9	6.0
67.0	18.5	19.8	6.5
1096.0	44.5	39.5	7.0
-	108.0	-	7.5

جدول رقم ( ٣ ) الحدوث الدوري المشاهد والقدرة بطريقة المربعات الصغرى لتقديرات الزلازل القصوى في العراق (From Al-Abbasi and Fahmi, 1985 )





شكل ( ٧ ) التوزيعات التقاربية لمقادير الهزات الأرضية القصوى في العراق  
مرتسة على مقياس لوغاريتمي مضاعف ومقدرة بطريقة المربعات  
الصغرى • (From Al-Abbasi and Fahmi, 1985)

كما وسبق ذكره فإن الهزات الأرضية تؤدي إلى انطلاق طاقة حركية هائلة على شكل موجات زلزالية منها موجات سطحية وأخرى باطنية أو جسمية طولية وعرضية والآخرى هي السحب الرئيسية في التدمير والخسائر التي تتعرض لها المنشآت • ومن خلال تحليل الحركة الأرضية نحصل على مركبات أفقية وأخرى عمودية في جميع الاتجاهات • ويبدو ذلك جليا من دراسة الأرصاد والسجلات الزلزالية • من نتائج هذه الحركة حصول إزاحات (Displacements) كما أن ارتجاج سطح الأرض يقسم بسرعة وتحجيل (Velocity and Acceleration) يعتمدان على مقدار الهزة والبعد البؤري من جهة وعلى طبيعة المنطقة جيولوجيا وتكتونيا من جهة أخرى ، حيث تتلاشى وتتوهم هذه الحركة كلما زاد البعد عن البؤرة المذكورة •

لقد قام علماء الزلازل ومهندسي الهزات الأرضية باشتقاق عددا كبيرا من معادلات التوهين هذه (Attenuation Laws) اعتمادا على المعلومات المتوفرة لأقصى طاقة مسجلة في المراصد والتي تعطي نتائج جيدة في مناطق مختلطة من العالم استنادا إلى كمية ونوعية المعلومات الزلزالية المستخرجة وتحليلها وعلى النظريات المتوفرة لمصدر الزلزال • لذا فإنه من الضروري عند دراسة منطقة زلزالية منطقة ما استعمال أكبر عدد ممكن من معادلات التوهين هذه ومن ثم دراسة النتائج على ضوء ما سجل فعلا من أرصاد للمنطقة وتاريخها الزلزالي •

يمكن تقدير تأثيرات الزلازل ( ذات مقدار معين ) على موقع جغرافي معين من خلال إيجاد علاقة رياضية وضعية بين التعجيل الأقصى المتوقع من (Maximum Expected Ground Acceleration) في الموقع نتيجة حدوث هزة أرضية افتراضية ( تسمى بالهزة التصميمية (Design Earthquake) هذا ويمكن كتابة العلاقة الرياضية بشكل معادلة أسية عامة :

$$f(M) = \alpha \exp(\beta M) / R^\gamma \quad \dots(31)$$

حيث :  $f(M)$  هي دالة المقدار ( أى الطاقة الواصلة ) في الموقع تحت الدراسة نتيجة حدوث زلزال معين وهي تتناسب مع الإزاحة  $(x, \text{cm})$  أو السرعة  $(\dot{x}, \text{cm/s})$  أو التعجيل  $(\ddot{x}, \text{cm/s}^2)$  الأرضي الأقصى المتوقع في الموقع • ( علما أن :  $\dot{x} = dx/dt$  ;  $\ddot{x} = d^2x/dt^2$  )

$\alpha$  ،  $\beta$  ،  $\gamma$  هي ثوابت المعادلة وتعتمد بشكل رئيسي على  $f(M)$  وعلى كمية ونوع المعلومات الزلزالية المستخدمة •  
R : البعد البؤري (Focal or Hypocentral Distance)



هناك عدد من معادلات التوهين تم التوصل اليها خلال العقدين الماضيين يمكن من خلالها تقدير التعجيل الارضي المتوقع وتعتبر هذه المعادلات عامة وشاملة لكافة أنحاء العالم (Global Attenuation Laws) هذا وتدرج في الجدول رقم ( ٤ ) أهم هذه المعادلات المعتمدة حاليا في التطبيق مبيدين ازا كل منها المصدر الذي تم استخدامه المعلومات منه :

صيغة الحد R	الحد $\gamma$	الحد $\beta$	الحد $\alpha$	مصدر المعلومات
R	2.0	0.8	2000	Esteva (1967)
R + 25	1.32	0.5	1080	Donovan (1973)
R + 40	2.0	0.8	5600	Esteva (1974)
R + 25	1.3	0.64	472	McGuire (1974)
R	1.1	1.45	2.88	Ambraseys (1975)
R + 25	0.92	1.46	1.33	Ambraseys (1978)

جدول رقم ( ٤ )  
القيم الثابتة لأهم معادلات التوهين ( حسب المعادلة - ٣١ )  
المطبقة في العالم في الوقت الحاضر \*

لقد توصل كذلك دونغان وبورنشتاين ( ١٩٧٨ ) ( Donovan & Bornstein, 1978 ) الى أحدث معادلة للتوهين تمكن الباحثان من خلالها ربط البعد البؤري للزلازل بقيم الثوابت  $\alpha$  ،  $\beta$  ،  $\gamma$  بشكل أكثر دقة :

$$\ddot{x} = b_1 \exp (b_2 M) / (R + 25) b_3 \dots (32)$$

$$2154 \times 10^3 / R^{2.1} = b_1 \quad \text{حيث :}$$

$$0.046 + 0.445 \log R = b_2$$

$$2.515 - 0.486 \log R = b_3$$

من جهة أخرى فمن الممكن التعبير رياضياً عن ترابط التعجيل الأرضي المتوقع بأقصى شدة زلزالية تتم تخمينها في الموقع • فلو استذكرنا المعادلة رقم ( ٥ ) نجد بأن العلماء المختصين أوجدوا صيغة وضعية بين التعجيل والشدة الزلزالية ، وهناك عدة معادلات تستخدم في الوقت الحاضر وأهمها ما يلي :

— معادلة ميلن ودافنبورت ( ١٩٦٩ ) (Milne and Davenport, 1969)

$$\log_{10} \ddot{x} = I/3 - 1.5 \quad \dots(33)$$

— معادلة ترايفوناك وبريدى ( ١٩٧٥ ) (Trifunac and Brady, 1975)

$$\left. \begin{aligned} \log_{10} \ddot{x}_{(H)} &= I/3 - 0.014 \\ \log_{10} \ddot{x}_{(V)} &= I/3 - 0.18 \end{aligned} \right\} \quad \dots(34)$$

حيث : H و V تعني قياس التعجيل الأرضي بالاتجاهين الأفقي والعمودي على التوالي •

هذا ومن الممكن تطبيق المعادلة رقم (34) للشدة الزلزالية التي تقع بين 4 إلى 10 درجات على قياس مركالي المعدل ( راجع الجدول رقم — ١ ) •

ولا بد من التأكيد مرة أخرى بأن الوضعية الجيولوجية للموقع وخواص التربة فيه لها التأثير البالغ والكبير على القيم الفعلية للتعجيل الأرضي وسرعة الموجات الزلزالية ، حيث من المعروف بأن— في حالات الهزات القريبية التي تتجاوز في شدتها ( ٥ ) درجات على قياس مركالي المعدل فإن قيمة التعجيل الأقصى في التربة الصلبة (Hard Soil) تكون حوالي ضعف قيمته في الصخور الرخوة أو التربة الرسوبية (Loose Soil) • حيث أثبت ذلك خلال الأعوام العشرة الماضية من تحليل إحصاء مخططة مسجلة في أوروبا وغرب الولايات المتحدة الأمريكية ، كذلك هو الحال بالنسبة



للزلاحات ، حيث ان الازاحة القصوى في الترب الرخوة تبلغ حوالي ضعف ما تبلغه في الترب الصلبة ، لذلك فان الاحتياج المهم الذي يمكن التوصل اليه هو أن نوعية تربة الاسس لها التأثير الكبير على تصميم المنشآت الهندسية كالسدود مثلاً عند دراسة الاستقرارية الديناميكية لها .

الباب الثاني

التأثيرات الفعلية على السدود والمنحدرات الطبيعية

Part Two

Actual Effects on Dams and Natural Slopes



ان الهدف النهائي من دراسة تأثيرات الزلازل على السدود هو التأكيد بما لا يقبل الشك من السلامة المطلقة لهذه السدود سواء القائمة منها أو المخطط لاقامتها . كما أن الخبرة المكسبة من تصميم السدود الكبيرة القائمة تعتبر الأساس لتصميم السدود الجديدة . وأن مراقبة السدود الواقعة تحت تأثير الزلازل وملاحظة مدى ونوع الاضرار الحاصلة فيها تعتبر الخطوة التالية لزيادة هذه الخبرة واغنائها . ويعتبر الآن في هذا الحقل تجربة جيدة متراكمة من انهيارات بعض السدود اضافة الى الدراسات النظرية والتحريات الموقعية لاكتشاف أسباب وميكانيكية هذه الانهيارات . ولا بد لنا أن نذكر بأن أحد أشكال ميكانيكية تدهام وانهار السدود تحت تأثير الزلازل ناتج من تصحيع (Liquefaction) المواد المكونة لبعض أو كل أجزاء السد ويؤدي ذلك الى فقدان مقاومة هذه المواد لقوى القص وبالتالي حصول الانزلاقات في جسم السد . كما أن هناك أسباب عديدة أخرى قد تسبب هذا الفشل . وقد تجتمع عدة أسباب معاً لحصول هذا الامر مما يتطلب دراسة كافة هذه الامور وهما الظروف التي قد تحصل فيها بقصد تلافي وقوعها ، وسنوف نتطرق الى بحثها في الاقسام التالية من هذا الفصل . ولا بد في الختام من اعطاء فكرة عن درجة الامان المعروفة في موقع ما أو في تصميم معين أو ما يعرف ( بالخطورة الزلزالية Seismic Risk ) ، حيث ان ذلك يقودنا الى تحديد الخطوط العريضة التي سوف يستند عليها تصميم السد لمقاومة هذه التأثيرات وبالتالي يعطينا المؤشرات الاولى لشكل السد ومكوناته ودرجة الضرر التي قد يتعرض لها تحت تأثير الهزات الارضية المختلفة .

يمكن تعريف الخطورة الزلزالية لموقع معين بمدى امكانية تعرض الموقع المذكور خلال فترة زمنية معينة لزلازل ذو قوة قصوى محددة ، وكذلك تكرار كافة الزلازل الاخرى الاقل قوة خلال تلك الفترة مع مدى التأثيرات السطحية التدميرية التي تصاحب الحركة السطحية للموجات الزلزالية وكما تم شرحه في ( ١٠٩ ) .

ان ما يهم البحث في هذا المجال هو مدى الاضرار والتخريبات التي تحصل جراء هذه الحركة والحد الصريح بها ، حيث أن تصميم المنشآت الهندسية يجب أن تأخذ هذا الموضوع بنظر الاعتبار لتقليل الضرر الى اقل درجة ممكنة وضمن حدود اقتصادية .

ان فلسفة تصميم السدود الحديثة تعتمد هذين المبدأين ، أي السلامة والكلفة الاقتصادية كأساسين لتحديد مدى الخطورة الزلزالية الواجب اعتمادها للتصميم وأن هذا مطلق مع

توصية المؤتمر العالمي للسدود العالية ( ICOLD ) حيث يعتمد التصميم مستويين لخطورة الهزات الأرضية :

### المستوى الأول ( وهو المستوى الاوطأ )

ويعرف بمستوى الهزة الأرضية التصميمية (Design Earthquake) : وهو ذلك المستوى من الهزات الأرضية الذي لا يسمح فيه بحصول أى ضرر للسد أو منشاته ، لذا فعند اجراء حسابات الاستقرار الديناميكية (Dynamic Stability) يتم اختيار معاملات الامان بحيث تكون جميع الاجهادات ضمن حدود المرونة (Elastic Limits) ولا يسمح بحصول أى تشوه دائم ، وعليه يجب أن لا يلحق بالسد أو منشاته في هذا المستوى أى ضرر قد يؤثر على تشغيله خلال أو بعد الهزة التصميمية .

### المستوى الثاني ( وهو المستوى الاعلى )

ويظل هذا المستوى الهزة الأرضية القصوى الممكنة (Maximum Credible Earthquake) وان مفهوم هذه الهزة يشابه من وجوه كثيرة مفهوم الفيضان الاقصى المحتمل (Maximum Probable Flood) في حسابات الفيضانات . وهي أقصى هزة أرضية ممكنة الحدوث على الاطلاق في موقع السد أو المناطق القريبة منه . وتطعب جيولوجية المنطقة وتكوينها التكتوني مثل وجود الفوالق النشطة وشكلها وطوبوغرافية الارض وتركيبها الجيولوجي الدور الرئيس في تحديد خطورة الهزة .

هذا ويتم ضمن هذا المستوى اختيار معاملات الامان في حسابات الاستقرار الديناميكية بحيث يسمح بحصول الاجهادات والتشوهات الدائمة ( أى خارج حدود المرونة ) وعلى شرط أن لا تترجم الاجهادات والتشوهات على سلامة السد ولا تسبب تداعيه أو انهياره . ويكون من الطبيعي أن يحتاج السد ومنشاته بعد وقوع مثل هذه الهزة الى أعمال تصليح لجعلها تقوم بعطها الاصلي الذي كانت صفة من أجله ، وذلك فأ أن التصميم يأخذ بعين الاعتبار في هذا المستوى حصول بعض الاضرار وان اختيار معامل الامان لتحديد مدى الخطورة الزلزالية الممكن تحملها ومدى الاضرار المتوقعة فيها هي مسألة اقتصادية . والأمر الاساسي في هذا الموضوع هو عدم السماح بالانهيار السد ، حيث أن الاضرار الناجمة عن هذا الانهيار وخاصة بالنسبة ( للارواح ) تعتبر عالية . وقد لا يمكن تقييمها بمعايير اقتصادية ، اضافة الى الاعتبارات الاجتماعية والسيكولوجية التي تحتم عدم حصول مثل هذا الشيء .

وخلاصة القول فأ أن بحث الخطورة الزلزالية بالنسبة للمنشآت الهندسية وخاصة السدود يتعدى ايجاد احتمالات وقوع الزلازل المخططة ومقدارها الى مدى الاضرار المتوقعة . ويرتبط ذلك بتصميم المنشأ أو السد نفسه .



هناك أسلوبان لدراسة جوانب الخطورة الزلزالية وتحديد الهزة الأرضية التصميمية :

(Deterministic Procedure)

(Probabilistic Procedure)

(أ) الأسلوب الحتمي

(ب) الأسلوب الاحتمالي

يتضمن الأسلوب الحتمي دراسة الجيولوجية الأساسية للمنطقة وتكوينها التكتوني ، وذلك ضمن دائرة نصف قطرها حوالي ( ٣٠٠ ) كيلو متر عادة ، ويمكن أخذ نصف قطر أكبر في حالة وجود بعض زلزالية قوية مرصودة ( في مناطق يزيد بعدها عن ذلك بقصد ادخال هذه البؤر ضمن منطقة الدراسة ) . ثم تقسم هذه المنطقة الى المناطق التكتونية الزلزالية المختلفة ( Seismotectonic zones ) المكونة لها ، وتدرس كل من هذه المناطق بتعيين حدودها على الخارطة ، ثم تحدد مواقع الفوالق النشطة . وتتم دراسة السجل التاريخي للهزات فيها . فتحدد وترسم بؤر الزلازل ويتم تخمين شدتها في حالة عدم وجود أرصاد مسجلة لها . ويتم بعد ذلك اختيار عدد من الهزات الكبيرة من ضمنها وتجرى عملية تعظيم (Maximization) لتأثيرات هذه الهزات بالنسبة لموقع السد ، وذلك بأن يتم نقل بؤر هذه الزلازل على طول الفوالق والى أقرب نقطة للفالق من موقع السد ، ثم باستعمال معادلات التوهين المناسبة تحدد شدة الهزة وتأثيراتها الحركية على موقع السد . ونتيجة لذلك نحصل على عدد من الهزات الكبيرة المفترضة الوقوع في أقرب موقع السد ، حيث يتم اختيار الهزة ذات أشد التأثيرات على الموقع من بين هذه الهزات ويتم اعتمادها كهزة تصميمية (DE) ويمكن توضيح هذه العملية بالشكل رقم ( ٨ ) .

نرى مما تقدم أعلاه بأن هذا الأسلوب رغم اعطائه الهزة الأرضية التصميمية للموقع إلا أنه لا يحدد احتمالات حصول مثل هذه الهزة وبالتالي لا يعطينا مقياساً دقيقاً لمدى الخطورة المتوقعة في اعتماد هذه الهزة ، ولذلك يفضل الأسلوب الاحتمالي في كثير من الحالات ، حيث أن الأسلوب الأخير يعطينا معدل تكرار الهزات الأرضية المختلفة في الموقع .

في الأسلوب الاحتمالي هناك عدد من الخطوات الواجب اتباعها وكما يلي :

(أ) يتم تحديد المنطقة المحيطة بالسد على الخرائط وكما هو الحال في ( الأسلوب الحتمي ) كما

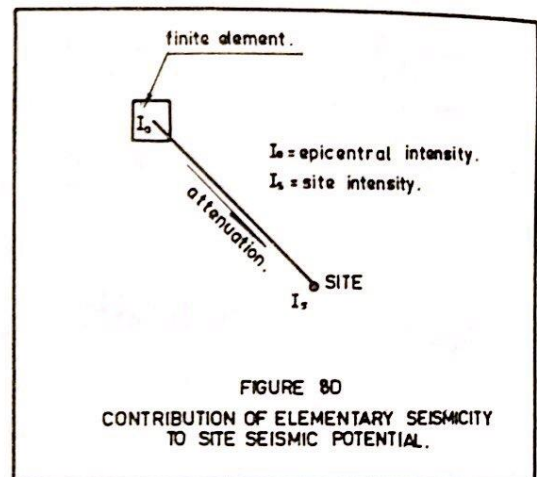
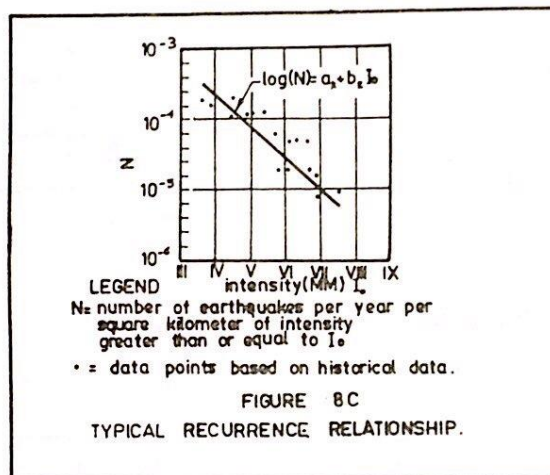
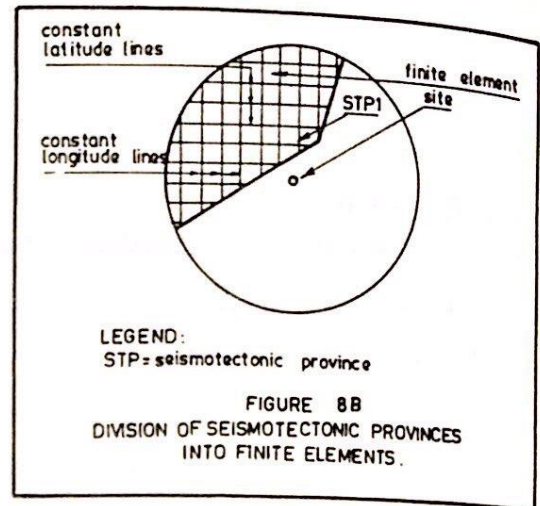
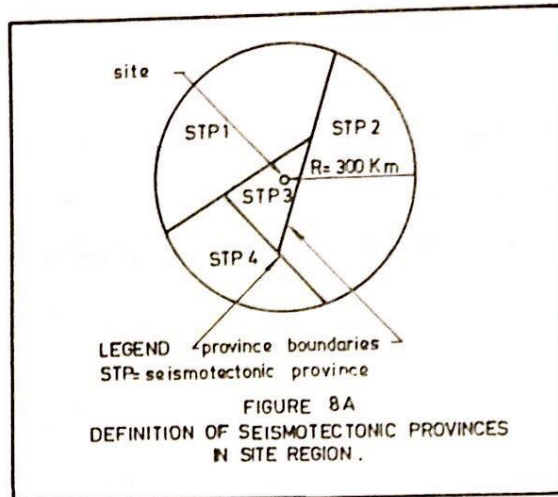
يتم تقسيم هذه المنطقة الى مناطق تكتونية زلزالية مختلفة أيضاً .

(ب) يتم تقسيم كل منطقة تكتونية زلزالية حسب خطوط الطول والعرض المارة بها الى شبكة من

القطع (Elements) .

(ج) يفترض بأن الفعالية الزلزالية لكل قطعة موزعة بصورة منتظمة في تلك القطعة ، وعليه يمكن

افتراض ان هذه الفعالية متركزة في مركز القطعة لغرض الحسابات .



شكل (٨) - دراسة المخطورة الزلزالية لموقع معين بسبب الهزات الأرضية  
في المنطقة المحيطة به .



د) يتم اشتقاق معادلة التكرار ( حسب نموذج بواسون ) لكل قطعة ، اما بدلالة الشدة أو بدلالة المقدار اذا ما توفرت الارصاد المسجلة الكافية ، وذلك بعد دراسة السجل الزلزالي لكل منها ويكون :

$$\text{Log } (N_{kj}) = a_k + b_k I_o$$

حيث أن (k) يرمز للمنطقة التكتونية الزلزالية و (j) تمثل القطعة ذات العلاقة و (a<sub>k</sub>) و (b<sub>k</sub>) ثوابت معادلة بواسون للمنطقة ، كما أن (N) هو عدد الهزات التراكمي لكل كيلومتر مربع . ويمكن كتابة المعادلة بالشكل التالي :

$$N(kj) = A_j \left[ 10^{(a_k + b_k I_o)} \right] \quad \dots(35)$$

حيث أن (A<sub>j</sub>) تمثل مساحة القطعة (j) بالكيلومترات المربعة .

هـ) بافتراض ان مقياس الشدة مستمر وباعتماد فترة لهذا المقياس بمقدار ( ٢٠ ) فأنا حدود قيمة معينة للشدة (I) على هذا المقياس تكون من (I - 0.1) الى (I + 0.1) ، وحيث ان المعادلة اعلاه تعطينا العدد التراكمي للهزات من صفر لغاية (N) فأنا عدد الهزات للشدة (I) فقط يكون :

$$N(kj) = A_j \left[ 10^{a_k + b_k(I+0.1)} - 10^{a_k + b_k(I-0.1)} \right] \quad \dots(36)$$

و) باستعمال علاقات التوهين الخاصة بالمنطقة وبمعرفة المسافة بين القطعة (j) وموقع السد يمكننا تحديد الشدة (I<sub>js</sub>) في موقع السد الناجمة عن (I<sub>j</sub>) . ويمكننا أن نعرف من التكرارات للقطع تكرار الهزات (N(I<sub>s</sub>)) للموقع ككل وتكون فترة التكرار (T<sub>s</sub>) :

$$T_s = \frac{1}{N(I_s)} \quad \dots(37)$$

كما يمكننا اشتقاق قيمة التعجيل بموجب المعادلات الواردة في ( ١٠٩ ) من الفصل الأول . وبهذا الاسلوب يمكن اعطاء صورة واضحة لزلزالية المنطقة المحيطة بموقع السد والتأثيرات التراكمية للمنطقة ككل على الموقع المذكور مع تكرارات الهزات ذات الشدة أو المقادير المختلفة .

لم يتم تركيز الاهتمام على موضوع الخطورة الزلزالية في العراق الا مؤخراً ، حيث أظهرت المشاريع التنوعية الطموحة في القطر خلال الخمس سنوات الماضية الحاجة لوضع معايير محددة تستند على الواقع الزلزالي المحيط بالعراق من أجل احتساب مستويات الخطورة الزلزالية المتوسطة أو حتى الواطئة منها ولعموم البلاد .

قبل مباشرة وحدة الرصد الزلزالي عام ١٩٨٢ بمشاريعها البحثية الموجهة لتحديد المعاملات الزلزالية الهندسية للقطر ، ومنذ منتصف السبعينات اجريت عدة أبحاث في مجال الهندسة الزلزالية كان أولها دراسة ( السنوي وغالب عام ١٩٧٥ ) ( Alsinawi and Ghalib, 1975 c ) ، حيث تم تجميع أول خارطة للشدة الزلزالية من خلال دراسات إقليمية سابقة . من جهة أخرى فإن بحث ( السنوي والموسوي عام ١٩٨٠ ) ( Alsinawi and Almoosawi, 1980 ) وعلى الرغم من احتوائه على كثير من التناقض العلمي في الأساليب المستخدمة والنتائج المستخرجة ، الا أنه يعتبر أول خطوة جادة على طريق تقنين الخطورة الزلزالية في القطر العراقي .

هناك دراسات أحدث تبحث في تقييم خطورة الهزات الأرضية في العراق باستعمال الأسلوب المحدد مع الأخذ بنظر الاعتبار فترة التكرار ، حيث تم ارتسام التوزيع الجغرافي لمخاطر الهزات الأرضية ( باستعمال معادلة الشدة الزلزالية ) للعراق بتهيئة الهزة الأرضية التصميمية والهزة الأرضية القصوى الممكنة ( Al-Abbasi, 1984 ) ،

أما فيما يخص الأسلوب الاحتمالي فهناك دراسة ( محمود وعبد الرضا ١٩٨٤ ) ( Mahmood and Al-Ridha, 1984 ) التي تعطي التعجيل الأقصى ( المحتمل ) لسمتة مناطق رئيسية في شمال العراق هي السليمانية ودوكان ودرند خان والعوصل وكوكوك وأربيل ) باستخدام نموذج بواسون ضمن فترات تكرار مختلفة ( وبمستوى خطورة يتراوح بين ١٠% - ٩٩% ) ولثلاثة أعمار اقتصادية للمنشآت وللمباني هي : عشرون وخمسون ومائة عام . ومن المفيد هنا درج أهم النتائج التي توصل اليها الباحثان وهي مبينة في الجداول ( ٥ ) و ( ٦ ) و ( ٧ ) .

تأثر السدود القائمة بالهزات الأرضية حسب مقدارها وحسب الاسم التصميمية التي قد تم اتباعها في تصاميم هذه السدود إضافة الى تظافر العوامل الطبوغرافية والجيولوجية لموقع السدود أو الخزان .



التعجيل الارضي الاقصى المحتمل (نسبة لوحدة واحدة من التعجيل الارضي)						فترة التكرار (سنتين)	مستوى الخطورة (بالطة)
السليمانية	دوكان	دريندخان	موصل	كركوك	اربيل		
0.180	0.175	0.165	0.170	0.095	0.080	190	10
0.120	0.110	0.110	0.140	0.070	0.068	90	20
0.095	0.085	0.087	0.112	0.070	0.055	57	30
0.075	0.070	0.070	0.095	0.050	0.050	40	40
0.067	0.060	0.060	0.080	0.050	0.050	29	50
0.050	0.055	-	0.065	-	-	22	60
-	-	-	0.055	-	-	17	70
-	-	-	0.050	-	-	13	80
-	-	-	-	-	-	9	90
-	-	-	-	-	-	7	95
-	-	-	-	-	-	5	99
-	-	-	-	-	-	4	99.5

جدول ( ٥ ) العمر الاقتصادي = ٢٠ سنة ( - = أقل من ٠.٠٥٥ )

التعجيل الارضي الاقصى المحتمل (نسبة لوحدة واحدة من التعجيل الارضي)						فترة التكرار (سنتين)	مستوى الخطورة (بالطة)
السليمانية	دوكان	دريندخان	موصل	كركوك	اربيل		
0.256	0.260	0.245	0.190	0.140	0.110	475	10
0.195	0.187	0.185	0.175	0.100	0.085	225	20
0.155	0.150	0.135	0.155	0.087	0.070	150	30
0.125	0.120	0.115	0.140	0.070	0.060	98	40
0.105	0.100	0.100	0.125	0.060	0.055	72	50
0.090	0.085	0.085	0.010	0.055	0.052	55	60
0.080	0.075	0.075	0.095	0.050	0.050	42	70
0.065	0.063	0.055	0.080	0.050	0.050	31	80
0.050	0.050	0.050	0.065	-	-	22	90
-	0.050	-	0.060	-	-	18	95
-	-	-	-	-	-	11	99
-	-	-	-	-	-	10	99.5

جدول ( ٦ ) العمر الاقتصادي = ٥٠ سنة

التعجيل الأرضي الأقصى المحتمل (نسبة لوحدة واحدة من التعجيل الأرضي)						فترة التكرار (سنين)	مستوى الخطورة (بالغة)
السليمانية	دوكان	دريندخان	موصل	كركوك	اربيل		
0.325	0.315	0.287	0.200	0.150	0.137	950	10
0.255	0.250	0.235	0.195	0.135	0.110	449	20
0.215	0.210	0.195	0.175	0.110	0.090	281	30
0.175	0.175	0.165	0.165	0.095	0.075	196	40
0.155	0.150	0.140	0.155	0.085	0.070	145	50
0.135	0.130	0.120	0.142	0.075	0.065	110	60
0.115	0.105	0.105	0.125	0.070	0.065	84	70
0.095	0.090	0.090	0.112	0.060	0.055	63	80
0.080	0.075	0.075	0.100	0.055	0.050	44	90
0.071	0.065	0.065	0.085	0.050	0.050	44	95
0.050	0.055	0.055	0.070	-	-	22	99
-	0.050	0.050	0.065	-	-	19	99.5

جدول ( ٧ ) العمر الاقتصادي = ١٠٠ سنة

التعجيل الأرضي الأقصى المحتمل في شمال العراق (From Mahmood & Al-Ridha, 1984)



هناك عدة طرق محتطة لفشل سد ما في ضوء ما ذكرناه انشا ، ويمكن تخصيصها

بما يلي :

- (أ) انهيار السد نتيجة لحصول فالق في الأسس ويرتبط هذا بجيولوجية الموقع
- (ب) انهيار المنحدرات الجانبية للسد نتيجة للحركة الأرضية ويمكن ملاقة هذا الأمر في مرحلة الدراسات والتصاميم عند إجراء تحليل الاستقرار للمنحدرات • وعلى المصمم أن يأخذ في حساباته أقصى حد ممكن للضغط المسامي (Pore Pressure) في جسم السد ، وكذلك حالة التشبع (Saturation) •

- (ج) فقدان الفضاء المصافي (Free Board) وطفح مياه الخزان فوق هامة السد (Dam Crest) بسبب حصول هبوط كلي أو تفاضلي تكتوني للأسس أو للسد نفسه • وإن هذا الموضوع متعلق بتصميم السد نفسه وجيولوجية الأسس ومدى تأثيرهما بالهزة التصميمية •

- (د) انزلاق السد على طبقة ضعيفة في الأسس نتيجة لفعل القص الناجم عن الهزة •

- (هـ) التآكل بسبب الرشح (Piping) من خلال التشققات والتصدعات في جسم السد والناجمة عن الحركة الأرضية وقد تكون هذه التصدعات طولية أو عرضية أو بشكل ازاحات جانبية بين السد واكتافه • وبصورة عامة فإن معالجة موضوع التشققات والتصدعات سبباً الناجمة عن الزلازل أو لأسباب أخرى تتم في مرحلة التصاميم باختيار مقطع عرضي مناسب للسد مكون من شرائح من المواد المتدرجة اعتباراً من اللب الأصم إلى المرشحات الباعمة ثم المرشحات الخشنة وحتى القشرة الحصوية • ويكون التناسب بحجوم المواد المكونة لهذه الشرائح بحيث تساعد على إندمال التشققات والتصدعات بصورة تلقائية بما يعرف بالاندمال الذاتي (Self healing) •

- (و) طفح مياه الخزان فوق هامة السد نتيجة للموج الناتج عن الهزة وما ينتج عن ذلك من تأثيرات تدميرية ومن انجراف وتآكل •

- (ز) طفح مياه الخزان فوق هامة السد نتيجة لأنهارات طبيعية للصخور أو انزلاق السفوح داخل الخزان ويفترض أن يكون اختيار موقع السد مبني على دراسة مستفيضة للأحوال الطبيعية لسفوح الخزان لتلاقي مثل هذا الأمر •

- (ح) طفح مياه الخزان فوق هامة السد نتيجة لتوقف المسيل أو المنافذ الأخرى عن العمل ويعالج هذا الموضوع باتخاذ كافة الإجراءات التصميمية لمنع مثل هذا التوقف • كما قد يتضمن إضافة مسيل للطوارئ (Emergency Spillway) ويجب عند إجراء الحسابات ملاحظة

الانقال الاضافية فوق الاتفاق والمنافذ أو المسيل وبقيّة المنشآت التي تنجم عن الهبوط  
الفاضلي الحاصل بفعل الهزة •

ان الامور التي أوردناها فيما سبق يمكن ملاحظتها عن طريق التخطيط الجيد والدراسات  
المستفيضة عند اختيار موقع السد أو شكله أو تفاصيله ويمكننا أن نوجز فيما يلي بعض الاجراءات  
الاحترازية اضافة الى ما سبق ذكره :

- أ - تجنب الفوالق النشطة في أسس السدود عند اختيار مواقعها •
- ب - جعل الفضاء الصافي بين أعلى منسوب للخرن وهامة السد كاف لتلاقي أي تناقص فيه  
قد ينجم من ترحل السد (Slumping) نتيجة الهزة الارضية •
- ج - دراسة جيولوجية الموقع بدرجة كبيرة من الدقة والتفصيل واكتشاف أية طبقة ضعيفة  
في الأسس • فاما أن يجري حفرها وازالتها اذا ما كان ذلك ممكنا من الناحية الفنية  
والاقتصادية أو أن تؤخذ بعين الاعتبار عند دراسة وتحليل استقرارية المنحدرات الجانبية  
وقد ينجم عن ذلك جعل التساريح (Slopes) أقل انحدارا وبالتالي زيادة عرض  
قاعدة السد أو قد يقتضي الامراضافة سداد اضافية في مقدم ومؤخر السد (Toe Berms)  
تعمل كأثقال إضافية لزيادة الاستقرارية والحصول على معاملات الامان المطلوبة •
- د - يقتضي فحص المنحدرات الطبيعية والسفوح المجاورة للخران والتأكد من استقراريتهما  
واستبعاد حصول حركة فيها عند املاء وتغريغ الخزان خاصة اذا ما كانت زلزالية المنطقة  
نشطة ويتم التركيز على دراسة الطبقات والتكوينات الصخرية ذات الانحدار (Dip) المتجه  
نحو الخزان •
- هـ - عند دراسة الاستقرارية للسد ومنشأته يجب تدقيق الاجهادات والمطاوعة السببية بحيث  
تؤخذ كافة العوامل والمؤثرات الديناميكية والاحمال الاضافية الناتجة عن الحركة الزلزالية  
بنظر الاعتبار •
- و - تجنب استعمال المواد الناعمة جدا ( كالرمل الناعم أو الطين ) في اجزاء السد خاصة  
اذا ما كانت منتظمة التدرج ( أي معظمها ذات حجم حبيبي واحد ) ، حيث قد تتعرض  
مثل هذه المواد للتمييع (Liquefaction) في حالة حصول هزات أرضية اذا ما كانت  
واقعة في مناطق من السد معرضة للتشبع •
- ز - استعمال طرق السيطرة النوعية الحديثة في الدفن المرصوص (Compacted Fill) ، وذلك  
بقصد الاستفادة من مقاومة هذه المواد للقص ولاكبر درجة ممكنة مع ملاحظة السيطرة الجيدة



على نسبة الماء في هذا الدفن وتلاقي حصول ضغط مسامي عال ، حيث ان ذلك يقلل من مقاومة قوى القمر الناتجة عن الاهتزازات الارضية •

هذا وسوف نورد لاحقا بعض الامثلة لاضرار وقعت لسدود تعرضت لهزات أرضية ، حيث كان الضرر مرتبطا بأحد الامور التي شرحناها • كما سنورد أيضا ذكر حالات اخرى لم تعان فيسدود أية اضرار بسبب ملاحظة القضايا أعلاه واعطائها حقها من الدراسة ووضع الحلول لها سواء في طور الدراسات أو عند التنفيذ •

## ٢٠٥ أمثلة عن تأثيرات الزلازل على الدود الركامية (Examples of Earthquake Effects on Embankment Dams)

سبق وبينا بأن ملاحظة تأثيرات الزلازل على السدود القائمة ودراسة الاضرار التي تحصل فيها يعملان على اغناء التجربة المتوفرة في هذا الحقل ويؤديان الى تطوير طرق التحليل والتصميم لمعالجة تأثيرات الزلازل التدميرية • وهناك العديد من الحالات التي قد تم تسجيلها ودراستها لخصها بالجدولين التاليين :

جدول رقم ( ٨ ) خلاصة بالسدود التي تمت دراسة تأثيرات الزلازل عليها

اسم السد ، موقعه وسنة انشائه	الوصف العام	المواد المستعملة
سد أوغستا Augusta شمال شرق أوغستا بولاية جورجيا الأمريكية •	لتوليد الطاقة الكهربائية • يقع على أحد فروع نهر سافانا •	سد ركامي ترابي ذو أسس مكونة من طبقة خفيفة من التربة الرخوة المغطاة لطبقة صخرية صلبة •
سد سان اندرياس San Andreas جنوب شرق سان فرانسيسكو ١٨٧٥ •	ارتفاعه (٩٧) قدم • هامته بعرض ( ٢٥ ) قدم • ميل المنحدر الامامي ( ١ : ٣٥ ) من جزئين الاول بطول ( ٧٥٥ ) قدم والثاني بطول ( ١٩٢ ) قدم ويفصل بين الجزئين مرتفع طبيعي •	يصل لون التربة المستعملة بالدفن الى الزرقة نتيجة وجود بقايا معدن السيوليتنايت • تتكون أسسه من طبقات متتالية من الرمل والطين والحصص بعق قدره ( ٤٦ ) قدم حتى الوصول الى الطبقة الصخرية للسد • لب طيني في الوسط يمتد في جسم السد وللأسفل حتى الطبقة الصخرية •

اسم السد ، موقعه وسنة انشائه	الوصف العام	المواد المستعملة
سد كريستال سبرينجز الاعلى Upper Crystal Springs جنوب سان فرانسيسكو ١٨٧٧	ارتفاعه (٩٠) قدم ، مستوى المياه متساوى في القدم والموقع وذلك لانشاء سد اخر في موقعه .	سد ترايبي ركامي ذو لب طيني يمتد في الاساس المتكون من الطين الازرق القليل النفاذية والحصى .
سد سان اندرياس القديم Old San Andreas جنوب سان فرانسيسكو ١٨٧٥	طول هامة السد (١٨٠) قدم ذو ميل عرضيه (٥١) قدم مشيد من الطابوق غاطس بكامله خلف سد اخر .	ترايبي ركامي .
سد ساراتوغا Saratoga قرب ساراتوغا . كاليفورنيا	يتكون من سدين صغيرين يغلطان النهايتيين المنخفضتين لسرج طبيعي (Saddle) وقد كان الخزان مغطى عند حصول الهزة .	ترايبي ركامي .
سد بايد مونت رقم (٢) Piedmont No. 2 شمال شرق اوكلاند كاليفورنيا ١٩٠٦	خريته الهزة عند الانتهاء من انشائه وكان الخزان مغطى . مقدم السد مبطن بالكونكريت بسمك (٦) أقدام	سد ركامي ترايبي . دفن بفرشات خفيفة تم رشها وحدلها .
سد أونو Ono ( ٦٠ ) ميل غرب طوكيو ١٩١٤	ارتفاعه (١٢١) قدم وطول هامته ( ٨٥٠ ) قدم .	سد ركامي ذو لب طيني تعمود صخور الاسس الى عمق الباليوزويك .



اسم السد ، موقعه وسنة انشائه	الوصف العام	المواد المستعملة
سد اسالة الماء لمدينة طوكيو Tokyo Water Supply (١٥) ميل غرب طوكيو ١٩٢٣	ارتفاعه (٢٩) قدم وسعة الخزان (١٨٤) مليون متروكعب •	سد ركامي ترابي تم انشاؤه بفرشات ترابية سمك (٦) أنسج أصبحت بعد الحدل (٤) أنسج ويتكون اللب من الطين والحصى •
سد مورايااما الاعلى Upper Murayama (١٢) ميل غرب طوكيو •	خبرته الهزة حمال الانتهاء من انشاؤه وقد كان الخزان فارغ •	سد ركامي ترابي
سد مورايااما الاسفل Lower Murayama (١٢) ميل غرب طوكيو ١٩٢٣ - ١٩٢٤	خبرته الهزة وهو قيد الانشاء وكان ارتفاعه (٥٢) قدم وهو مصمم لارتفاع (٩٨) قدم وطول هامته (١٩٢٠) قدم وقد كان الخزان فارغ •	سد ركامي ترابي ذو لب ، أسسه ذات تكوينات تعود للحقب الثلاثية
سد شيفيلد Sheffield شمال سانتابار كاليفورنيا ١٩١٢	ارتفاعه (٣٠) قدم وعرض هامته (٢٥) قدم وطول (٧٢٠) قدم منحدره الامامي يعمل (١:٢:٥) وكذلك منحدره الخلفي • عمق الماء في الخزانات (٢٠) قدم •	مبنى بالجرف اليبس روليكي وربما كانت الاملاشيات مشبعة بصورة جزئية عند حصول الهزة ذو أسس مكونة من تربة رسوبية بشكل جلاميد تغطي الصخور الرطبة •

اسم السد ، وموقعه وسنة انشائه	الوصف العام	المواد المستعملة
سد كوجوتو Cogote شيلي ١٩٣٨	ارتفاعه (٢٤٦) قدم • ميل المنحدر الامامي (١:١٦) وميل المنحدر الخلفي (١:١٨) قد اخذت الهزات الارضية بنظر الاعتبار عند تصميمه •	سد ركامي حجري ذو وجه امامي غير نفاذ ومن •
سد اوتانيك Otaniike في جزيرة شيكوكو ، اليابان ١٩٢٠ •	ارتفاعه (٦٩) قدم وهامته (٢٤) قدم ميل منحدره الامامي (١:٤) وميل منحدره الخلفي (١:٣) عمق المياه فيه (٤٩) قدم •	سد ركامي ترابي ذو لب اصم وتتكون أسسه من الصخور الرملية •
سد يوبا Yuba شرق مدينة نيفادا ، كاليفورنيا ١٩١٠ - ١٩٤٩ •	ارتفاعه (٢٥) قدم طول هامته (٨٨٠) قدم وعرضها (١٢) قدم المنحدر الامامي بميل (١/٢٥) أما الخلفي فهو بميل (١:١٧٥) • وقد تمت زيادة ارتفاعه ومنحدره الخلفي في (١٩٤٩) خربت الهزة وكان مطلوباً بالعام •	ان الجزء المنفذ سنة ١٩١٠ مكون من مواد ترابية مشتقة من تراكيب نارية مسامية وقد تم رص الجزء المنفذ سنة ١٩٤٩ وكان أقل نفاذية ويشتهر بحصول ضغط مسامي عال في الجزء القديم أسسه طينية •
سد بونا فيستا Buena Vista جنوب غرب بيريوسفيلد كاليفورنيا ١٨٩٠ - ١٩٢٧	ارتفاعه (١٧) قدم وطول هامته ( ٥ ) أميال •	سد ترابي ركامي • أضيف لب طيني لجزء من طوله سنة ١٩٢٧ تحتوي أسسه على تربة جيمسية وفجوات •



تتمة الجدول رقم ( ٨ ) :

اسم السد ، وموقعه وسنة انشائه	الوصف العام	العواد المستعملة
سد دراي كانون Dry Canyon شمال سوكرز ، كاليفورنيا ١٩١٢ •	ارتفاعه (٦٤) قدم طول هامته (٥٦٠) قدم وعرضها (٢٠) قدم منحدرة الامامي (١ : ٢,٥) أما الخلفي فهو (١ : ٢,٢) •	منفذ بالجرف الهيدروليكي
سد جنوب هاي وي South Haiwee يقع جنوب بحيرة اوينزو كاليفورنيا ، ١٩١٢ •	ارتفاعه (٩٠) قدم وطول هامته (١٥٠٠) قدم •	منفذ بالجرف الهيدروليكي
سد هيبجن Hebgen شمال شرق ويلستون مونتانا ، ١٩١٣ •	ارتفاعه (٨٦) قدم طول هامته (٧٢١) قدم وعرضها ( ٢٠ ) قدم ميل منحدرة الامامي ( ٣ : ١ ) ومنحدرة الخلفي ( ٢,٥ : ١ ) ذولسب كونكريتي يمتد حتى الاساس الصخري •	سد ركامي تراهي ذولسب كونكريتي يقع الجزء الشمالي منه فوق انزلاق ارضي قديم وقصد طفحت المياه فوق هامته عند حصول الهزة •
سد سان فرناندو الاسفل Lower San Fernando شمال سان فرانسيسكو ١٩١٦ ، ١٩٤٠ •	ارتفاع الجزء المنجز في (١٩١٦) هو (١٠٠) قدم وقدم رفعه الى (١٤٠) قدم سنة (١٩٤٠) عرض الهامة (٢٠) قدم وطولها (٢١٨٠) قدم ، ميل المنحدر الامامي (١ : ٢,٥) أما الخلفي فهو (١ : ٢,٥) في الاعلى ويصبح (١ : ٤,٥) في	الجزء الاول من السد منفذ بالجرف الهيدروليكي • اما الجزء الثاني فهو ركامي تراهي مرسوم اساسه مكونة من طبقة من الرمل والطين الصلب يعمق (٣٥) قدم فوق طبقة من الصخور الرخوة •

## جدول رقم ( ٩ )

الاضوار الناجمة عن الهزات في السدود المذكورة في جدول رقم ( ٨ )

الاضوار	اسم السد ، تاريخ الهزة وشدةها على قياس ميركالي المعدل
عدد من التصدعات الكبيرة الطولية • وقد ازداد عرض هذه التصدعات نتيجة للتآكل والابجراف • وقد أدى انهيار السد الى فيضان كبير في حوض النهر •	سد اوغستا Augusta ١٨٨٦ ، ٨ درجات
حدثت ازاحة عرضية وافقية بمقدار ٧ أقدام في الفالق فسي الاسم وتشقق سطح الارض • وقد أدى ذلك الى قطع وتدمير النفق في منطقة التشقق وتدمير برج المآخذ • كما حصلت بعض التصدعات الصغيرة في الهامة وتصدعات على الجانبين فسي الاكتاف باتجاه عمودي على محور الهامة •	سد سان اندرياس San Andreas ١٩٠٦ ، ١٠ درجات
حصلت ازاحة افقية في الفالق في النهاية الشرقية من السد • حيث ارتفاع السد ( ٢٠ ) قدم • وقد أدى ذلك الى تدمير النفق المبطن بالاجرو وبطول ( ٢٠ ) قدم • كما تقلص طول السد •	سد كريستال سبورنكز الاعلى Upper Crystal Springs ١٩٠٦ ، ٩ درجات
حصلت ازاحة عرضية افقية في الفالق • مع حصول صدع بعرض ( ٢٠ ) أوج في الميكل •	سد سان اندرياس القديم Old San Andreas ١٩٠٦ ، ١٠ درجات
ادت حركة الفالق الى تصدع السدين المكونين له بصورة عرضية وحصلت تصدعات طولية في السد الشمالي وهبوط في المنحدر الامامي له • وقد تدفقت مياه الخزان نتيجة لتكسر المخرج الابوي الموجود في السد الجنوبي وكان مصنوعا من الحديد الزهر وبقطر ( ١٠ ) أنجات • وقد نتج عن ذلك تآكل المنحدر الامامي للسد •	سد ساراتوكا Saratoga ١٩٠٦ ، ٩ درجات



تتمة الجدول رقم ( ٩ ) :

الارض رار	اسم السد ، تاريخ الهزة وشدها على قياس ميركالي المعدل
حصل هبوط فيه بمقدار ( ٦ ) أبحاث ، وذلك في جزئ الوسطي . كما حصلت بعض التصدعات الصغيرة عرضيا وطوليا عند احدى نهايتي السد . ولم يتضرر الوجه الكونكريتي للسد .	سد بايد مونت الثاني Piedmont No. 2 ١٩٠٦ ، ٧ درجات
تصدع المنحدر الامامي والخلفي طوليا . كما حصل صدع كبير قرب الكف اليسر . وقد كان أكبر التصدعات بعرض ( ٨ ) أبحاث وعق ( ٣٠ ) قدم على المنحدر الخلفي . أما أقصى هبوط فقد كان ( ٨ ) أبحاث .	سد أونو Ono ١٩٢٣ ، ٨ درجات
حصول هبوط في السد بمقدار ( ٨ ) أبحاث .	سد اسالة الماء لمدينة طوكيو Tokyo Water Supply ١٩٢٢ ، ٨ درجات
هبطت هامة السد بمقدار ( ٨ ) أبحاث . كما حصل ترهل ( Slumping ) في المنحدرين الامامي والخلفي . ولم تحدث أى تصدعات .	سد موراياما الاعلى Upper Murayama ١٩٢٢ ، ٨ درجات
حصلت ثلاثة تصدعات طولية قرب الهامة كما حصل بعض التاكل والاجراف في الضفاف . وقد كان أكبر التصدعات بطول ( ٢٢٠ ) قدم وبعق ( ٣٠ ) قدم .	سد موراياما الاسفل Lower Murayama ١٩٢٢ ، ٨ درجات
انزلاق في المنحدر الخلفي للسد وبلغ طول الكتلة المنزلقة ( ٣٠٠ ) قدم . وقد تحركت مسافة ( ١٠٠ ) قدم باتجاه مجرى النهر كما تدفقت المياه وأدى ذلك الى تفريغ الخزان .	سد شيفلد Sheffield ١٩٢٥ ، ٨ درجات
هبط السد بمقدار ( ١٣ ) أبحاث للفترة منذ انشائه ولخايمة حصول الهزة ، ثم هبط ( ١٥ ) أبحاث اخرى بسبب الهزة .	سد كوكوتي Cogoti ١٩٤٣ ، ٨ - ٩ درجات

55



اسم السد ، تاريخ الهزة وشدها على مقياس ميركالي المعدل	اضرار
سد هيبجن Hebgen ١٩٥٩ ، ٧ - ٩ درجات	هبط السد بقدر ( ٤ ) أقدام على جانبي حائط اللب الكونكريتي مع حصول ازاحة في هذا اللب تتراوح بين ( صفو ) و ( ١ ) قدم أفقيا وعموديا . كما حصلت تصدعات طولية على الهامة قرب الاكتاف . وتدمر المسيل نتيجة الارتجاج والانجراف . كما تاكل جزء من المنحدر الخلفي للسد . هذا وقد كان هناك ازاحة عمودية في الفالق بقدر ( ١٥ ) قدم وعلى مسافة ( ٥٠٠ ) من الكتف الشمالي .

سد سان فيرناندو الاسفل Lower San Fernando ١٩٢١ ، ٨ - ٩ درجات	حصل انزلاق كبير في المنحدر الامامي وقد شمل معظم عرض الهامة وبحق ( ٣٠ ) قدم . ولحسن الحظ كان سطح الماء في الخزان وقت الهزة ( ٣٥ ) قدم تحت الهامة مما أدى إلى بقاء ( ٥ ) أقدام فقط من الفضاء الصافي .
--	--

مما ورد في الجدولين السابقين يمكننا تشخيص عدد من ملاحظات الفشل والتي كانت بسبب  
الازاحة في الفالق يوروبالاس أو قريبا منها . كما هو الحال بالنسبة لسدى كريستال سبرنكز الاعلى  
وسان اندرياس القديم ، حيث يقطع فالق سان اندرياس الشهير في سان فرسيسكو أسس هذين  
السدين عرضيا . وقد سجلت ازاحة جانبية في الفالق المذكور بقدر ( ٨ ) أقدام في هزة ( ١٩٠٦ ) كما  
تعرض سد ساراتوغا المكون من سدين لنفس الهزة مما أدى إلى انهيار أحد السدين بصورة جزئية  
وبالتالي تدفقت المياه المخزونة فيه . أما ما حصل لسد هيبجن في ولاية مونتانا الأمريكية فقد مر  
الفالق قرب موقع السد وليس خلاله في هزة ( ١٩٥٨ ) ، حيث أدت الهزة المذكورة التي بلغ مقدارها  
( ٧ ر ٦ ) درجات على مقياس ريختر إلى حصول هبوط كلي في السد . وقد تضاعفت جمة أمور لا تقا  
هذا السد من التدمير الشامل . فعلى الرغم من أن الهبوط التفاضلي بين السد وقعر الخزان كان ( ٤ )  
أقدام إلا أن السد نفسه والقعر قد هبطا معا مسافة ( ١٠ ) أقدام ولولا هبوطهما معا لظغت المياه  
على السد بصورة كلية .

كما نرى من الجدولين السابقين حالتين لانهيار كامل لسدين . الأول هو سد شيفلد قرب  
سانتا باربره - كاليفورنيا في هزة ١٩٢٥ والثاني سد أوغستا في هزة ١٨٨٦ . فبالنسبة لسد شيفلد

انهيار جزء منه وتدفقت المياه المخزونة ويعتقد بأن مياه الرش كانت العامل الرئيس في هذا الفشل وقد أدت الى تشبع الاجزاء السفلى مما أدى الى انزلاق كتلة كبيرة نتيجة للهزة من المنحدر الخلفي ثم انجرفها وتاكلها بواسطة المياه المتدفقة . واقد اجريت سنة ( ١٩٤٩ ) دراسة مستفيضة على هذا الفشل لغرض تقييم التصميم الاصلي وقد قدرت خواص الهزة كالآتي : -

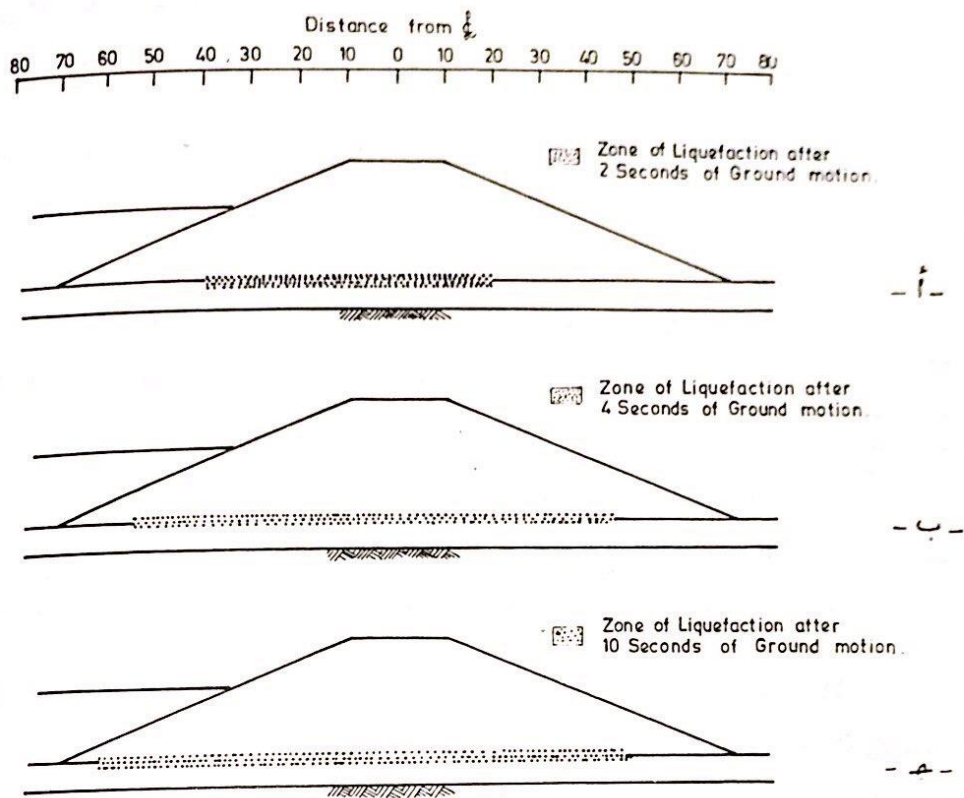
- أقصى تعجيل للحركة الارضية = ٠.٥ ر من التعجيل الارضي
- فترة الارتجاج = ١٥ - ١٨ ثانية
- تكرار تغيير اتجاه التعجيل = ٣ دورات في الثانية

ولقد بينت الدراسة وتحليل الاجهادات ( الطريقة الديناميكية ) بأن السبب الرئيس للفشل قد يكون تميع المواد المكونة للسد (Liquefaction) ، وذلك في قاعدته فبعد ثانييتين قد يكون بدء الارتجاج تميع الجزء المبين في الشكل ( ٩ أ ) والممتد من مسافة ( ٢٠ ) قدم مؤخر الخط الوسطي للسد الى مسافة ( ٤٠ ) قدم مقدم الخط الوسطي له . وقد تقدم التميع باتجاه العدم خلال هذه الفترة بسرعة تفوق سرعة تقدمه نحو المؤخر . ثم انعكست الوضعية بعد ذلك كما مبين في الشكل ( ٩ ب ) ، ويعود السبب في ذلك الى ان ضغط عمود الماء في العدم يعطي مقاومة أكبر للتربة ، ونلاحظ بعد ( ١٠ ) ثوان من الارتجاج كما في الشكل ( ٩ ج ) بأن الجزء المتميع قد وصل لمسافة حوالي ( ١٠ ) أقدام من مؤخر قاعدة السد . وبالنظر لان مقاومة التربة للانزلاق في هذا الجزء هي أقل كما بينا ، لذا فقد حصل الانزلاق في مؤخر السد ويعوجب الوضعية التي تم شرحها .

أما انهيار سد أوغستا فقد كان نتيجة لتصدعه بصورة عرضية ثم انسياب المياه وتدفقها التدريجي من خلال هذه التصدعات مما أدى الى التاكل الكامل للسد وانهياره التام . ولوركننا الاهتمام على موضوع التصدع فإننا نرى بأن كافة السدود المتضررة بالزلازل قد تصدعت وخاصة في الهامة (Crest) ، حيث ظهرت هذه الصدوع جلية في سد أونو (Ono) وسد مورايا ما الاسفل في هزة ( ١٩٢٣ ) في اليابان ، وكذلك سد أوتانيك في هزة ( ١٩٤٦ ) في اليابان أيضا . وقد كان شكل التصدعات طوليا وقوسا في الجزء الوسطي من السد في حالتين لسدين نفذتا بطريقة الجوف الهيدروليكي . ففي هزة ( ١٩٥٢ ) التي ضربت مقاطعة كيرن ( كاليفورنيا ) بيت حفرة التحريبات (Investigation Pits) بأن هذه التصدعات كانت قد امتدت الى اللب الاصم وبشكل اقواس في المستوى الشاقولي وباتجاه الخزان ، وذلك في سد دراى كانيون بينما كانت في مستوى افقي في سد ساوت هاى وى (South Haiwee) وكان تحذب الاقواس باتجاه العدم . ويمكننا ان نذكر في هذا المجال بأن السدود الاكثر تضررا بالتصدع أو الهبوط كانت سدودا استعملت في دفعها ورصها طرقا بدائية .

ان هزة كيرن ( ١٩٥٢ ) سببت اضرارا كبيرة للسدود غير المحدولة التي تراوحت ارتفاعاتها بين ( ٥ ) أقدام الى ( ١٢ ) قدم وكانت مستعملة لخزن مياه الري . ولوحظ في هذه الهزة بالسدات





شكل (٩) - دراسة فشل سد شيفلد نتيجة للقيع

بأن أغلب الأضرار كانت بشكل تصدعات طولية على هامات هذه السدود وترهل (Slumping) في المنحدرات الجانبية إضافة إلى هبوط السدود المذكورة •

لقد وفرت هذه الهزة فرصة جيدة لتقييم أهمية الدفن العرصوص بالطرق الميكانيكية الحديثة ، حيث نرى أن سد تيجون رانش (Tejon Ranch) الذي استخدمت فيه طرق السيطرة النوعية الحديثة في الرص لم يصاب بأية أضرار ، بينما تعرض سد بونافستا (Buena Vista) إلى أضرار بليغة على الرغم من كونه أكثر بعدا عن السد الأول من بومرة الزلزال ، كذلك نرى عدم تضرر سد بوكيه كانيون (Bouquet Canyon) ، بينما تضرر سد دراى كانيون (Dry Canyon) كما سبق وذكرنا على الرغم من تساوى البعد البومرى لكلا السدين • ولقد كان البعد البومرى لسد بونافستا قليل للغاية ، بينما كان البعد البومرى لسد دراى كانيون (٦٠) ميلا وسجلت في موقعه شدة قدرها (٧) درجات على مقياس ميركالي المعدل • أما سد هاى وى فقد كان بعده البومرى (٦٠) ميلا أيضا • والشدة المسجلة في موقعه (٥) درجات على نفس المقياس • هذا وكان هناك (٦) سدود أخرى لم تتضرر واقعة ضمن دائرة نصف قطرها (٦٠) ميلا من بومرة الهزة • وهذه الحالة تشابه من كافة الوجوه لما حصل في هزة سان فرانسيسكو (١٩٠٦) ، حيث تعرضت (٤) سدود للأضرار ، بينما سلمت كل من سدود بلاركوتز (Pilarcitos) وبييسر كلوش (Bear Gulch) وبايدمونت الأول (Peidmont No. 1) وليك فراى (Lake Frey) وسان ليندرو (San Leandro) على الرغم من مصانة هذه السدود لنفس الارتجاج •

أما هبوط السدود فيعزى بالاضافة الى عدم كفاية الدفن للاملاشيات الى رداة الاسس أيضا • ففي حالة سد هيبخن والذي هبط تفاضليا بمقدار (٤) أقدام نسبة للخزان كان نصف طول السد واقعا فوق انزلاق أرضي قديم • كما أن هبوط سد بونافستا البالغ قدمين في هزة (١٩٥٢) ، سببته طبيعة صخور الاسس الجبسية ووجود تجاويف فيها نجمت عن رشح المياه •

لقد أورد كاواسومي (١٩٥٤) (Kawasumi, 1954) إحصائية عن الأضرار التي نجمت عن هزة أوكا (Oga-1939) والتي خربت (٥٣) سدا ركاميا وأصابت المنطقة الواقعة شمال غرب جزيرة هونشو اليابانية مقابل مدينة سينداى محدثة تدمير (٦٠٤) منزل ومسيبة (٣٩) وفاة ، وكان مقدارها (٦٦) درجة على مقياس ريختر • ونلاحظ من الجدول رقم (١٠) بأن عدد حالات الضرر يزيد عن (٥٣) سدا بمعنى أن أكثر من ضرر واحد قد أصاب السد الواحد •

هذا وتجدر الإشارة الى ما تعرض اليه احد السدود الكبيرة من هزات أرضية ومقاومته لها بنجاح وبدون أضرار تذكر • فلقد خربت هزة أرضية بمقدار (٥٧) درجات على مقياس ريختر سد أورفيل (Oroville Dam) وكان بعدها البومرى من السد لا يتجاوز (٧) كيلومترات الى الجنوب منه •



يبلغ ارتفاع سد أوروفيل ( ٧٧٠ ) قدما وهو أعلى سد ركابي ترابي في الولايات المتحدة ويتكون من لبطيني مستند على وسادة كونكريتية ( انظر الشكل رقم ١٠ ) وهو مزود بعشر حشوات متدرجة من الرمل والحصى ثم القشرة • يبلغ منسوب هامته ( ١٩٢٢ ) قدم وكان منسوب الخزان عند حصول الهزة حوالي ( ٨٨١ ) قدم • أما طول الهامة فيبلغ ( ٦٩٢٠ ) قدما •

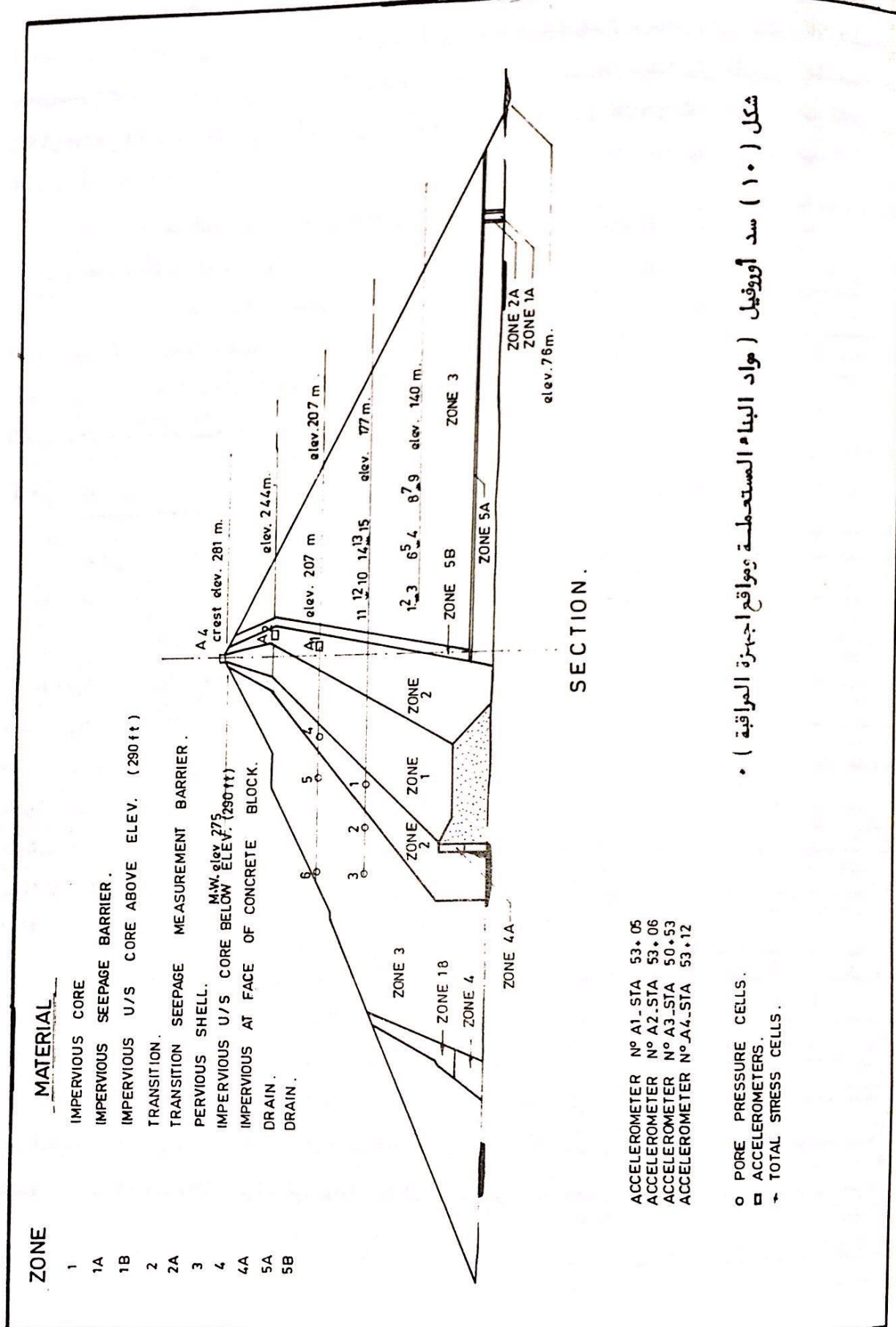
### جدول رقم ( ١٠ )

الاضرار التي أصابت السدود في هزة أوكسار ١٩٣٩

عدد الحالات	نوع الضرر
٤٣	تصدعات موازية لاتجاه الهامة
٥	تصدعات عمودية على اتجاه الهامة
٧	انهيارات كاطة ( ولم تشخص ميكانيكية الانهيار )
١	ترمل المنحدرات الامامية والخلفية وبدون حصول تصدعات
١٧	ترمل المنحدرات الامامية والخلفية مع تصدعات في المقدم
٦	ترمل المنحدرات الامامية والخلفية مع تصدعات في المؤخر
٨	ترمل المنحدرات الامامية والخلفية مع تصدعات في المقدم والمؤخر
١٦	تصدعات وبدون ترمل المنحدرات الجانبية

لقد تلخصت وضعية الهزات بحصول خمس من الهزات الثانوية ( Foreshock ) ابتداء من الثامن والعشرين من حزيران ١٩٧٥ وكان أكبرها مقدارا ( ٨ ر ٣ ) درجات على مقياس ريختر ثم تلت ذلك فترة من الهدوء أعقبها وقوع ( ٢٩ ) هزة كان أكبرها مقدارا ( ٤ ر ٨ ) درجات على مقياس ريختر وقبل بضعة ساعات من وقوع الهزة الرئيسية المشار إليها أعلاه • ثم تلى الهزة الرئيسية وقوع ( ١٥٨ ) هزة ثانوية ( Aftershock ) تراوحت مقاديرها بين ( ٢٥ ر ٤ ) درجة ولخاية ( ٤ ) درجات •

لقد تم تشييد سد أوروفيل وفقا لأفضل وأدق المواصفات وتم اتباع كافة الطرق الحديثة في ذلك كما زرع عددا كبيرا من أجهزة الاستشعار فيه لقياس الازاحات الافقية والعمودية والهبوط والضغط المسامي اضافة الى أجهزة قياس الزلازل • وبذلك أمكن الحصول على صورة واضحة جدا عن تأثيرات هذه الهزات على السد فقد حصلت ازاحات جانبية داخل جسم السد بلغ اقصاها ( ٠ ر ٥ ) قدم كما هبطت الهامة بمقدار اقصاه ( ٣ ر ٥ ) قدم وحصلت فيها ازاحة جانبية لا تتعدى ( ٥ ر ٥ ) قدم نحو المقدم • كما ازداد الضغط المسامي في اللب بحدود ( ٥٤ ) قدم من المياه وهو بذلك لم يتعد أعلى ضغط مسامي سبق تسجيله في جسم السد عند امتلاء الخزان • ولم يتغير شكل الرش وبقي بحدود ( ١٤ ) غالون بالدقيقة • الا أن مياه الرش الى داخل رواق التحشية ازداد تميز فيها من ( ٨٠ ) غالون



شكل ( ١٠ ) سد أروفييل ( مواد البناء المستعملة ومواقع أجهزة المراقبة )



( ٩١ ) غالون بالدقيقة •

ان أعلى تسجيل تم تسجيله في قاعدة السد بسبب الهزة كان ( ٩ م٠ ٩ ) من التعجيل الأرضي باتجاه من القدم نحو موخر السد بينما تم تسجيل تعجيل أفقي عمودي على المجرى النهري بحسب حدود ( ٣ م٠ ٩ ) من التعجيل الأرضي • أما أقصى تعجيل أفقي سجل عند الهامة فكان ( ٣ م٠ ٩ ) من التعجيل الأرضي أيضا •

لقد تم تصميم السد بأخذ الهزات الأرضية بنظر الاعتبار • وقد قاوم الهزات بعوجب ما متوقع كما جرت عملية لتقييم التصميم مرة أخرى بعد وقوع الهزة أعلاه وبافتراض أقصى هزة أرضية ممكنة ( ٥ م٠ ٩ ) بقوة ( ٦ م٠ ٩ ) درجات على مقياس ريختر واستعمال أقصى تعجيل بقدر ( ٦ م٠ ٩ ) من التعجيل الأرضي وقد أجرت عملية التقييم جامعة كاليفورنيا في بيركلي • وقد اثبت كل ذلك امكانية تلافي وقوع اضرار للسدود اذا ما تم تقييم احتمالات وقوع الهزات وقد ارها بصورة صحيحة اذا ما اتخذت الاجراءات اللازمة في التصميم •

—: (Liquefaction)

٢٠٦ التميع

التميع هي ظاهرة حركة وانسياب الطبقات الرملية الناعمة أو طبقات الطمي غير الموصومة (Loose) والمشبعة (Saturated) والداخلية في تركيب منحدر طبيعي أو في أسس سد ما وكأنها سائل ثقيل ولزج • وتقع هذه الظاهرة عند ما تسبب الاجهادات المسلطة على مثل هذه الطبقات تقلص في حجمها • وبالنظر لحالة التشبع التي ذكرناها تنتقل الاجهادات من الدقائق الصلبة المكونة للهيكلة الصلب للمادة الى الماء المسامي (Pore Water) ونتيجة لطبيعة القوى المسلطة على التربة فقد تمر لحظات يكون وزن طبقات التربة منقولا وبصورة تامة الى الماء المسامي • وهذا يعني تقليل مقاومة التربة للقص في هذه اللحظات وتساوى المقاومة هذه مع مقاومة الماء نفسه للقص وهي مقاومة منخفضة للغاية • وهذا بدوره يؤدي الى انسياب المادة نفسها نحو الاسفل متأثرة بقوى الجاذبية الأرضية سواء كانت الطبقة واقعة في منحدر طبيعي أو في منحدر سد ركامي أو في أسسه • وتسمى مثل هذه الحالة والنتيجة عن التميع بانزلاق التدفق (Flow Slide) •

قبل الاستمرار في شرح بعض حالات الانهيار نتيجة انزلاق التدفق ومن أجل تفهم أدق لعملية التميع لابد من القاء بعض الضوء على نتائج التجارب التي قاما بها المهندسان الأمريكيان سيد ولي (Seed and Lee, 1966) (١٩٦٦) • من خلال تسليط جهود قصية دورية متكررة (Repeated Cyclic Shear Stresses) على عينات من التربة الرملية المشبعة الموصومة وغير الموصومة ظهر بأنه بالنسبة للتربة غير الموصومة وبعد التحميل المتتالي يحدث التشويه الكبير (Deformation) وبالتالي يزداد بشكل سريع الى حد حصول التميع الكامل • بينما في حالة



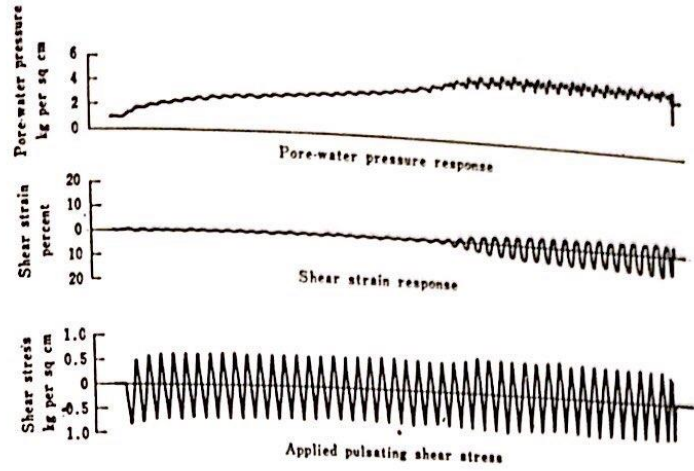
العينة المروضة فأما التشويه يبدأ بشكل تدريجي بسبب ذلك التميع الجزئي كحالة نهائية . على هذا الأساس تم تعريف حالتين رئيسية في التميع وهما موضحتان بالشكل رقم ( ١١ ) فالشكل ( ١١-أ ) يمثل حالة التميع الجزئي للتربة المروضة ، حيث سعة الاستجابة للاجهاد القصي (Amplitude of Shear Strain Response) تقل عن ٢٠% ، بينما الشكل ( ١١-ب ) يبين حالة التميع الكامل للتربة غير المروضة بسبب تجاوز الاستجابة نسبة ٢٠% .

هناك العديد من الأمثلة عن انزلاق تدفق كان المحرك الرئيس فيها هو الهزات الأرضية . وتتنوع هذه الأمثلة على منحدرات طبيعية وسدود ركامية وخاصة لسدود قد أنشأت بطريقة الجروف الهيدروليكي ، إضافة إلى حالات كثيرة لسدود مخلفات التعدين (Tailing Dams) وهي سدود ركامية الغرض منها تكديس ما يتخلف عن استخراج وتعدين بعض المعادن .

لقد سبق وشرحنا حالة الفشل والانهيار لسد شيفلد والتي نتجت من ظاهرة التميع في الجزء الأسفل من السد وبسبب هزة أرضية . كما أنه من الثابت الآن بأن سد فورت بيك (Fort Peck Dam) وهو من السدود الركامية الكبيرة المشيدة بطريقة الجروف الهيدروليكي والذي فشل في بداية الأربعينيات قد فشل بسبب التميع وكما برهن على ذلك كاساكراند (Casagrande) . لقد كان هذا الفشل هو السبب في استبعاد طريقة الجروف الهيدروليكي من إنشاء العديد من السدود المهمة خاصة في المناطق المعرضة للزلازل . ومن حالات الانهيار لسدود مخلفات التعدين انهيار سد منجم زليتوف (Sletovo Tailing Dam) والمكون من مخلفات تعدين الرصاص والبالغ ارتفاعه ( ١٥ ) متر في يوغوسلافيا سنة ( ١٩٧٦ ) ، حيث سبب هذا الانهيار تلوث النهر القريب ، إضافة إلى أمثلة أخرى من تشيلي ، حيث انهيار ( ١٢ ) سدا من هذه السدود نتيجة لهزة ( ١٩٦٥ ) مما أدى إلى وقوع حوالي ( ٦٠٠ ) إصابة بالارواح . وهنا لا بد من أن نذكر بعدم تسجيل حالة فشل أو انهيار لسد ركامي بسبب تميع الطبقات الرملية في أسسه . إلا أن هذا لا يعني عدم إمكانية حصول من هذا الأمر إذا ما توفرت الظروف الملائمة . ولا بد من ذكر حقيقة مهمة في هذا الخصوص وهي عدم وجود عدد يذكر من السدود المهمة على أسس رملية ، لذلك فإن الخبرة المتوفرة في هذا الحقل لا يمكن أن تعتبر كافية بأي حال من الأحوال ، وعليه لا بد لنا من افتراض إمكانية هذا النوع من الفشل في بعض الظروف المتطرفة .

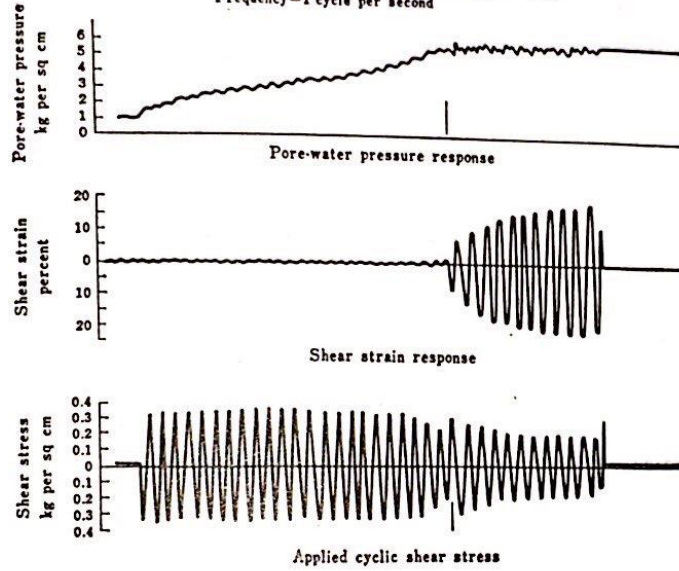
إن الخبرة الحالية المتوفرة عن ظاهرة التميع سواء المبنية على الفحوصات المختبرية أو دراسات انزلاقات تدفق مسجلة لا تعتبر كافية لا مكانية التكهن عن مدى تعرض طبقات رملية معينة لهذه الظاهرة بصورة دقيقة . غير أن الأمور العامة التي توضح مثل هذه الإمكانية ترتبط بمدى رص هذه الطبقات وهذا بدوره يرتبط بنسبة الفراغات الموجودة (Void ratio) ، إضافة إلى مدى نفاذية الطبقة الرملية قياساً بمعدل تسليط جهد القص عليها ، أي مدى إمكانية تقليل الضغط المسامي الناتج عن الاجهادات الإضافية عن طريق الصرف (Drainage) . يضاف إلى هذين الأمرين مقدار ومعدل تسليط الاجهادات على الأساس الرملية غير المروضة خلال فترة إنشاء السد أو عند تشغيل الخزانات





(a) Dense monterey sand

Initial relative density,  $R_d=90\%$   
Initial void ratio,  $e_i=0.56$   
Initial confining pressure,  $\sigma_v=5.00$  kg per sq cm  
Frequency=1 cycle per second



(b) Loose monterey sand

Initial relative density,  $R_d=50\%$   
Initial void ratio,  $e_i=0.68$   
Initial confining pressure,  $\sigma_v=5.00$  kg per sq cm  
Frequency=1 cycle per second

شكل ( ١١ ) التميع الجزئي والتميع الكلي لعينات من التربة المرصومة  
وغير المرصومة الشبعة نتيجة تحميلها جهود قصية  
دورية متكررة •  
(From Seed & Lee, 1966)

أو مقدار ومعدل تخير هذه الاجهادات خلال الهزة الارضية اذا كانت الاخيرة هي المسببة للتميع.

ان الامور التي اشرنا اليها انما ترتبط بخواص التربة التالية :

- (١) الكثافة النسبية للرمل (Relative Density) .
  - (٢) خشونة حبيبات الرمل المتدرجة .
  - (٣) سمك الطبقة الرملية وفازيتها .
  - (٤) الخواص الميكانيكية المتعلقة بمقاومة التربة اذا ما كانت مكونة من الطين أو من الطين الضعيف واذا ما كانت مثل هذه التربة مختلفة في الطبقات الرملية غير الموصلة .
- ان مقدار ومعدل تسليط الاجهادات الناتجة عن انشاء السد أو املاء الخزان تعتمد بالطبع على وزن وشكل السد وعلى معدلات تقدم انشائه ، كما تعتمد على معدلات رفع وتخفيض المناسيب للخزان . وهذه الامور كلها يمكن تقديرها والسيطرة عليها . أما بالنسبة للاجهادات الناتجة عن الهزات الارضية فلا يمكن تحديد ها بصورة دقيقة ، كما لا يمكن السيطرة عليها وخاصة ما يتعلق بتأثير هذه الاجهادات على تخير الضغط المسامي ، لذا يبقى احتمال التميع بالنسبة للمنحدرات والسدود في المناطق الزلزالية أمرا في غاية الصعوبة للتكهن بأبعاده أو معرفة اثاره بدقة . ومهما يكن الأمر فإن لدينا في الوقت الحاضر بعض المؤشرات العامة لحصر هذا الخطر وتجنبه قدر الامكان . وفي غياب طرق أفضل فإن هذه المؤشرات يمكن أن تؤخذ بنظر الاعتبار عند تقييم مقاومة أسس أو منحدرات سد ركامي وكالاتي :

١ - ان الرمال ذات الكثافة النسبية التي تبلغ أو تزيد قيمتها عن ( ٥٠ % ) تكون غير معرضة لخطر التميع بصرف النظر عن التدرج . وهذا يعني استعمال الرمال من لغاية هذه الكثافة أو أعلى لمثل هذه التربة .

٢ - يقل خطر التميع كلما كانت التربة الرملية أكثر تدرجا أو أكثر خشونة ، وهذا يعني ضرورة دراسة التدرج المذكور عند اجراء التحريات . وتكون الرمال الناعمة جدا والمنتظمة التدرج (Uniform) هي الأكثر عرضة للخطر المذكور ، وكذلك الحال بالنسبة للطمي الخشن المكون من الحبيبات المستديرة . وقياسا على ذلك تكون الطبقات الرملية المترسبة بفعل الانهيار أقل عرضة للتميع من الطبقات المترسبة بفعل الرياح .

٣ - ان أعظم جهد مسلط على الاسس يتمثل عادة بوزن السد المتزايد خلال فترة الانشاء . أما الاجهادات الناتجة عن ضغط الخزان فتعتبر قليلة نسبيا وغير مؤثرة قياسا للنوع الأول ، وحيث تكون أسس السد مشبعة بعد الانشاء مباشرة ، لذا فإن خطر التميع يكون أعظم ما يمكن في خلال فترة انشاء وعند اكتمال بناء السد مباشرة .



٤ - لا تتوفر لدينا من الناحية العملية أسس لتقييم امكانية حصول انزلاقات التربة نتيجة للهزات الأرضية ، لذلك يفضل تجنب الاسس الرملية قدر الامكان في المناطق ذات الزلازل العالية ، كما يجب العناية الفائقة بالسيطرة النوعية لدرجة الرطوبة والحرص للتربة الرملية المستعملة في الدفن في السدود خاصة في مثل هذه المناطق .

### الباب الثالث

#### الطرق التحليلية في تصميم السدود الركابية بالنسبة للزلازل

##### Part Three

##### Analytical Aseismic Methods in Embankment

##### Dam Design



من أهم الأمور التي على المصمم أن يلتفت إليها عند دراسة تأثيرات الهزات الأرضية في تصميم سد ما أو في استقرارية منحدر طبيعي معين تلك الأمور التي ثبت تأثيرها بالتجربة ، من خلال الخبرة السابقة المكتسبة • ان دراسة هذه الأمور تعطينا مؤشرات عن مواطن وظروف عدم الاستقرار الممكنة • فمن المعروف مثلاً ان ولفترة طويلة سابقة بأن وجود طبقات رملية غير مرصوفة ومشبعة في أسس سد ما أو ضمن التركيب الجيولوجي لمنحدر طبيعي يعني احتمال تمييع هذه الطبقة خلال هزة أرضية محتملة • وبالتالي وقوع انزلاق في منحدرات السد أو في المنحدر الطبيعي المذكور • وتكون الوضعية مشابهة عند وجود طبقة طينية رخوة وحساسة (Sensitive Clay) ، حيث تحت ظروف خاصة تكون احتمالات وقوع الانزلاق عالية • وخير مثال على الحالة الأخيرة الانزلاقات الواسعة النطاق التي حصلت في المنحدرات الطبيعية نتيجة لهزة ( ١٩٦٤ ) في الاسكا •

لذا فإن احتمال أية طريقة تحليلية لتقييم استقرارية سد أو منحدر طبيعي لن يعطينا مؤشراً حقيقياً لدرجة الأمان المتوفرة ما لم يدعم ذلك بفهم جيد للخواص الجيولوجية التفصيلية للموقع وخواص التربة الهندسية وما لم يدعم ذلك أيضاً باختيار المؤشرات الزلزالية الصحيحة في التقييم •

لقد سبق وشرحنا كيفية تأثير السدود بالهزات الأرضية والاضرار التي قد تعرضت لها نتيجة لذلك • ويمكننا هنا أن نجعل أشكال الحركة في السدود الركامية والمتأتمية من الهزات بما يلي : -

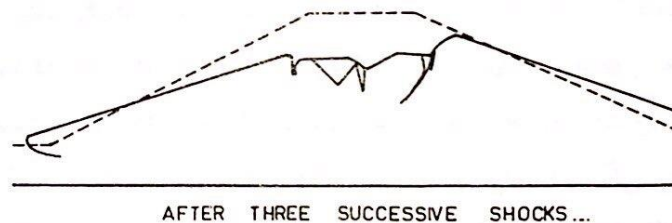
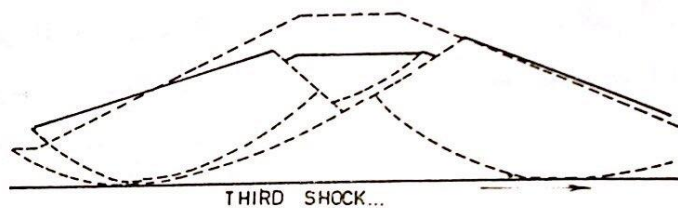
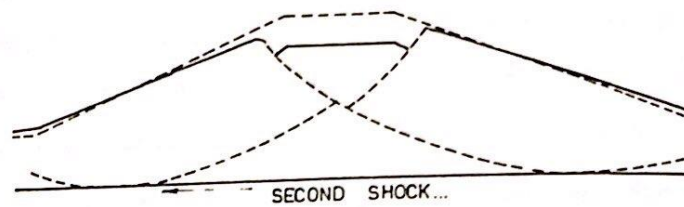
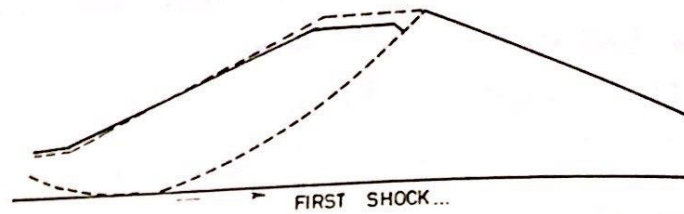
( أ ) حركة كتلة أو شريحة من المنحدر الأمامي أو المنحدر الخلفي وانزلاقها نحو الخارج وباتجاها الأسفل •

( ب ) انزلاق السد بأكمله وكتلة واحدة على طبقة ضعيفة في الأسس •

( ج ) حركة تفاضلية بين مكونات السد أو بين السد وبعض طبقات الاسس مما يؤدي الى وقوع تشققات بسبب اجهادات القص في القشرة الأرضية والنتيجة عن الحركة الموجهة •

ان تغيير اتجاه التعجيل بصورة متكررة خلال الهزة الأرضية قد يؤدي الى حصول بعض أو كافة الأمور التي أشرنا إليها • وقد أوضح البروفيسور امبراسيز ( ١٩٦٥ ) ( Ambraseys, 1960 ) ذلك بصورة تخطيطية كما في الشكل ( ١٢ ) •

ان دراسة الهزات الأرضية وأطيافها أيضاً تغني التجربة المتراكمة في هذا الحقل • وهناك عدد من الهزات الكبيرة التي أمكن تسجيلها وتسجيل تغيرات التعجيل والسرعة والازاحة فيها • ويمكن في



شكل (١١) الانزلاقات المحتملة في السدود نتيجة الهزة الأرضية (بموجب امبريزي)

(From Ambraseys, 1960 b)



الكثير من الحالات اعتماد أحد هذه الهزات كنموذج (Model) لأعمال التصميم والدراسات للسد بعد اجراء عملية تكبير أو تصغير عليها بما يجعل تعجيلها مساو للتعجيل الاقصى في الموقع تحت الدراسة وكما سيتم شرحه . ان تقييم استقرارية سد ما أو منحدر طبيعي تحت الظروف الاعتيادية أى ( بدون الهزات الارضية ) يتلخص باحتساب اقل قيمة لمعامل الامان بالنسبة لحصول انزلاق تحت تأثير قوى الوزن وضغط المياه الصامي (Pore Pressure) وضغط مياه الخزان من جهة ومقاومة قوى الاحتكاك وقوة التماسك والتلاصق (Cohesion) لجزيئات التربة من الجهة الاخرى ، حيث تعمل القوى الاولى على تقليل الاستقرارية ، بينما تقاوم القوى الثانية ذلك .

ويتم التوصل الى قيمة معامل الامان الدنيا هذه بتحليل عدد كبير من سطوح الانزلاق المحتملة خلال جسم السد أو جسم السد وأسسـه . وحسب التركيب الجيولوجي لهذه الاسس وطبيعة المسود المكونة لجسم السد قد يكون سطح الانزلاق المحتمل قوسيا أو بشكل سطوح مستوية ومعاثلة . وتعمد الحسابات لعدد من حالات التشغيل المختلفة كأن يكون الخزان فارغا ( بعد الانتهاء من انشاء السد مباشرة ) أو أن يكون مستوى الخزن بمناسيب مختلفة أو في حالة خفض المناسيب السريع ، حيث ان حسابات التشغيل هذه تغير من قيم القوى المؤثرة ، اضافة الى اختلاف درجة تشبع التربة واختلاف ضغط المياه الصامي .

ان قيمة معامل الامان الدنيا التي نحصل عليها من الحسابات التي أشرنا اليها يجب أن لا تقل عن حد معين مقرر سلفا يجب عدم تجاوزه . وتكون عادة القوى المؤثرة في هذا التحليل في حالة السكون . أى أن الوضعية لا تخرج من الطور الستاتيكي البحت .

أما عند دراسة تأثيرات الهزات الارضية فأن الوضع يكون مختلف ، حيث ان القوى الناتجة عن هذه الهزات ذات طبيعة ديناميكية وتمثل قوى القصور الذاتي (Inertia Forces) سواء كانت هذه القوى متصلة بالكتلة المعرضة للانزلاق أو ناتجة عن زيادة الضغط الهيدروديناميكي لمياه الخزان ، لذا فإن دراسة هذه القوى يتطلب شكلا خاصا من المعالجة بصورة عامة ، فهناك اسلوبان رئيسيان من أساليب التحليل . يتلخص الاسلوب الاول بتبسيط الحالة الديناميكية وتحويلها الى وضعية ستاتيكية مكافئة بإضافة قوى ذات مقادير معينة لتأثيرات الهزة الارضية وتطبيق الحسابات الخاصة لحالات الاستقرارية التي ذكرناها . ويدعى هذا الاسلوب بأسلوب التحليل شبه الاستاتيكي (Pseudostatic) . ان تبسيط القوى الديناميكية الى قوى ستاتيكية مكافئة يتم بضرب الكتلة بمعامل خاص يعرف بالمعامل الزلزالي (K) (Seismic Coefficient) أى :

$$P = K.W$$

... (38)

$P$  = قوة القصور الذاتي الستاتيكية

$K$  = المعامل الزلزالي

$W$  = وزن الكتلة تحت الدراسة

ففي طريقة فيليبيوس (Fellineous) أو ما يعرف بالطريقة السويدية لتحليل الاستقرار —————  
(Swedish method) فإن الكتلة المحتمل انزلاقها تقسم إلى شرائح ويكون معامل الأمان  $(F)$  :

$$F = \frac{\sum (N - U) \tan \phi + \sum c \Delta S}{\sum (T)} \quad \dots (39)$$

حيث أن :

$\sum (N-U)$  = محصلة القوى العمودية بصورة عمودية على السطوح السفلى للشرائح

القوى العمودية بصورة عمودية على السطوح السفلى للشرائح

$N$  = الناتجة عن الوزن

الضغط المسامي الكلي العمودياً ونحو الأعلى على السطوح

$U$  = السفلى للشرائح

$T$  = مركبات الوزن الموازية لسطح الانزلاق والتي تعمل على الانزلاق

$\sum c \Delta S$  = قوة التماسك والتلاصق الكلي

$\phi$  = زاوية الاحتكاك الداخلي لمادة الدفن

وتصبح المعادلة بعد ادخال تأثيرات الهزة الأرضية المكافئة :-

$$F = \frac{\sum (N-U-KT) \tan \phi + \sum c \Delta S}{\sum (T+KN)} \quad \dots (40)$$

ولو استعملنا طريقة أخرى لتحليل الاستقرار غير طريقة فيليبيوس أعلاه فإن أسلوب المعاملة يكون مشابه لما ورد أعلاه . هذا وتبقى المسألة في اختيار المعامل الزلزالي وطريقة التحليل المستخدمة . أما الأسلوب الثاني من أساليب التحليل فيعتمد التحليل الديناميكي للحركة ، حيث تتم دراسة التخمير الزمي لعناصر الحركة خلال الهزة الأرضية . والمقصود هنا تخفيف التعجيل والسرعة والازاحة . ومن ثم



ايجاد الاجهادات والمطاوعة في اجزاء السد المختلفة • ويتم تقييم سلامة السداد والمنحدر على أساس قيم هذه الازاحات وقيم هذه المطاوعة • وفي هذين الاسلوبين لابد من اعتماد هزة أرضية فعلية كنموذج (Model) (تم تسجيلها وتحليلها فعلاً) • حيث يتم تقييم (Normalization) هذه الهزة بجعلها ذات تعجيل مساوٍ للتعجيل التصميمي المتوقع في الموقع وكما شرحنا • كما لابد من الاسلوب الديناميكي من اعتماد خواص التربة الديناميكية (كخواص القص الديناميكي) بدلاً من الخواص الستاتيكية • حيث أن مقاومة التربة تحت تأثير القوى الديناميكية تختلف عن مقاومتها تحت القوى الستاتيكية وسوف نتطرق الى كافة هذه الامور فيما بعد •

### ٣٠٢ التحليل شبه الاستاتيكي - استعمال القواعد التجريبية

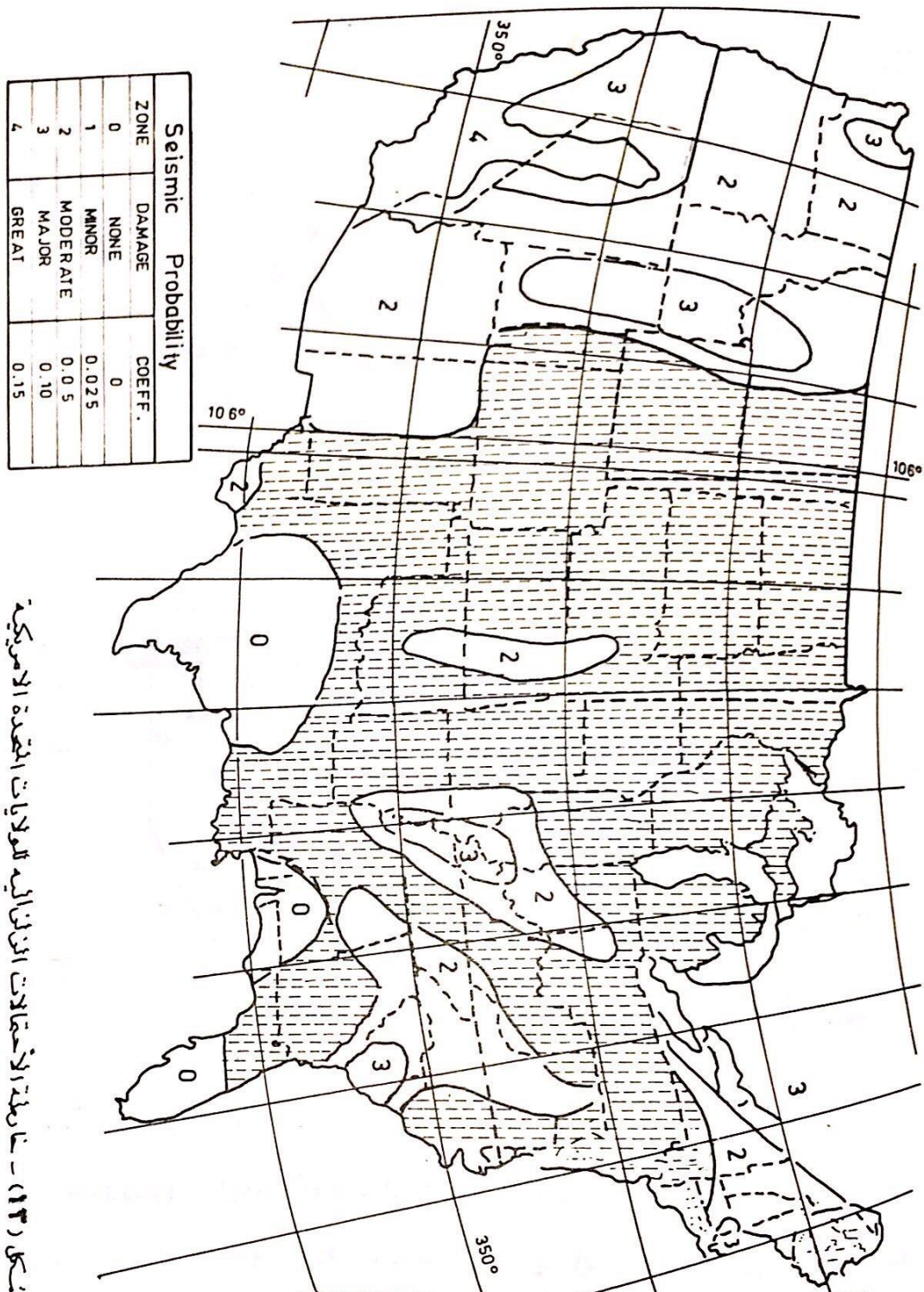
(Pseudo-Static Analysis-Empirical Rules)

ان المعايير التصميمية المتبعة في بعض دول العالم ترى استعمال قيم محددة للمعامل الزلزالي (K) • كما ترى هذه المعايير حدوداً علياً ودنياً لقيمة المعامل المذكور وحسب المنطقة أو القطر الذي تطبق فيه تلك المعايير • وقد يكون بالامكان ربط قيمة المعامل الزلزالي المستعمل في منطقة ما بخارطة الاحتمالات الزلزالية لتلك المنطقة (Seismic Probability Maps) • ومن الجدير بالذكر هنا • بأن التوزيع الجغرافي للقيم الاحتمالية يتركز بالاساس على المشاهدة والتجربة الفعلية • وعلى هذا الاساس نرى بأن حدود قيمة المعامل المذكور المستعملة في الولايات المتحدة تتراوح بين (٥% - ١٥%) • بينما تتراوح القيم المستعملة في اليابان بين (١٠% - ٢٥%) ويتسم اختيار القيمة المستعملة في التصاميم بين هذه الحدود وحسب فعالية المنطقة الزلزالية مع أخذ أهمية السد بنظر الاعتبار كما في الاشكال (١٣ ، ١٤ ، ١٥) • ان المعايير التي ذكرناها بافتراضها معامل زلزالي ثابتاً تفترض بأن رد فعل السد بالنسبة للحركة الزلزالية لا يتصل بأبعاده الهندسية ولا بخواص المواد المكونة له • وتشذ عن ذلك المعايير السوفيتية لسنة (١٩٥٧) (Hydrotechnical Project) (1957).

حيث ان المعايير هذه تعطي قيمة المعامل الزلزالي للمنطقة التي سينشأ فيها السد وضمن الحدود (١٥% - ٣٠%) • الا ان تجاوب السد وخواص مواده تعدل القيمة الداخلة في الحسابات التصميمية بموجب المعادلة التالية : —

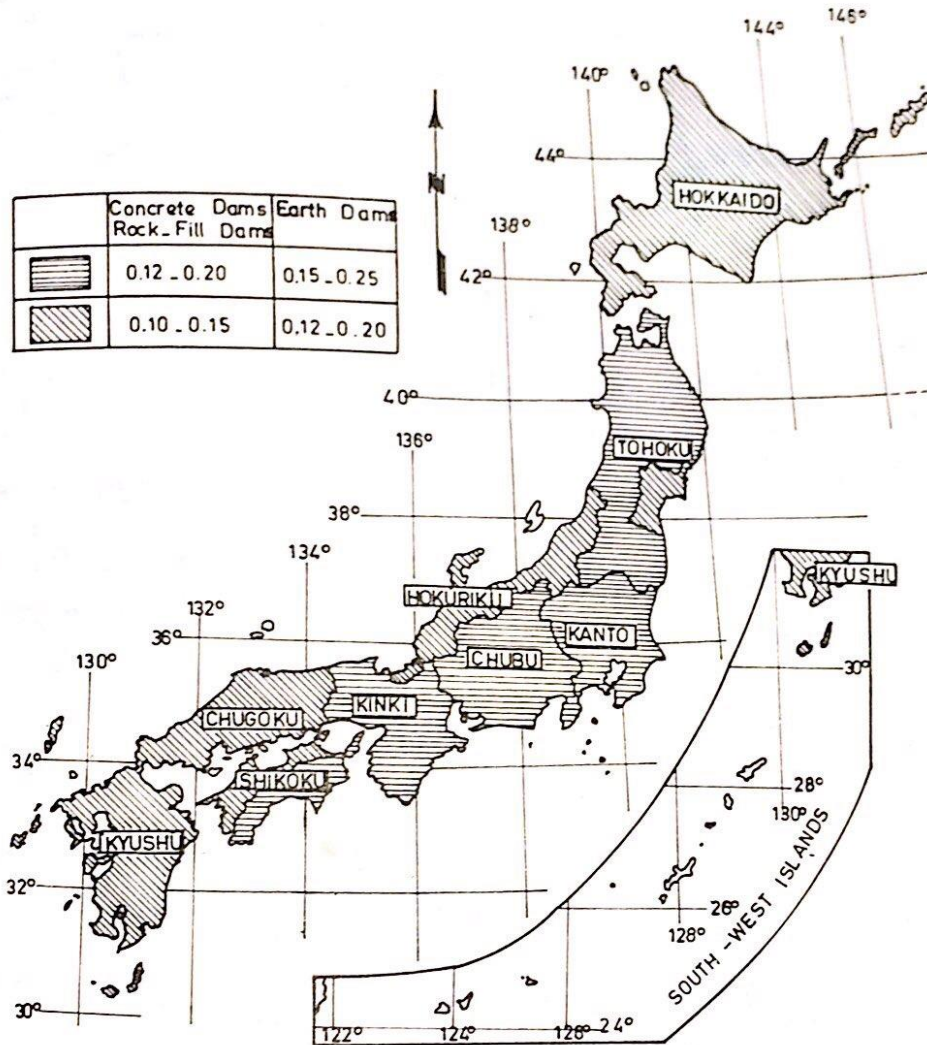
$$K = 1.6 \frac{\eta}{2\lambda} \left[ 1 - \left( \frac{b}{B} \right)^2 \right] \dots\dots (41)$$

حيث ان: (η) هو معامل التماسك (Cohesion Coefficient)



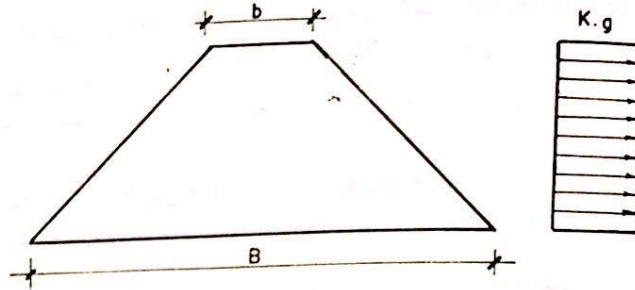
شكل (١٣) - مناطق الاحتمالات الزلزالية المتوقعة



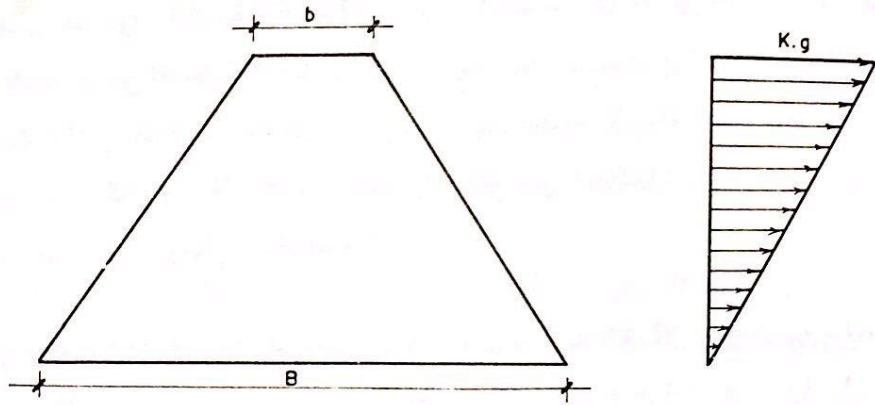


ZONING OF DESIGN SEISMIC COEFFICIENT...

شكل (١٤) خارطة الأحقالات الزلزالية (والمعامل الزلزالي) لليابان



أ - توزيع المعامل الزلزالي المنتظم على ارتفاع السد



ب - توزيع المعامل الزلزالي بموجب المعايير السوفيتية (١٩٥٧) على ارتفاع السد

شكل (١٥) توزيع المعامل الزلزالي (K) حسب ارتفاع جسم السد ♦



$$0.3 \leq \eta \leq 0.15$$

وبتقارب من

بينما (  $\lambda$  ) هو معامل الاخماد لمادة الدفن ( Damping Coefficient ) ويعرف بانسبة العتوية من الاخماد الحرج ، حيث أن الاخير يمثل مقدار الطاقة الحركية التي يتم تهديدها لكبس الحركة الاهتزازية بصورة كاملة .

٣٠٣ التحليل شبه الاستاتيكي - استجابة الاجسام الجاسئة (Rigid Body Response)

لو افترضنا بأن السد الركامي يستجيب ( Responds ) للهزة الارضية كتجاوب الاجسام الجاسئة ( Rigid ) فإن هذا يعني بأن التعجيل الموضوع على السد هو نفس تعجيل الحركة الارضية الناتجة عن الهزة ويكون توزيع هذا التعجيل منتظما في كافة اجزاء السد . وغالبا ما يفترض المصممون بهذه الطريقة المعامل الزلزالي ( K ) باعتباره مكافئ للتعجيل الاقصى للحركة الارضية ( Peak Ground Acceleration ) .

ان أهم الاعتراضات على هذا الافتراض مايلي :

— قد تتجاوب بعض السدود الركامية القليلة الارتفاع والواقعة داخل مضائق فعلا كاجسام جاسئة الا أن هناك العديد من التجارب الحقلية التي اجريت لبعض السدود القائمة بتعرضها للاهتزاز بواسطة مكائن اهتزاز ضخمة خاصة . وقد اظهرت هذه التجارب عدم صحة هذا الافتراض حيث ان تجاوب السد كان مخالفا لشكل الاهتزاز المتوقع عن الحركة الارضية ، كما ان هذا التجاوب لم يكن كتجاوب الاجسام الجاسئة .

— من المعلوم ان التعجيل الاقصى الناتج عن الحركة الارضية لا يتحقق الا لفترة قصيرة للغاية ويمكننا أن نضرب الامثلة العديدة على ذلك . ففي هزة السنترو ( ١٨ / ٥ / ١٩٤٠ ) لم يتحقق التعجيل الاقصى البالغ ( ٣٣ % ) من التعجيل الارضي ( المركبة الشمالية - الجنوبية ) الا لفترة ( ٠.٢ ) ثانية بينما كانت فترة الاهتزاز الكلي بتعجيل يزيد على ( ٣ % ) من التعجيل الارضي تساوي ( ٣٠ ) ثانية . وكان التعجيل الاقصى للمركبة ( الشرقية - الغربية ) ( ٢٢ % ) من التعجيل الارضي وتحقق لفترة ( ١.٣ % ) ثانية فقط من أصل فترة الاهتزاز الكلي انفا الذكر . لهذا السبب فإن المطاوعة النسبية الناتجة عن التعجيل الاقصى تكون محدودة . وعلى الرغم من ان هذه المطاوعة ستزداد نتيجة للتأثير التراكمي للتعجيلات الاخرى وقوى القصور الذاتي المتولدة أثناء الهزة الارضية الا ان المطاوعة النسبية الكلية لا يمكن أن نعتبرها وكأنها ناتجة من قوة القصور الذاتي للتعجيل الاقصى وحده . موثرا طوال فترة الاهتزاز كما يفترض هذه الطريقة بالتحليل .

ي بمعنى ان هذه الطريقة تعطينا نتائج وان كانت أمينة ، الا أنها لا تطل الواقع • وان المطاوعة  
النسبية والاجهادات المحتسبة من خلالها تحتوى على درجة من المبالغة •

### ٣٠٩ التحليل شبه الاستاتيكي - الاستجابة اللزجة - المرونة (Visco-Elastic Response)

ان العيوب التي أشرنا اليها في الطريقتين المذكورتين قد جعلت بعض الباحثين يحاولون وجهة  
معاملةم باتجاه آخر الا وهو محاولة الاستفادة من الخواص المرونة للسدود واستخدام نظرية المرونة  
ع ادخال عوامل الكبح الذاتي للسدود في مثل هذا التحليل • وقد تطور هذا الاتجاه  
التحليل خلال فترة امتدت حوالي نصف قرن لغاية الان ويمكننا أن نجعل هذه الاساليب تحت طريقة  
تحليل اللزج - المرن (Visco-Elastic Analysis) • ان الاساس النظري لهذه الطريقة  
يعتمد على افتراض بأن السد الركامي مكون من عدد كبير جدا من الشرائح الافقية ذات السمك المتناهي  
في الصغر (Infinitesimal) الواحدة فوق الاخرى • كما يفترض هذا النموذج بأن الشرائح مرتبطة  
بعضها بواسطة نوابض مرونة (Elastic Springs) وخامدات أو كوابح لزجة (Viscous Dampers)  
يكون تجاوب السد للاهتزاز هو المحصلة الكلية لتجاوب هذه الشرائح للحركة الاهتزازية الموهمة فسي  
امدة السد •

لغرض تبسيط الأمـر لا بد لنا في البـدء من دراسة تجاوب منظومة مبسطة  
تأتي في الشكل ( ١٦ ) للاهتزاز :

تتكون المنظومة المذكورة وكما هو واضح في الشكل من كتلة حرة الحركة ، حيث تكون حركتها على  
سطح افقي ومستو ، وهي مرتبطة بنابض من وتنتج حركة هذه الكتلة من مطاوعة النابض نتيجة  
لاجهاد خارجي وتضم المنظومة خامد للحركة (Damper) يعمل على اخماد الحركة وتهديد طاقتها  
الحركية •

ان تجاوب منظومة الاهتزاز الخارجي يكون عن طريق حركتها • وفي هذه الحركة تكون الازاحة  
السرعة والتعجيل متناسبة مع التردد للاهتزاز الخارجي • وفي حالة عدم وجود الكابح يكون هناك سقف  
على مطلق للازاحة والسرعة والتعجيل بالنسبة لتردد معين ويتحدد هذا السقف بموجب خواص المرونة  
منظومة • أما بوجود الكابح فإن أقصى ازاحة وسرعة وتعجيل تتحدد أيضا بموجب نسبة الكبح أو ما يعرف  
بمعامل الاخماد (  $\lambda$  ) • وقد سبق لنا أن عرفنا هذا المعامل بالنسبة للسدود في ( ٢ - ٣ ) • ويكون  
بمامل الاخماد للحركة الاهتزازية المصاحبة للهزة الارضية معتمدا على الخواص الجيولوجية  
موقع وخواص المواد المكونة للسد الركامي • وتعرف المنظومة البسيطة هذه بمنظومة ذات درجة واحدة  
ن الحرية (One-Degree of Freedom) • وبما أننا أن تطور هذا النموذج البسيط الى نموذج أكثر  
مقيدا وهو ما يعرف بنموذج ذراع القص (Shear Beam Model) كما في شكل ( ١٧ ) • ويمكننا



أن يفترض بأن تجاوب السدود الركامية مشابهاً لتجاوب هذا النموذج • أي كمظومة ذات عدة درجات من الحرية (Multi-Degree of Freedom)

في هذا النموذج يمكن لأي كتلة أن تتحرك نسبة إلى الكتل الأخرى ، وهذا يعني إمكانية تجاوب المظومة للحركة الاهتزازية في عدة أشكال أو أطوار • ولكل طور من هذه الأطوار تسردده المعين ويكون الطور الأساسي (Fundamental Mode) هو أقل الأطوار تردداً ، يليه الطور الثاني والطور الثالث ، وكما هو واضح من الشكل ( ١٢ - ب - ج - د )

لقد وجد العلماء اليابانيون مونونوبي وتاكادا وماتسونورا (Mononobe et al, 1936 (١٩٣٦) بأن تجاوب السد الاهتزازي الناتج عن الهزة الأرضية يخضع لمعادلة جيئية (Sinusoidal) • وقسم هاتانكا (Hatanaka, 1952 (١٩٥٢) بإيجاد فترة التردد لهذه الحركة واستنتج بأنه وعندما تكون نسبة طول قاعدة السد إلى ارتفاعه تساوي (٢) أو أقل ، فإن الحركة الاهتزازية تكون ناتجة عن قوى (القوى - الحني) (Shear Bending Vibration) • ويمكن إيجاد فترة التردد ( $T_{RS}$ ) من المعادلة التالية : -

$$T_{RS} = 4.422 \sqrt{\frac{\rho}{E}} \cdot H \quad \dots (42)$$

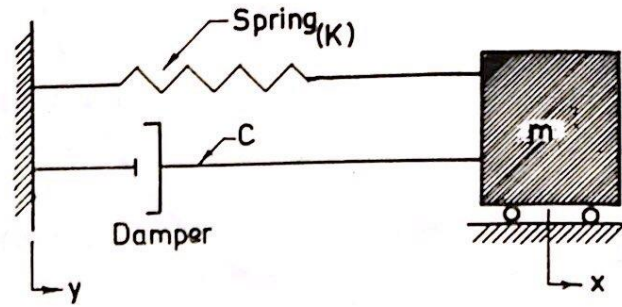
$$\alpha = \frac{B}{H} \leq 2.0$$

أما عندما تكون نسبة القاعدة إلى الارتفاع ( ٣ ) أو أكثر فإن الحركة الاهتزازية تكون ناتجة عن قوى القص فقط (Shear Vibration) وإن فترة الحركة ( $T_S$ ) يمكن إيجادها من المعادلة التالية : -

$$T_S = 4.293 \sqrt{\frac{\rho}{E}} \cdot H \quad \dots (43)$$

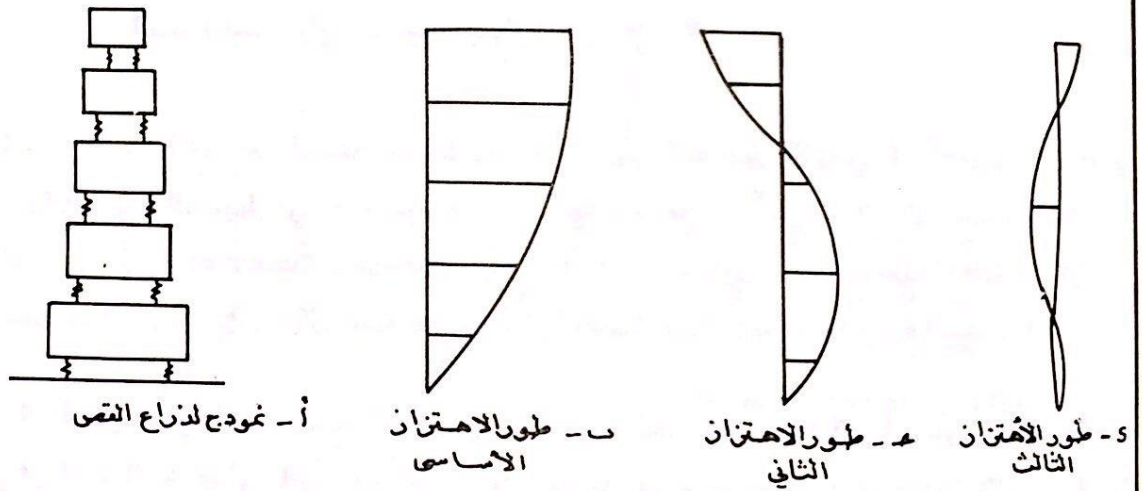
$$\alpha = \frac{B}{H} \geq 3.0$$

إن المعادلتين أعلاه مبنيتين على اعتبار قيمة معامل بوسون (Poissons Ratio  $\nu$ ) للسدود الركامية تساوي ( ٠.٣٥ ) ، حيث أن :



$$U = X - Y$$

شكل ( ١٦ ) منظومة مرفقة بسيطة مع خافت لزج ( ذات درجة واحدة من الحرية ) .



شكل (١٧) نموذج لذراع القص واطوار اهتزانه (منظومة ذات عدة درجات من الحرية)



$$G = \frac{E}{2(1 + \sigma)} \quad \dots (44)$$

$$E = 2.7 G \quad \text{أى أن :}$$

بتمويض قيمة (E) في المعادلتين أعلاه بما يعادلها من (G) نحصل على

$$T_{RS} = 2.691 \sqrt{\frac{\rho}{G}} \cdot H \quad \dots (45)$$

$$T_B = 2.612 \sqrt{\frac{\rho}{G}} \cdot H \quad \dots (46)$$

حيث أن :

$$\rho = \text{كثافة مادة السد ( غرام / سم }^3 \text{ )}$$

$$H = \text{ارتفاع السد ( م )}$$

$$B = \text{عرض قاعدة السد ( سم )}$$

$$\alpha = \text{نسبة القاعدة للارتفاع}$$

( Elasticity Modulus ) معامل المرونة لمادة

$$E = \text{السد ( غرام / سم }^2 \text{ )}$$

( Rigidity Modulus ) المعامل الجسوم لمادة

$$G = \text{السد ( غرام / سم }^2 \text{ )}$$

علما بأن (E) و (G) عند استخدامهما يجب أن تضرب بالتعجيل الأرضي :  $g = 981 \text{ cm/s}^2$

كما وجد هاتناكا بأن التعجيل في أى منسوب من السد يتناسب مع  $J_0(2.41 \frac{Y}{H})$  حيث أن (J<sub>0</sub>)

هي دالة بيسل (Bessel function) وأن (Y) هو مستوى محصلة الحركة الأفقية الموحدة على

جسم السد بحيث أن  $Y/H$  تمثل نسبة تقع بين صفر (قاعدة السد) وواحد (قمة السد) .

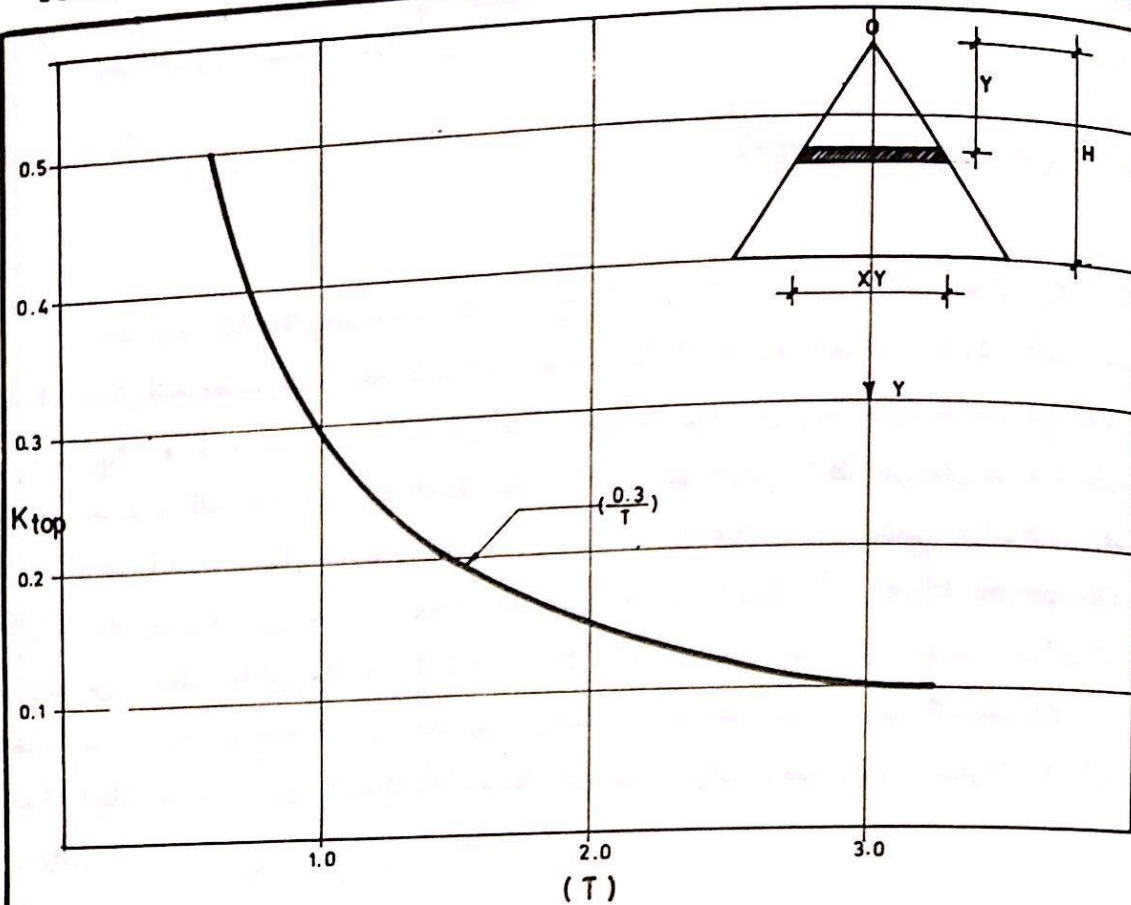
ان أقصى تجاوب للسد بموجب هذا يكون في قمته . وقد اقترح هاتناكا بأن تكون قيمة المعامل

الزلزالي في قمة السد مساوية الى  $(\frac{0.3}{T_B})$  وان لا تزيد هذه القيمة عن (0.5) ولا تقل عن (0.15)

( راجع شكل ١٨ ) . أما تغير المعامل المذكور نسبة الى مناسيب السد المختلفة فهي بموجب دالة

بيسل وكما وضحنا . وعليه يكون تغير المعامل الزلزالي على قمة السد كالآتي :

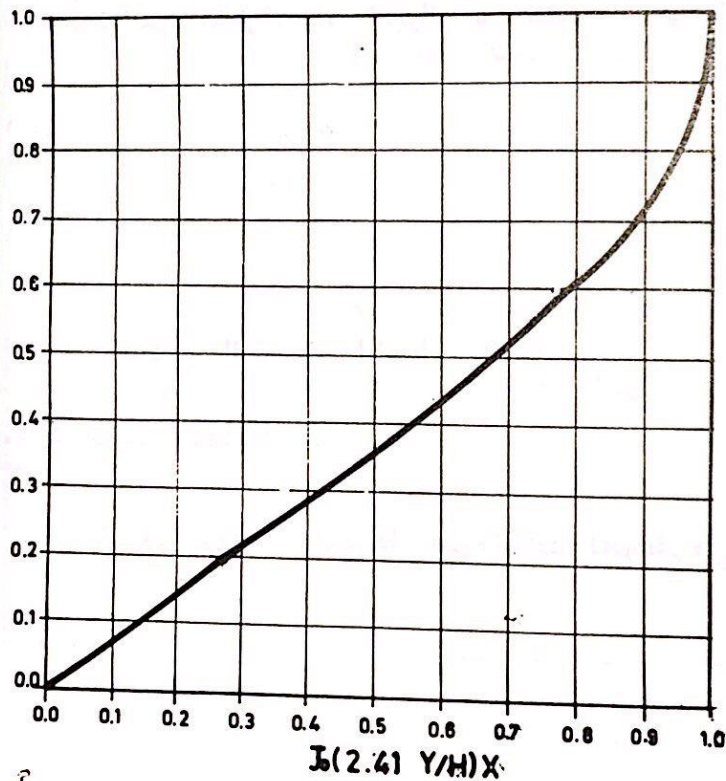
$$K_{TOP} = 0.15 \leq \frac{0.3}{T} \leq 0.5 \quad \dots (47)$$



Spectrum of Seismic Coefficient for The Dam Top ( $K_{top}$ )

$\frac{Y}{H}$

شكل (١٨) طيف المعامل الزلزالي لقمة السد بموجب هاتانكا



شكل (١٩) تغير المعامل الزلزالي

نسبة الى ارتفاع السد

بموجب هاتانكا

(From Hatanaka, 1952)



وعلى منسوب معين  $Y/H$  فان :

$$K = K_{TOP} \cdot J_0 \left( 2.41 \frac{Y}{H} \right) \quad \dots (48)$$

وقد أوجد هاتنكا تغيير الدالة  $J_0 \left( 2.41 \frac{Y}{H} \right)$  مع  $Y/H$  وكما في شكل (١٩) .  
 وهناك بعض المصممين الذين قد لا يذهبون مذهب هاتنكا باعتماد المعادلة (47) لايجساد  
 $(K_{TOP})$  ، بل يعتمدوا الى استعمال أطراف مسجلة لهزات أرضية معروفة كنماذج بعد تعديلها  
 بموجب تعجيل الحركة الأرضية المتوقعة في الموقع . ومن الأمثلة على مثل هذه التطبيقات  
 المسجلة تلك التي درسها هاوسنر ( ١٩٥٩ ) ( Housner, 1959 ) لخمس هزات شهيرة فسي  
 كاليفورنيا . وقد منها بشكل منحنيات لمعدل التعجيل مع زمن التجاوب (Response time) ولدرجات  
 مختلفة من الاخماد كما في شكل ( ٢٠ ) . ونلاحظ في هذا الشكل بأن لكل هزة من الهزات الخمس  
 معامل عددي لتعديل قيمة معدل التعجيل من المنحني بما يتفق مع التعجيل الحقيقي لتلك الهزة . وفي  
 المثال التالي توضيح لطريقة هاتنكا مع استعمال فرضيته ، وكذلك منحنيات هاوسنر لإيجاد المعامل  
 الزلزالي .

مثال : في النية انشاء سد في موقع ما . وقد وجد بالدراسة بأن أقصى تعجيل محتمل للهمزات  
 الأرضية في ذلك الموقع يساوي ( ٤٠ % ) من التعجيل الأرضي .

المطلوب : إيجاد تخير المعامل الزلزالي على مختلف مناسيب السد لأغراض دراسة الاستقرار ، علماً  
 بأن :

$$\rho = 1.76 \text{ g/cm}^3$$

$$G = 134000 \text{ g/cm}^2$$

$$H = 50 \text{ m.}$$

$$S = 1.75$$

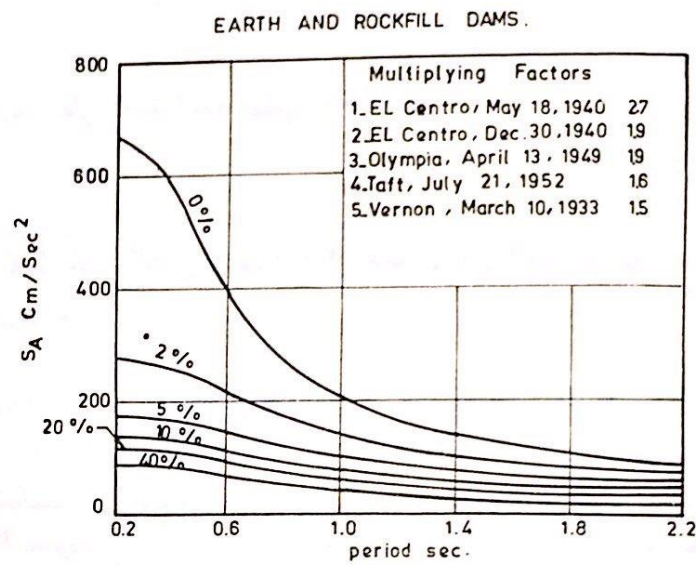
$$B = 175 \text{ m.}$$

( انحداري المنحدرين الامامي والخلفي )

أولاً : بموجب هاتنكا ( ١٩٥٢ )

لايجاد فترة تردد السد فان نسبة القاعدة للارتفاع هي :

$$\alpha = \frac{B}{H} = \frac{175}{50} = 3.5$$



Average Acceleration Spectrum Curves

شكل (٢٠) منحنيات طبق معدل التسجيل لهاوسنر

(From Housner, 1959)



وعلى هذا الاساس فإن فترة اهتزاز السد تخضع للمعادلة (46) بحيث أن :

$$T_B = 2.612 (5000) \sqrt{\frac{1.76}{(134 \times 10^3) 981}}$$

$$= 1.5 \text{ s}$$

وبموجب فرضية هاتلنكا (47) يكون المعامل الزلزالي محسوب على قمة السد  $(K_{TOP})$  هو :

$$K_{TOP} = \frac{0.3}{1.5} = 0.2$$

أى أن التعجيل الارضي على قمة السد يبلغ 20 % أو

$$196.2 \text{ cm/s}^2$$

وباستعمال معادلة (48) والشكل ( ١٩ ) نحصل على القيم التالية للمعامل الزلزالي فـ  
المناسيب المخططة •

جدول رقم ( ١١ )

المعامل الزلزالي سم / ثا <sup>٢</sup>	المنسوب
١٩٦.٢	٥٠
١٨٨.٩	٤٠
١٥٤.٦	٣٠
١٠٦.٩	٢٠
٥٢.٩	١٠
صفر	صفر

ثانياً : بموجب أسلوب هاوستر (١٩٥٩) فيجب اختيار نموذج لهزة أرضية حقيقية اخذين بنظر الاعتبار أقصى تعجيل افقي ( قصي ) مسجل لتلك الهزة ( انظر الشكل ٢٠ ) • فلو وقع اختيارنا على نموذج الهزة الارضية التي حدثت في منطقة السنترو ( El Centro ) في كاليفورنيا عام (١٩٤٠) كنموذج تصهبي وعلمنا بأن أقصى تعجيل مسجل لهذه الهزة هو 33 % من التعجيل الارضي فمن الممكن الاستعانة بالشكل ( ٢٠ ) بافتراض معامل اخمداد معين • ولو اخترنا معامل اخمداد 10 % ( وهو ثالث منحل من

الأسفل على الشكل (٢٠) ولفترة اهتزاز  $T_g = 1.5$  تحصل على أقصى تعجيل ، وفي هذه الحالة فهو

$$S_A = 60 \text{ cm/s}^2$$

الآن ، ومن أجل احتساب التعجيل الأرضي على قمة السد نسبة إلى نموذج هزة السنتروم مع  
الاخذ بنظر الاعتبار أقصى تعجيل أرضي محتمل للمنطقة Expected Peak Ground Acceleration  
(محتمل) بوب من خلال تطبيق الطرق الاحتمالية على ملفّة المعلومات الزلزالية للموقع  
ولعمراً اقتصادياً معيناً (والذي يبلغ 40 % في مثالنا نحتاج إلى إدخال معامل التصحيح الخاص  
لهزة السنتروم وهو 2.7 من الشكل ، وبذلك فإن :

$$\text{التعجيل الأرضي على قمة السد} = \frac{(60) (0.40)}{(2.7) 0.33} =$$

$$196.2 \text{ cm/s}^2 =$$

من الملاحظ هنا التطابق في النتائج بين طريقتي هاتنكا وهامستر ، وبالطبع فلا يشترط هذا  
التطابق في كافة الاحوال .

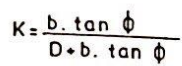
لقد طور امبريزي ( ١٩٦٠ ) هذا النموذج ، حيث قام بدراسة المعامل الزلزالي لعدد من  
الاشكال بحيث يكون الاهتزاز باتجاهين أفقيين متعامدين . فقد اشتق قيمة المعامل المذكور لجسم مرن  
ومتائل كما اشتق لجسم مثلث ومنتظم على أساس مرن ذو عمق لانهاضي وحل المعادلات التفاضلية لا هتزاز  
جسم ذو مقطع بشكل شبه منحرف ( شكل ٢١ ) كما هو الحال بالنسبة للسدود الركامية ووجد بأن الترددات  
للاهتزاز الحر للسد تخضع للمعادلة التالية :

$$Wmr = \left( \frac{S}{D} \right) (1 - K'') \left[ a_n^2 + \left( \frac{\pi (1 - K'')}{\mu} \right)^2 \right]^{\frac{1}{2}} \dots (49)$$

في هذه المعادلة :

m =	مؤشر لتمثيل الخواص بالاتجاه المستعرض
r =	مؤشر لتمثيل الخواص بالاتجاه الطولي
W = undamped frequency	التردد الحر ( بدون اخماد )
S = velocity of shear wave	سرعة الموجة القصية
D = Height of Dam	ارتفاع السد





$$\begin{array}{l} H \geq Y \geq h \\ L \geq X \geq 0 \\ -ay \geq Z \geq +cy \end{array}$$

شكل ( ٢١ ) طريقة أمبريزى للتحليل اللزج - المن •

(From Ambraseys, 1960 a)

$K''$  = Coefficient of truncation

معامل الشكل

$$K = \frac{b \cdot \tan \phi}{H + b \cdot \tan \phi}$$

لتعريف (ϕ) و (b) راجع شكل (٢١)

$$a_n'' =$$

قيم عددية مرتبطة بمعامل الشكل راجع جدول (١٣)

$$\mu =$$

نسبة الطول الى الارتفاع للجسم المهتر

اما المعامل الزلزالي في هذه الحالة فقد اشتقه امبريزى وهو بموجب المعادلة التالية :

$$K = \frac{4}{\pi} \sum_{n=1,2}^{\infty} \sum_{r=1,3}^{\infty} r^{-1} \sin \left( \frac{r\pi x}{L} \right)$$

$$\frac{J_0(a_n'') Y_0(a_n'') - J_0(a_n'') Y_0(a_n'')}{J_0^2(a_n'') / J_1^2(K'' a_n'') - 1} \dots (50)$$

حيث أن :

$$g = 981 \text{ cm/s}^2$$

$$\text{التعجيل الارضي} = 981 \text{ سم / ثا}^2$$

$$J_0, J_1 =$$

دالات بيبل

ولتبسيط الحالة فقد اخذ امبريزى الاهتزاز باتجاه واحد فقط أى ما يمكن تسميته الاهتزاز

الاحادى الاتجاه (One Dimensional Vibration) . بذلك تصبح المعادلة (49) بالشكل التالي :

$$W_{on} = (S/D) (1 - K'') a_n'' \dots (51)$$

بينما يمكن تبسيط معادلة المعامل الزلزالي (50) لتصبح بالشكل التالي :

$$K_n = A_n (W_{on}^2 / g) (D/S)^2 S a_n \dots (52)$$

$S_g$  = تعجيل الحركة الارضية



من هذه المعادلة يمكننا إيجاد التعجيل في أية لحظة زمنية (t) وبأى منسوب من مناسيب المسد وذلك بجمع كافة التعجيلات لاطوار الحركة الأرضية خلال الفترة الزمنية من ( صفر ) وحتى ( t ) . وقد اقترح أمبريزي اخذ الاطوار الثلاثة الاولى فقط ، حيث ان ذلك يعطينا دقة كافية لغراض التصميم . ان قيمة الحد (  $A_n$  ) يمكن استخراجها من الشكل ( ٢٢ ) ، وذلك لاطوار الحركة الثلاثة الاولى حيث يمكننا عندئذ إيجاد قيمة (  $K_n$  ) لهذه الاطوار بعد استعمال المعادلة ( 52 ) كما ان قيمة (  $a_n''$  ) لاطوار الحركة هذه أن نستخرج من جدول ( ١٢ ) التالي : —

جدول رقم ( ١٢ )

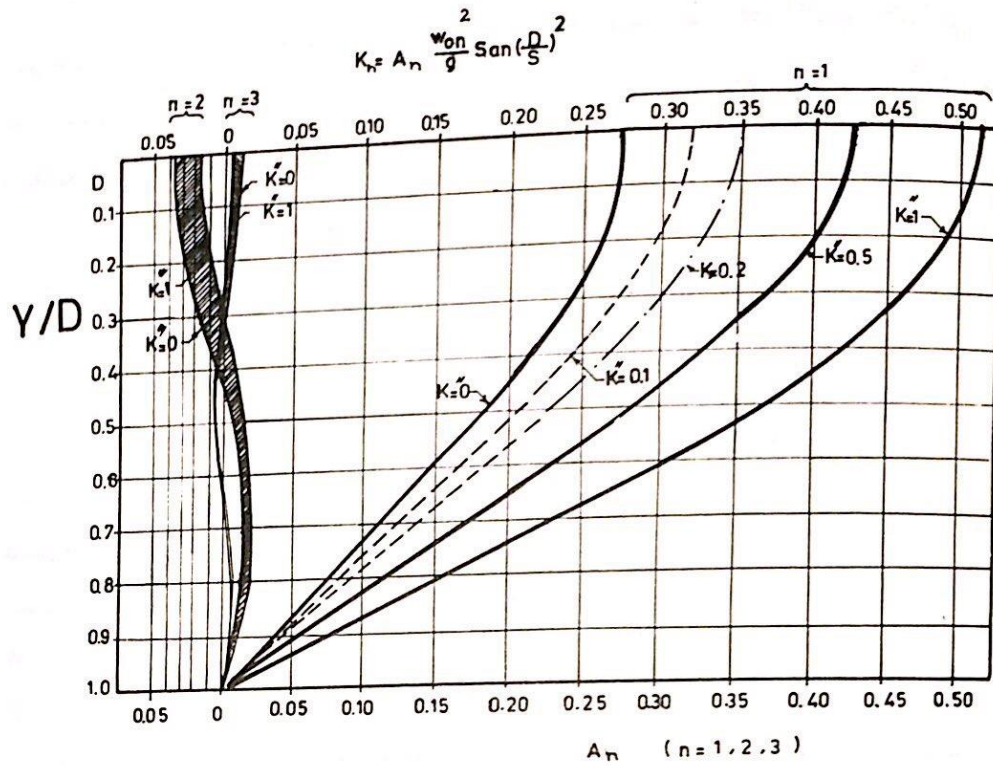
قيم  $a_n''$  لاطوار الحركة بازدياد المعامل الزلزالي حسب المعادلة ( 52 )

$K''$	$a_1''$	$a_2''$	$a_3''$	$a_4''$	$a_5''$	$a_6''$
0.000	2.40	5.52	8.65	11.79	14.93	18.07
0.100	2.45	5.72	9.30	12.60	15.98	19.41
0.158	2.51	5.97	9.66	13.60	16.90	20.66
0.200	2.57	6.23	10.05	13.92	17.81	21.71
0.250	2.67	6.58	10.67	14.80	18.96	23.13
0.300	2.79	6.99	11.39	15.83	20.29	24.76
0.500	3.59	9.60	15.82	22.07	28.34	34.61
0.800	0.21	23.69	39.34	55.34	70.73	86.43

وقد اقترح أمبريزي إيجاد متوسط المعامل الزلزالي لأى منسوب بأحدى المعادلتين التاليتين :

$$K = \left( \sum_{n=1}^{n=m} K_n^2 \right)^{\frac{1}{2}} \quad \dots (53)$$

حيث ان (m) هو عدد اطوار الحركة المأخوذة بنظر الاعتبار ( في ثلاثة حدود ) .



شكل (٢٢) منحنيات لاستخراج المعامل الزلزالي حسب طريقة امبريسيزي  
(From Ambraseys, 1960 b)



أما التعجيل ( $S_a$ ) فيؤخذ من طيف التعجيل (Acceleration spectrum) للموقع تحسب الدراسة • وفي حالة عدم توفر مثل هذا الطيف فقد اقترح أمبريزي حلا بديلا • ففي هذه الحالة افتراض أمبريزي بأن السد ( تحت تأثير قوى الاختداد ) يتجاوب خلال الطور الأول من حركته وبدورة كاملة (Full Cycle) مع مركبة التعجيل للحركة الأرضية ويقدر أن يساوي التعجيل الزلزالي الأقصى (PGA) بموجب خرائط الاحتمالات الزلزالية • وتسمى هذه الطريقة في التصميم بطريقة السلسلة الرئيسية (Resonance Design Method) • وقد بين أمبريزي بأن الاحتمالات ضئيلة جدا في تجاوب السد لأكثر من دورة واحدة مع الحركة الأرضية وبصورة متوالية بنفس فترة الطور الأساسي لتلك الحركة وبصورة عمودية على محوره وبفسس التعجيل الأقصى للمنطقة • وأن وقوع كافة هذه الأمور في لحظة واحدة يعتبر أمورا في غاية الندرة •

كما سبق افتراض أمبريزي إمكانية استبدال  $S_a$  بالمقدار  $\bar{S}(\lambda) \cdot (PGA)$

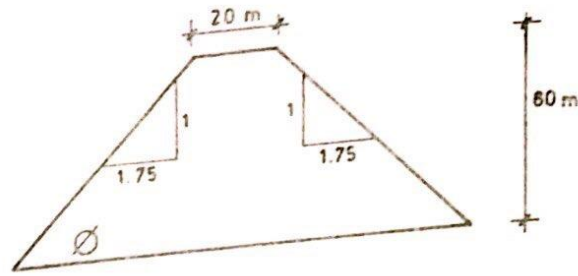
حيث أن  $\bar{S}(\lambda)$  هو معامل التكبير (Magnification factor) • وقد وجد أنه أمبريزي كدالة لمعامل الاختداد لمصادرة السد ( $\lambda$ ) وبموجب الجدول التالي :

جدول رقم ( ١٢ )

قيم معامل التكبير ونسبة إلى معامل الاختداد

( $\lambda$ )	0	5%	10%	15%	20%	25%	30%
$\bar{S}(\lambda)$	3.14	2.75	2.34	2.12	1.80	1.63	1.40

ويمكن توضيح الطريقة التي اقترحها أمبريزي بمثال حسابي لسد ارتفاعه يساوي ( ٦٠ ) متر وعرضه من الأعلى يساوي ( ٢٠ ) متر وانحدارات المنحدرين الأمامي والخلفي تساوي ( ١ : ١.٧٥ ) ، حيث يدرج الجدول ( ١٤ ) نتائج الطريقة ، بينما يوضح الشكل ( ٢٣ ) تغيير المعامل الزلزالي في المناسيب المختلفة من السد • أما أمبريزي وسارما ( ١٩٦٧ ) ( Ambraseys and Sarma, 1967 ) فقد أوضحوا العوامل المؤثرة على المعامل الزلزالي وهي فترة التردد الأساسي للسد ( $T_0 = 2.61 H/S$ ) ومعامل الاختداد وطبيعة الحركة الأرضية وذلك من دراسة العديد من التسجيلات لهزات أرضية مهمة وخاصة هزة ( السنترو ) • وقد أيدا ما توصل اليه الباحثون سابقا حول ازدياد التعجيل المؤثر على نقطة ما في السد بارتفاع وموقع تلك النقطة في جسم السد ( انظر الشكل رقم ٢٤ ) • وأوجدا كذلك بأن هذا التعجيل بصورة عامة يفوق تعجيل الحركة الأرضية نفسه بنسبة أسميها • نسبة التكبير ( Magnification Ratio ) • وقد تمكنا من رسم العلاقة البيانية لنسبة التكبير هذه وفترة التردد الأساسي لاهتزاز جسم السد وعلى الارتفاعات المختلفة للسد •



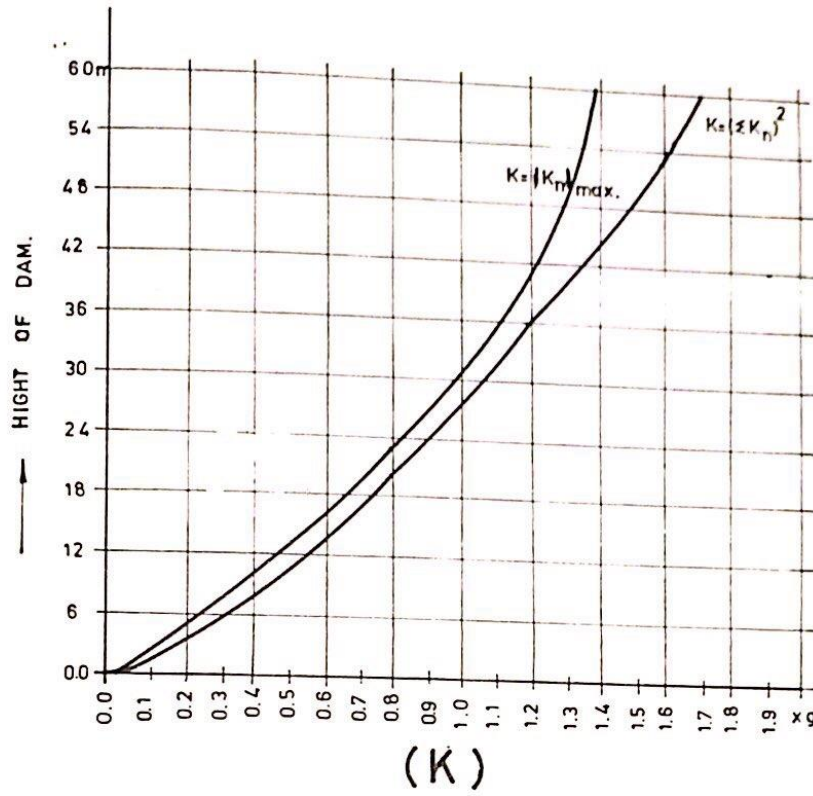
$$\tan \phi = 0.5714$$

$$K = \frac{b \cdot \tan \phi}{D + b \cdot \tan \phi} = \frac{20 \times 0.5714}{60 + 20 \times 0.5714} = 0.16$$

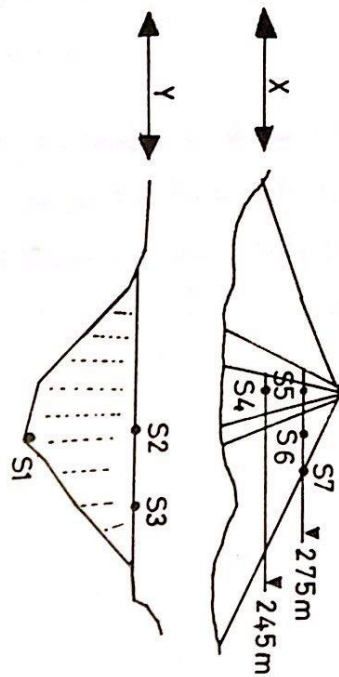
$K$	$a_1$	$a_2$	$a_3$					
0.16	2.51	5.97	9.66					
	$W_{01}$	$W_{02}$	$W_{03}$					
	$2.11 \left(\frac{S}{D}\right)$	$5.01 \left(\frac{S}{D}\right)$	$8.11 \left(\frac{S}{D}\right)$					
$W_{0n}$	$4.45 \left(\frac{S}{D}\right)^2$	$25.10 \left(\frac{S}{D}\right)^2$	$65.77 \left(\frac{S}{D}\right)^2$	$K_1$	$K_2$	$K_3$	$K_{11}$	$K_{11}^{max}$
$Y/D$	$A_1$	$A_2$	$A_3$					
0.0	0.330	0.035	0.005	1.4685	0.8785	0.3288	1.74	1.47
0.1	0.325	0.033	0.005	1.4462	0.8283	0.3288	1.70	1.45
0.2	0.315	0.003	0.001	1.4017	0.0753	0.088	1.41	1.40
0.3	0.315	0.015	0.000	1.2683	0.3785	0.000	1.29	1.27
0.4	0.280	0.005	0.005	1.1570	0.1255	0.3288	1.23	1.18
0.5	0.220	0.010	0.005	0.9790	0.2510	0.3288	1.04	0.98
0.6	0.175	0.015	0.003	0.7788	0.3785	0.1973	0.88	0.78
0.7	0.125	0.015	0.000	0.5582	0.3785	0.000	0.87	0.58
0.8	0.087	0.015	0.005	0.3871	0.3785	0.3288	0.83	0.38
0.9	0.040	0.010	0.005	0.1780	0.2510	0.3288	0.45	0.33
1.0	0.000	0.000	0.000	0.000	0.000	0.000	0.000	0.000

جدول رقم (١٤) مثال يوضح طريقة امبريزي لاحتساب المعامل الزلزالي (K) لمناسيب مختلفة من السد .





شكل (٢٣) - تغيير المعامل الزلزالي حسب ارتفاع السد للمثال السابق



S1X |-----|  
S1Y |-----|

S2X |-----|  
S2Y |-----|

S3X |-----|  
S3Y |-----|

S4X |-----|  
S4Y |-----|

S5X |-----|  
S5Y |-----|

SECONDS

شكل (4) تغير البعيل الدرعي المسجل في نقاط مختلفة  
في جسر كينياما في اليابان  
(FROM: OKAMOTO, 1973)



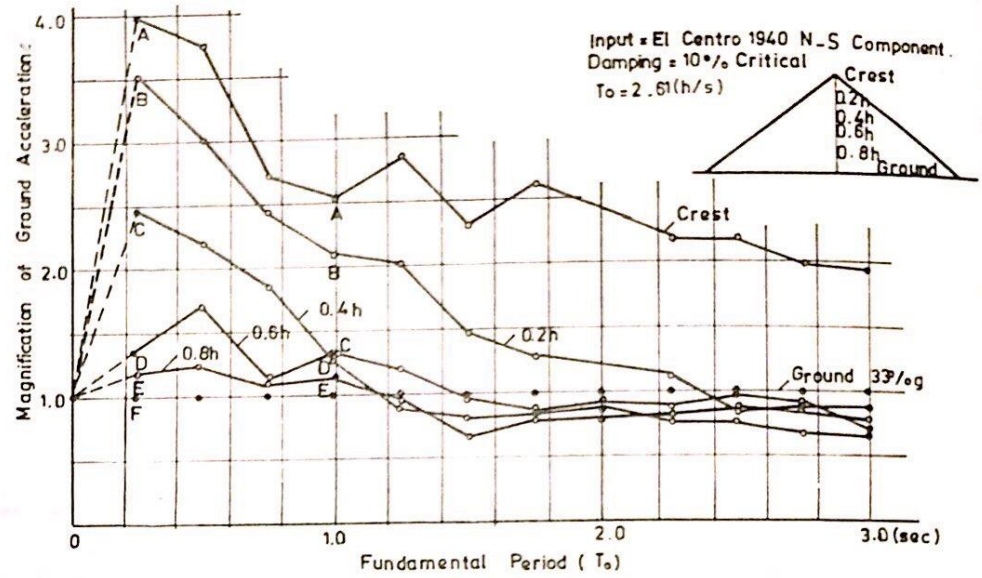
هذا ويظهر الشكل ( ٢٥ ) العلاقة البيانية لنسبة التكبير لهزة ( السنترو ) المركبة الشمالية - الجنوبية ) وبمعامل اخمد ( ١٠ % ) كما أن الشكلين ( ٢٦ ) ، ( ٢٧ ) يعطيان هذه العلاقة البيانية لمعاطي اخمد ( ٢٠ % ) و ( ٤٠ % ) .

وكما يبدو لأول وهلة فإن المشكلة الرئيسية التي قد تعترض تطبيق هذه الطريقة لأغراض التصميم هو التنبؤ بخواص الهزات الأرضية المستقبلية التي قد يتعرض لها السد . إلا أن ( امبريزي وسارما ) وجدا من دراسة تسجيلات العديد من الهزات الأرضية المهمة بأن الشكل العام لطاقات نسبة التكبير لهذه الهزات متشابه وان اختلفت القيم المطلقة للتسجيل الاقصى بها . لذا فقد تمكنا من رسم مجموعة من المنحنيات تمثل المعدل لتغير نسبة التكبير هذه ولمعامل اخمد ( ٢٠ % ) . كما تمكنا من ايجاد منحنيات لتصحيح القيم هذه لمعاملات الاخمد الأخرى كما في شكل ( ٢٨ ) وشكل ( ٢٩ ) ، لذا وعلى اعتبار ان طبيعة الهزات المستقبلية مشابهة لطبيعة الهزات الأرضية التي درست فإنه يمكن استعمال هذين الشكلين لأغراض التصميم والدراسات . وهنا تجدر الملاحظة بأن الشكل ( ٢٨ ) يعطينا قيم نسبة التكبير الحاصلة على ارتفاعات السد المختلفة . إلا ان هذه القيم لا تحصل بالضرورة كلها في آن واحد خلال الهزة الأرضية . كما ان هذه القيم لا تبين اتجاه التعجيل أي بمعنى ان التعجيل في مستوى معين قد يكون باتجاه ما ، بينما يكون في المستوى الأخرى في الاتجاه المعاكس في نفس اللحظة . لذلك فإن استعمال هذه المنحنيات لايجاد تغير التعجيل لجزء كبير من المد قد يعطينا قوى قصور ذاتي أكبر من الواقع وقد يقودنا الى صورة تخطف تماما عن ما هو حاصل فعلا ، لذا ومن أجل استعمال هذه المنحنيات لأغراض التصميم يجب أن يكون الجزء المدروس صغير جدا . كما أن ليس هناك أي بأس من استعمالها في تصاميم السدود الصغيرة أو في تصاميم منشآت صغيرة ضمن السد .

لتلاهي هذا القصر الخطير فقد عمدا امبريزي وسارما للاستفادة من النتائج التي حصلوا عليها والتي شرحناها بتطبيقها على اجزاء صغيرة من السد أو شرائح بشكل مشابه لطرق تحليل الاستقرار الستاتيكية ، وذلك بأن يفترض أولا سطح الانزلاق المحتمل كما في هذه الطرق وقد يكون في الغالب قوسيا ثم يقرب شكل هذا السطح بواسطة خطوط مستقيمة وبعد ما تقسم الكتلة المعرضة للانزلاق التي تم تحديدها الى شرائح .

فلو نظرنا الى الحالة الخاصة في شكل ( ٣٠ ) ، حيث أن الكتلة المنزلقة تمر بهامة السد وأن قاعدتها تقع في مستوفى أسسه فإنه يمكن دراسة احتمالات انزلاق هذه الكتلة بالاعتماد على ما توصل اليه امبريزي ( ١٩٦٠ ) ( Ambraseys, 1960 ) من أن التعجيل الأفقي المطلق في أي منصوب ( Y ) تحت الهامة في أية لحظة زمنية خلال الهزة يساوي :

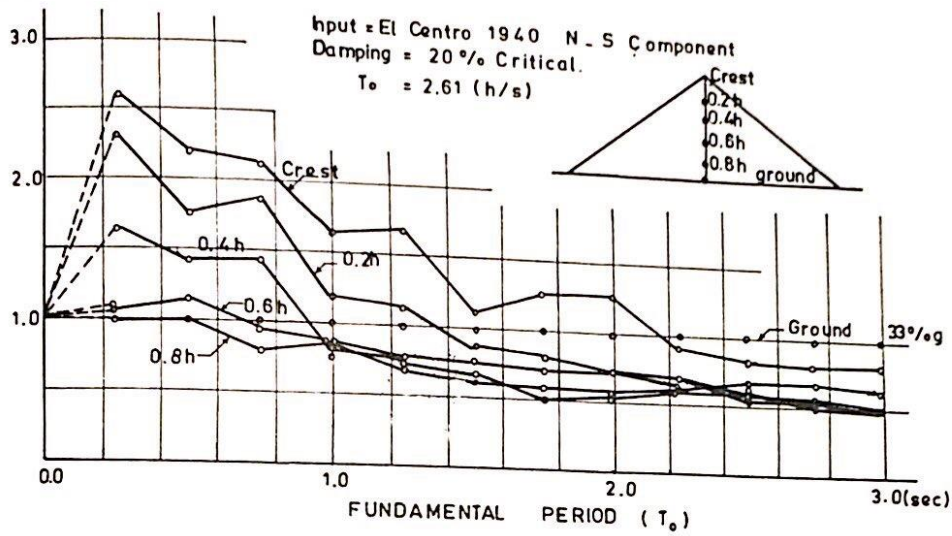
$$U_a''(Y,t) = \sum_m \phi_n(Y) \cdot S a_n \quad \dots (55)$$



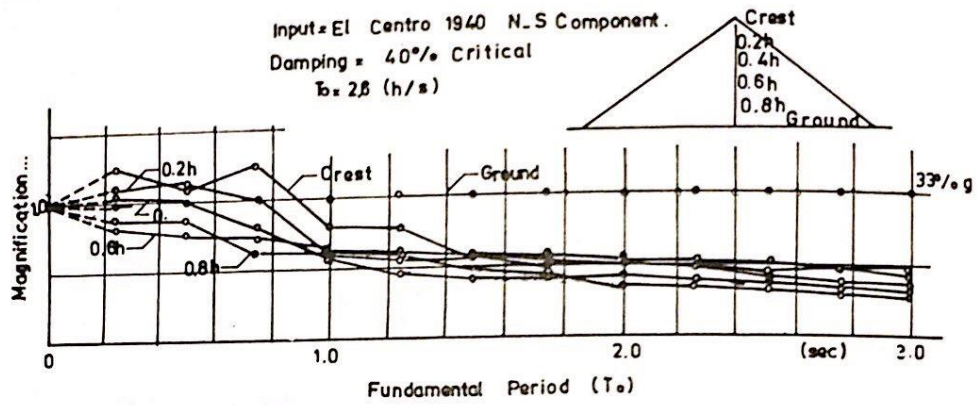
شكل (٢٥) تغيير نسبة التكبير (للمركبة الشمالية - الجنوبية) في هزة السنترو  
مع فترة التردد للطور الاساسي (بمعامل اخمد ١٠%)

(From Ambraseys and Sarma, 1967)



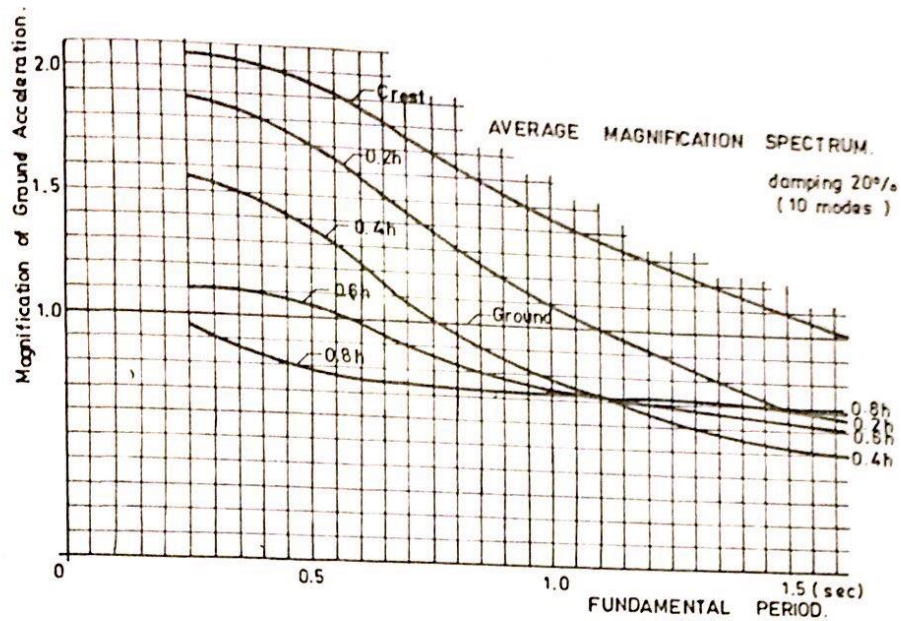


شكل (٢٦) تغيير نسبة التكبير (للمركبة الشمالية - الجنوبية) في هزة  
السطح مع فترة التردد للطور الاساسي (معامل اخمد ٢٠ %) .  
(From Ambraseys and Sarma, 1967)



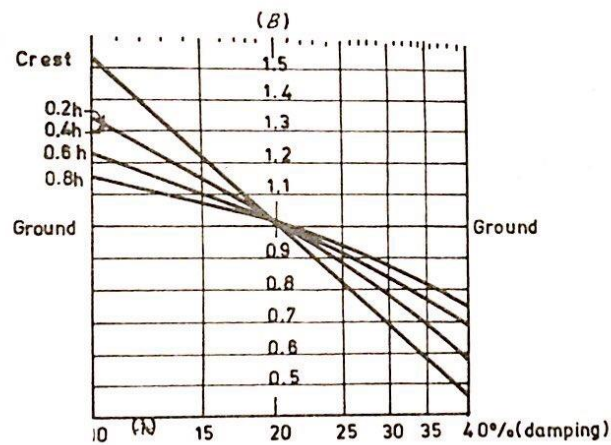
شكل (٢٧) تغيير معامل التكبير (للمركبة الشمالية - الجنوبية) في هزة  
السنتر مع فترة التردد للطور الاساسي (معامل اخذ ٤٠٪).  
(From Ambraseys and Sarma, 1967)





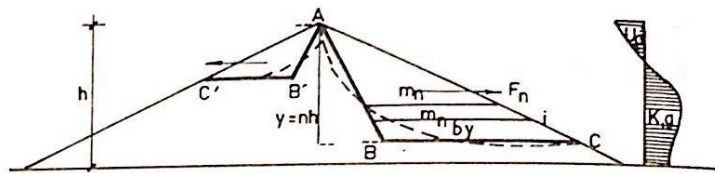
شكل (٢٨) معدل طيف التكبير (معامل اخذ ٢٠٪)

(From Ambraseys and Sarma, 1967)



شكل (٢٩) تصحيحات القيم لمعاملات الاخذ المختلفة لشكل (٢٨)

(From Ambraseys and Sarma, 1967)



شكل (٣٠). حالة الانزلاق لكتلة مارة بقيمة السد وقاعدتها في مستوى فوق مستوى الأساس

(From Ambraseys and Sarma, 1967)



حيث ان المعادلة (55) اما هي شكل اخر من المعادلتين (52) و (53) مدمجتين معا • وان  $\phi_n (Y)$  هي دالة للابعاد الهندسية للسد و  $(s_{an})$  دالة لخواص المرونة للسد وخواص اخادها للحركة اضافة الى التغير الزمني لتعجيل الحركة الارضية.

ويمكن احتساب تعجيل كل شريحة • فالشريحة (i) ذات الكتلة  $(m_i)$  تكون ذات تعجيل  $(K_i g)$  • وان القوة العومرة على هذه الشريحة ستكون  $(m_i K_i g)$  • أما القوة الكلية  $(F_n)$  العومرة على الكتلة المنزقة في لحظة ما فتكون مجموع كافة القوى العومرة على كافة الشرائح •

حيث أن :

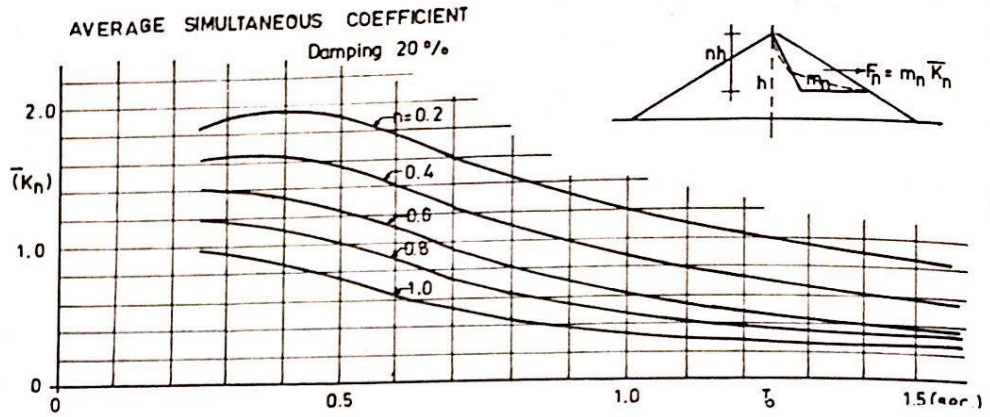
$$F_n = \sum_{i=0}^n K_i m_i g = \bar{K} \cdot g_{\max} \sum_{i=0}^n m_i$$

أي أن :

$$\bar{K}_n = \frac{\sum_{i=0}^n K_i m_i g}{g_{\max} \sum_{i=0}^n m_i} \quad \dots (56)$$

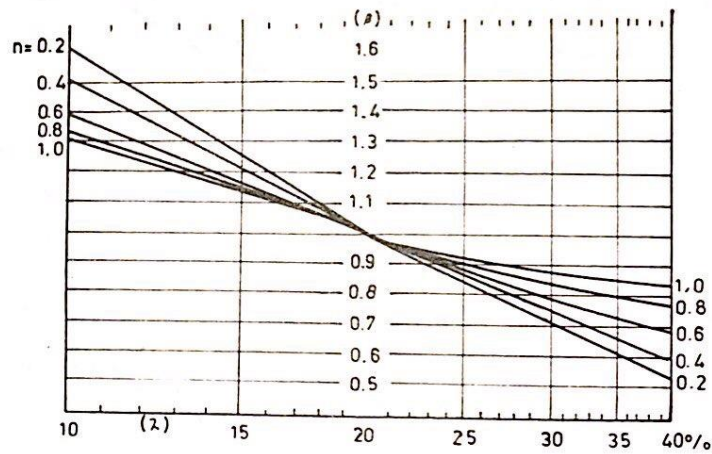
حيث أن  $(\bar{K}_n)$  هو معدل المعامل الزلزالي الآتي المؤثر على كتلة الانزلاق برمتها و  $(g_{\max})$  هو التعجيل الاقصى المصاحب للحركة الزلزالية •

باستعمال هذه الطريقة ولعدة هزات أرضية تمكنا امبريزي وسارما من رسم منحنيات تمثل تغير معدل المعامل الزلزالي الآتي لاستعماله في حسابات استقرارية الكتل المنزقة للحالة الخاصة التي ذكرناها • راجع شكل ( ٣١ ) وشكل ( ٣٢ ) • ان الحالة العامة لشكل كتلة الانزلاق تتمثل بالشكل (٣٣) • حيث لا يشترط مرور سطح الانزلاق بهامة السد كما أنه قد يمر من خلال أسس السد • وتحدد المتغيرات  $(\theta)$  ،  $(\phi)$  ،  $(n)$  شكل سطح الانزلاق كما يحدد  $(m)$  ابعاد السد • ولجعل المسألة أسهل للحل فقد أوجدنا الباحثان تغيير  $(\bar{K}_n)$  بجعل  $(m = 1:1.25)$  وجعل  $(\phi)$  تساوي  $(0.45)$  وكما في الشكل ( ٣٤ ) •



شكل (٣١) معدل المعامل الزلزالي الانبي (معامل الاخمد ٢٠ % )

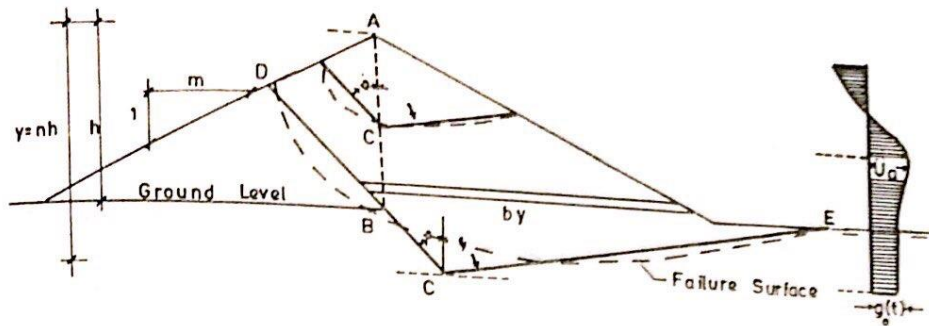
(From Ambraseys and Sarma, 1967)



شكل (٣٢) ملحنيات تصحيح القيم لمعاملات الاخمد المختلفة لشكل (٣١)

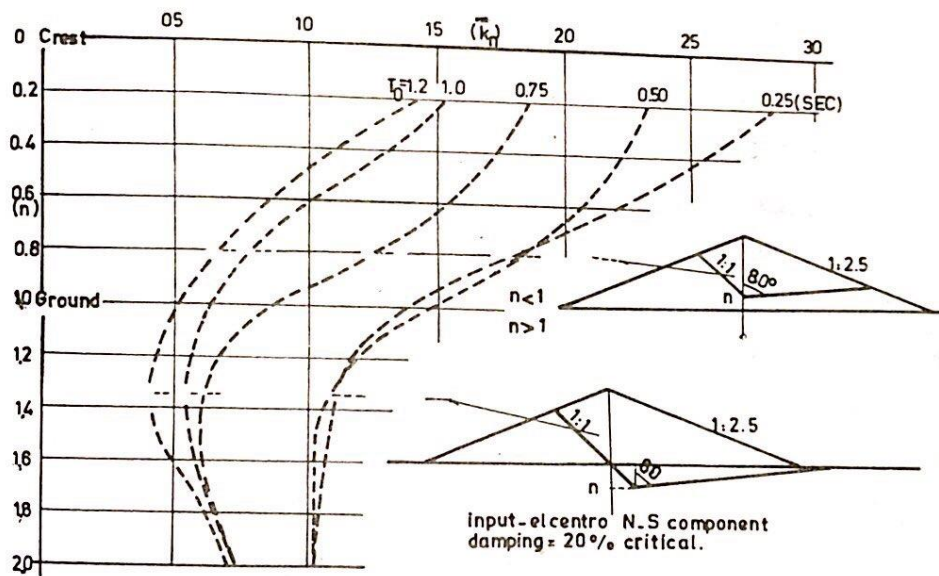
(From Ambraseys and Sarma, 1967)





شكل (٣٣) الحالة العامة للانزلاق

(From Ambraseys and Sarma, 1967)



شكل (٣٤). تغير معدل المعامل الزلزالي الآتي لكتلة المنزلقة مع

فترة التردد الانسائي و (n). (m = 1:2.5, θ = 45°)

(From Ambraseys and Sarma, 1967)

وبالطبع فإن قيمة المعامل الزلزالي الآتي الذي نحصل عليه من المنحنيات التي أشرنا إليها سواء للحالة العامة أو للحالة الخاصة ، إنما هي قيمته في لحظة معينة • فلا بد أن من تدقيق وضعية الاستقرار خلال المجال الزمني الكامل للفترة لغرض التوصل إلى أسوأ الوضعيات بالنسبة للاستقرار ، ويتم ذلك بإعادة التحليل بأخذ فترات زمنية متتالية وإجراء التحليل مجدداً وهذا يعني عدد كبير من الحالات وحجماً كبيراً من الحسابات • إلا أن توفر برامج للحاسبة الإلكترونية قد جعل الأمر ممكناً •

وفي ختام هذا العرض لابد لنا من التطرق إلى مساوئ طرق التحليل الخاصة بالتجاوب (الزج المرن) ويمكن خلاصتها بما يلي :

- نفترض معظم هذه الطرق ضمناً بأن أقصى قيمة للمعامل الزلزالي في أي عمق تتوافق مع أقصى قيمة للمعامل المذكور في الأعماق الأخرى • وهذا غير صحيح ، حيث أن هذا التوافق غير موجود ، كما أنه قد يحصل بأن اتجاه التعجيل في منسوب ما معاكس لاتجاه التمجيل بالمنسوب الآخر ، لذا فإن قوى القصور الذاتي المحسوبة بهذه الطريقة قد تكون أعلى من الواقع أو قد تكون مغايرة بدرجة كبيرة •

- إن استعمال المعامل الزلزالي المحسوب بهذه الطريقة يقود عادة إلى الاعتقاد الخاطيء بأن معامل الأمان إذا ما قل عن ( واحد ) فإن السد سوف ينهار • إلا أن واقع الحال لا يكون كذلك • فكون قوى القصور الذاتي قوى ديناميكية بطبيعتها يعني إمكانية أن يقل معامل الأمان عن ( واحد ) في لحظة ما إلا أن السد لن ينهار طالما كانت المطاوعة النسبية المتراكمة تقل عن المطاوعة النسبية اللازمة لفقدان مادة السد لمقاومتها الستاتيكية •

- إن أي من طرق التجاوب التي شرحناها والتي نفترض بأن السد مكون من شرائح لها نواقص تبعدها عن واقع الحال • فافتراض تجاوب السد للحركة الأرضية ناتج عن قوى القصور من الشرائح فقط غير صحيح ، حيث ثبت بأن هناك قوى أخرى تنتج عن الحركة الأفقية تنجم من المطاوعة بالانضغاط عمودياً ، وكذلك من الشد • وإن ذلك يؤدي إلى تغيير الشكل العام للاجهادات • كما أن هذا الشكل من التحليل يأخذ بعين الاعتبار الاهتزاز الأفقي فقط من الحركة الأرضية ، بينما يهمل تماماً تأثير الاهتزاز العمودي •

(Dynamic Analysis - General)

٣٠٥ التحليل الديناميكي ( بصورة عامة )

لا بد لنا في البدء من أن ننوه بأن الأسلوب شبه الاستاتيكي كونه يعامل الاستقرار وكأن القوى المؤثرة في حالة سكون فإنه في نفس الوقت يعامل صفات وخواص المواد المكونة للسد أو المنحدر ومقاومتها لنفس حالة السكون هذه • وهذا ما ينتقد عليه الأسلوب المذكور • ففي الحركة

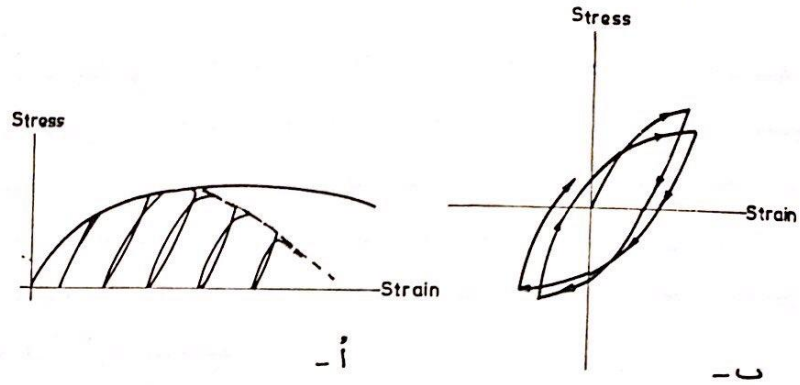


الامتزازية الناتجة عن الحركة الأرضية وخلال الهزة تتغير قيمة الاجهادات كما في شكل ( ١٣٥ ) • كما  
قد تتغير قيمة واتجاه الاجهادات كما في شكل ( ٣٥ ب ) • ويكون النهض والتناوب بالاجهاد  
(Pulsation and Reversal) سريعا في المادة • وطالما كانت المطاوعة صغيرة نسبيا في الكثير  
(Boundary Curve) للعلاقة بين المطاوعة والاجهاد  
من الترب يكون المنحني الحدودي  
الناهض هو نفسه وكان الاجهاد مضاف لمرة واحدة فقط • الا أننا نرى في بعض الترب الاخرى ومعهد  
الوصول الى مطاوعة معينة بأن المنحني المحدد للاجهاد يغير اتجاهه نحو الاسفل ويبدأ بالانخفاض  
كما في الشكل ( ١٣٥ ) ( المنحني المنقط ) • وهذا يعني بأن مقاومة التربة تنخفض نتيجة للنهض الاجهاد  
المستمر • وينتج فمن الشيء في حالة تغير اتجاه الاجهاد المتكرر والمستمر ، حيث تكون مقاومة التربة  
بعد عدد من النهضات أقل من مقاومتها الاصلية •

ان من الملاحظة الواقعية التي تثبت بأن مقاومة التربة الفاعلة خلال الهزة الأرضية هي مختلفة  
عن قيمتها تحت تأثير القوى الستاتيكية وانها دالة للتغير الزمني للاجهادات المؤثرة خلال الهزة  
هو ما حصل للعديد من المنحدرات الطبيعية في انكوج خلال هزة الاسكا ( ١٩٦٤ ) • ان انهيار  
هذه المنحدرات لم يحصل الا بعد دقيقتين من بداية الحركة الأرضية أى بعد تحقق التعجيل الاقصى  
للهمزة ببعض الوقت • وهذا يعني بأن التربة قد فقدت مقاومتها بصورة تدريجية خلال الهزة الأرضية  
نتيجة للانخفاض التدريجي في مقاومة التربة ولتراكم الازاحات • وتظهر الفحوصات المختبرية صحة  
هذا الاستنتاج ، لذا يحتبر فحص التحميل الثلاثي المتكرر (Cyclic Triaxial Loading Test)  
من الفحوصات المختبرية المهمة لمحاكاة الوضعية الحقيقية في الحقل ويعطينا معلومات تقارب الواقع  
عند تعرض التربة للقوى الديناميكية •

ان اسلوب التحليل الديناميكي يأخذ بعين الاعتبار التغير الحاصل في خواص ومقاومة مواد السد  
أو المنحدر نتيجة للتأثيرات الديناميكية للقوى المؤثرة • كما أنه يأخذ بالحسبان التأثيرات على ضغط  
الماء المسامي ، اضافة الى تغير حجم المساميات وحتى كثافة المادة •  
وكما بينا سابقا فإن قوى القصور الذاتي خلال الهزة الأرضية في بعض أجزاء السد أو المنحدر  
قد تبلغ من الشدة بحيث ينخفض معامل الامان في تلك الاجزاء الى أقل من ( واحد ) • ولكن للحظرات  
قصيرة تحصل خلالها ازاحات دائمية الا انها تتوقف حال توقف التعجيل المؤثر أو تغير اتجاهه • ويكون  
التأثير التراكمي لسلسلة ازاحات هذه ، ازاحة تراكمية لقطع من مقاطع السد • ولن تحصل أية ازاحة  
اضافية اللهم الا اذا ما كانت الازاحة الكلية أكثر من الازاحة التي يمكن للقطع تحمله في حالة السكون  
• حيث يتتابع الفشل بانزلاق أو تميع ذلك الجزء ، ومن ثم الاجزاء الاخرى •

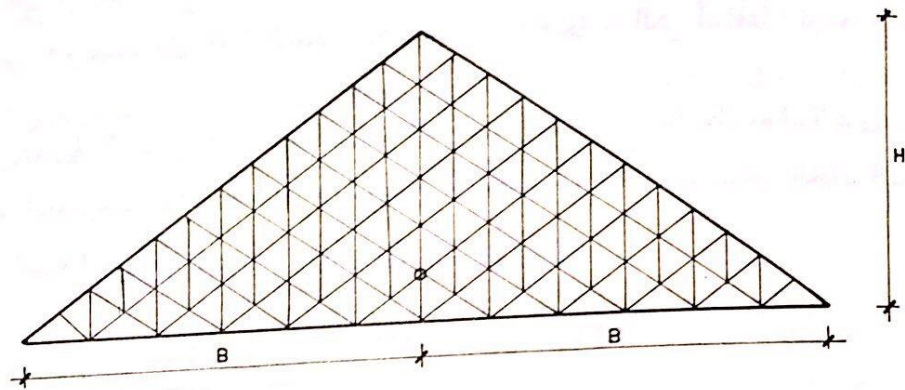
لذا نرى بأن مقدار الازاحة الناتجة عن الهزة الأرضية تعتمد على التغير الزمني لقوى القصور  
الذاتي • وان الطريقة المنطقية في التحليل تقتضي ما يلي : —



شكل (٢٥) علاقة (المجهد - المطاوعة) تحت تأثير النبض والتأوب بالمجهد



- معرفة التغير الزمني للزمن الجيل وبالتالي إيجاد التغير الزمني للاجهادات الناتجة من حركة أرضية معينة تؤثر في قاعدة السد •
- تعريض نماذج من التربة في المختبر لنفس تتابع الأجهادات وقيمتها والتي تم إيجادها من الخطوة السابقة • ودراسة خواص مادة هذه النماذج ومقاومتها تحت هذا الشكل من أشكال التحميل •
- تخمين الازاحات المتوقعة في السد نتيجة لهذه القوى • وذلك من نتائج الخطوتين السابقتين •
- لقد تمكن سيد ومارتن ( ١٩٦٦ ) ( Seed and Martin, 1966 ) باستعمال شرائح أفقية واعتماد قوى القص ( Shear Slice Analysis ) من إيجاد تغير التعجيلات وبالتالي الأجهادات الناتجة على طول سطوح الانزلاق المحتملة خلال الهزة الأرضية • وقد أمكن بواسطة التكامل احتساب توزيع قوى القص الذاتي الموزعة في الفترات المختلفة من الهزة على كتل الانزلاق المحتملة المختلفة • وبذلك أمكن بهذه الطريقة إيجاد تأثير الحركة الأرضية للهزة كدالة للتغير الزمني للتعجيل في الأجزاء المختلفة من السد •
- ان التطور الكبير في أسلوب التحليل الديناميكي قد جاء نتيجة لاستعمال طريقة القطع المحددة ( Finite Elements ) ، حيث طبقت لأول مرة من قبل كلوف وجوبرا ( ١٩٦٦ ) ، ( Clough and Chopra, 1966 ) ففي هذه الطريقة يمكن تصور السد وكأنه مكون من شبكة مترابطة من القطع المحددة المرتبطة مع بعضها البعض في عقد ( Nodes ) كما في شكل ( ٣٦ ) • ويمكن دراسة تغيرات خواص السد والاهادات فيه والازاحات بدراسة ما يحدث في هذه العقد وكما ستقوم بشرحه • نلاحظ في هذه الطريقة ما يلي : —
- تسمح هذه الطريقة ببيان كيفية نشوء وتطور قوى القص والاضطاط والشد كافة خلال الاهتزاز
- إمكانية أخذ تأثير المركبتين الأفقية والعمودية للتعجيل بعظر الاعتبار •
- إمكانية دراسة أي مقطع كان من السد بهذه الطريقة إضافة إلى إمكانية دراسة منظومة ( السد والاساس ) معا •
- يمكن لهذه الطريقة ان تعطينا التغير الزمني الكامل للازاحات والسرعات والتعجيلات والمطاوعة والاهادات في كافة العقد من الشبكة • وكلما كانت الشبكة ذات قطع أصغر كلما كان عدد العقد أكبر ، وبذلك يمكن معرفة قيمة المتغيرات في عدد أكبر من النقاط في جسم السد • فـ



شكل (٣٦) شبكة القطع المحددة لمقطع سد ♦



المناطق ذات الأهمية الخاصة من جسم السد يمكن تكثيف عدد القطع والحصول على صورة أدق من هذه المعلومات •

— ان هذه الطريقة تعطينا الاجهادات والازاحات الحقيقية في السد وليس معامل امان كعدد مجرد قد لا يعني شيئا في ضوء ما يمكن لمواد السد من تحمله عن اجهادات وازاحات •

٣٠٦ التحليل الديناميكي ( خواص المواد ) (Dynamic Analysis-Material Properties)

في استعمال طريقة القطع المحددة يتم تمثيل الواقع الفيزيائي للسد وأساسه والقوى المؤثرة عليه بنموذج رياضي • ونتيجة حل هذا النموذج يتم ايجاد المتغيرات التي أسلفنا ذكرها •

ولا بد من تعريف المعلومات الداخلة بهذا النموذج (Input) بواسطة معادلات رياضية خاصة • ومن هذه المعلومات خواص المواد البدائية (الستاتيكية) • وكذلك خواص المواد الديناميكية (وكيفية تأثرها بالهزة) وسوف نتبع فيما يلي شرح هذه الأمور •

خواص المواد البدائية (الستاتيكية) (Static Properties)

لا بد لنا في بداية التحليل من أخذ السد قبل تعرضه للهزة الأرضية ودراسة الخواص البدائية للمواد المكونة له وتغير هذه الخواص خلال فترة الانشاء وعند امتلاء الخزان •

أما الخواص ذات العلاقة فهي : الكثافة الابتدائية ( $\rho_0$ ) ، نسبة الفراغات الابتدائية (Initial Void Ratio  $e_0$ ) ، معامل المرونة الستاتيكي (E) إضافة الى نسبة بوسون الستاتيكية ( $\nu$ ) وتقاس هذه القيم عادة موقعيا خلال فرش وحدل التربة في فترة الانشاء ويمكن اعتمادها للسدود المعاطة تحت الدراسة •

ولقد جرت العديد من الدراسات على سدود أثناء فترة الانشاء • حيث تم قياس الهبوط (Settlement) وتم ربط ذلك بزيادة الاحمال المضافة خلال فترة الانشاء •

فقد أوجد ماتسوي (1973) (Matsui, 1973) العلاقة بين الاجهاد العمودي ومطاطعة الهبوط (Settlement Strain) عن طريق القياس الفعلي في العديد من السدود تحت الانشاء إضافة الى نتائج الفحوصات المختبرية في فحوصات الانضغاط الثلاثي • وقد وجد بأن قيمة (E) و ( $\nu$ ) تخضعان للمعادلتين العامين التاليين :

$$E = A \cdot \sigma_y^B \quad \dots (57)$$

$$\gamma = C + \frac{F}{\sigma_y + D} \quad \dots(58)$$

حيث أن :

الاجهاد العمودي

$$\sigma_y =$$

معاملات ثابتة

$$A, B, C, D, F =$$

ان قيم المعاملات الثابتة وبموجب الحالات العديدة التي درسها ماتسوى مدرجة في

جدول (١٥) •

جدول رقم (١٥) خواص المواد البدائية

المتغير الستاتيكي	E (kg/cm <sup>2</sup> )		$\gamma$			$\rho_o$	$e_o$	C	$\phi$
	A	B	C	D	F	g/cm <sup>3</sup>		kg/cm <sup>2</sup>	degree
القشرة الحصوية	190	0.131	0.30	0.943	0.075	2.0	0.35	0.45	41.5
المرشحات	205	0.213	0.34	0.825	0.074	1.9	0.37	1.25	38.4
اللب	218	0.312	0.37	0.669	0.073	1.9	0.39	1.30	38.9

من المعادلتين اعلاه ومن القيم المبينة في الجدول • نرى ان بالامكان ايجاد معامل المرونة ونسبة بوسون في أى مستوى من المد • كما يبدو واضحا ان هاتين الخاصتين تتغيران حسب المنسوب نتيجة لتغير الاجهاد العمودي •

(Dynamic Properties)

خواص المواد الديناميكية

ان الخواص التي تهم البحث في الوضعية الديناميكية ثلاثة وهي : معامل المرونة الديناميكي ونسبة بوسون الديناميكية (E) اضافة الى معامل الاخمد ( $\lambda$ ) • وقد أمكن ايجاد العلاقة الرياضية المثلثة لمعامل المرونة باستعمال طرق المسح الزلزالي لسدود متفذة • حيث تمكّن



ساوادا ( ١٩٧٥ ) ( Sawada, 1975 ) ومن المصحح الزلزالي للعديد من السدود المفظة في اليابان من ايجاد العلاقة بين توزيع سرعة العوجة المستعرضة وعمق النقاط داخل جسم السد . كما وجد بأن نسبة الاجهاد من الرئيسين  $(\sigma_1 / \sigma_2)$  (Principal Stresses) لهذه السدود ثابتة تقريبا وتتراوح بين ( ٢ ) و ( ٥ ) . وقد اقترح بأن تكون القيمة في المعدل ( ٣ ) . كما وجد هارادا ( ١٩٧٧ ) ( Harada, 1977 ) بأن ثقل عمود التربة في اللب لا يظهر بصورة كاملة كضغط وإنما حوالي ( ٧٠ % ) منه فقط يظهر كضغط . ومن ثم كأجهاد  $(\sigma_1)$  ويهبط كافة هذه الأمور معاً ونتيجة لفحوص التحميل الثلاثية الديناميكية فقد تم ايجاد العلاقتين التاليتين :

$$E = J \frac{(2.97 - e)^2}{1 + e} \frac{K}{K + \rho} (\sigma'_m)^L \quad \dots(59)$$

$$E_t = J \frac{(2.97 - e)^2}{1 + e} \left( \frac{K}{K + \rho} \right)^2 (\sigma'_m)^L \quad \dots(60)$$

حيث أن :

$E =$	معامل المرونة الديناميكي ( الانضغاط )
$E_t =$	معامل المرونة الديناميكي ( القص )
$J, K, L =$	معاملات ثابتة
$e =$	نسبة الفراغات (Void Ratio)
$\rho =$	الكثافة
$\sigma'_m =$	الاجهاد الموتر ويساوى $(\sigma_1 - \sigma_2)$

أما نسبة بوسون فقد وجدت بأنها تتبع العلاقة التالية :

$$\nu = (M - N) Z^P \quad \dots(61)$$

حيث أن :

$M, N, P =$	عوامل ثابتة
$Z =$	العمق من قمة السد

أما معامل الاختلاف فقد وجد بأنه يتبع العلاقة التالية :

$$\lambda = Q \cdot \frac{\rho}{K + \rho} + R$$

... (62)

حيث أن :

معامل ثابت سبق تعريفه  
 الكثافة وقد سبق تعريفه  
 معاملات ثابتة  
 $K =$   
 $\rho =$   
 $Q, R =$

وندرج في الجدول رقم ( ١٦ ) قيم الثوابت التي اشرنا اليها في المعادلات ( 59 و 60 و 61 و 62 ) كما تم اعتمادها لعدد من السدود .

جدول رقم ( ١٦ ) خواص المواد الديناميكية

المتغيرات الديناميكية	معاملات المرونة (E) kg/cm <sup>2</sup>				نسبة بوسون ( $\nu$ )		معامل الاخماد ( $\lambda$ )	
	J	K	L	M	N	P	Q	R
اللب	395	$1.33 \times 10^{-4}$	0.69	0.45	0.006	0.60	0.23	0.15
المرشحات	326	$5.00 \times 10^{-4}$	0.55	0.45	0.006	0.60	0.30	0.15
المقدم القشرة الحجرية	440	$1.56 \times 10^{-4}$	0.5	0.49	0.01	0.55	0.23	0.15
المؤخر				0.375	0.006			

٣٠٧ التحليل الديناميكي ( نمذجة الحركة الاهتزازية )

(Dynamic Analysis - Ground Motion Modelling)

لا تختلف النمذجة هنا عن النمذجة في حالة استعمال طريقة التحليل ( اللزج - المرن ) فهي  
 الاسلوب شبه الاستاتيكي . ويتم عادة اعتماد نوعين من الهزات كنموذجين لمعرفة تأثير  
 السد بهما . الهزة الاولى ذات تعجيل أقل الا انها ذات فترة تذبذب أطول . أما الثانية فهي  
 ذات تعجيل أكبر وفترة أقصر .

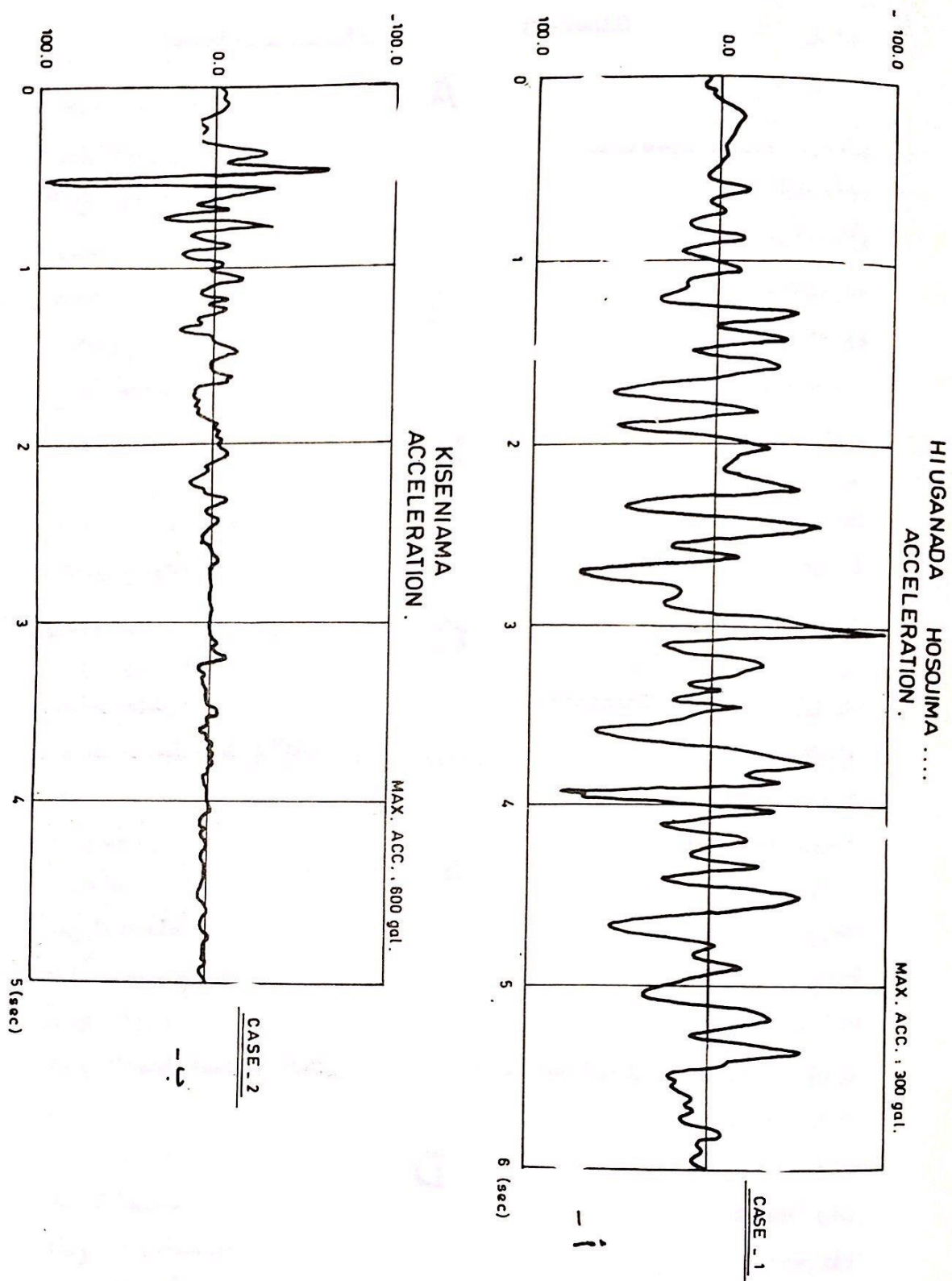


ويمكن اختيار هذه النماذج من الهزات العديدة المسجلة والمدرسة دراسة جيدة والتي سبق وان ذكرنا البعض منها • ونورد على سبيل المثال هزتين أرضية تمثلان هذين الشكلين من الهزات وقد تم استعمالهما فعلا في دراسة أحد السدود العراقية وهما هزة هوكاندا - هوسوجيما (1978) للحالة الاولى ، وهزة كاسينا ياما - سلاهي (1974) للحالة الثانية • ونورد في الجدول رقم ( ١٧ ) خواصيهما • كما يبين الشكل ( ١٣٧ ) ، ( ٣٧ ب ) اليزموغرام المسجل لكل منهما •

جدول رقم ( ١٧ ) خواص الهزات النموذجية المستخدمة في التحليل الديناميكي

اسم الهزة	مدة الهزة (sec)	فترة التكرار (sec)	التعجيل الاقصى ( المركبتان الافقيتان ) المركبة الاولى      المركبة الثانية	سوع الهزة
هوكاندا ، هوسوجيما	6	0.375	100 gal      300 gal	هزة كهوية
كاسينا ياما - سلاهي	6	0.125	400 gal      600 gal	هزة موضعية

ما تقدم يمكننا أن نوجز بأن أسلوب التحليل الديناميكي أسلوب دقيق ويعطينا نتائج جيدة للازاحات والاجهادات المختلفة في جسم السد وهو لهذا السبب مفيد جدا عند اعداد التصاميم التفصيلية ، ولذا فيمكن اعتماد الاسلوب شبه الاستاتيكي في مرحلة التصاميم الاولى للسدود لتحديد الشكل العام للسد ومنحدراته والسداد الاضافية المطلوبة (Toe Weights) على أن تدقق كل هذه الامور في المرحلة التالية ، أي مرحلة التصاميم التفصيلية بواسطة التحليل الديناميكي •



شكل ( ٣٧ ) نماذج الهزات الأرضية لتصميم السدود بأسلوب التحليل الديناميكي •



Glossary

المصطلحات

A

Acceleration Spectrum  
Aftershocks  
Alluvium  
Amplitude  
Attenuation  
Azimuth

طيف التعجيل  
هزات ثانوية لاحقة  
رسميات  
سعة  
توهين  
زاوية السميت

B

Body waves  
Boundary Curve

الموجات الهاطنية  
منحني حدودي

C

Coefficient of Truncation  
Cohesion of soil  
Compaction  
Compacted Fill  
Compression  
Compression Mode  
Crack  
Cycle  
Cyclic Triaxial Loading Test

معامل الشكل  
تعاسك وتلاصق جزيئات التربة  
رص  
دفن مرصوص  
انضغاط  
طهر الانضغاط  
شق ، صدع  
دورة  
فحص التحميل الثلاثي المتكرر

D

Dam Crest  
Damper  
Damping Coefficient  
Design Earthquake (DE)  
Deterministic Procedure  
Deviation

مامة السد  
كاهج ، خامد  
معامل الكبح أو الاخماد  
الهزة القصية  
الاسلوب الحتمي  
الحواف

Differential	مفاضلي
Displacement	ازاحة
Downstream Slope	المنحدر الخلفي
Drainage	صرف المياه
Dynamic Stability	الاستقرارية الديناميكية

## E

Elastic	مرون
Elastic Limit	حد المرونة
Elastic Spring	نابض مرون
Elasticity	مرونة
Elastic-Plastic	مرون - لدن
Element	قطعة
Emergency Spillway	مسيل الطوارئ
Epicenter	بؤرة الزلزال السطحية
Erosion	تآكل
Exponential Frequency Distribution	توزيع التكرارات الأسّي

## F

Fault	فالق
Finite Elements	القطع المحددة
Flow Slide	انزلاق ، تدفق
Focal Distance	البعد البؤري
Focal Depth	العق البؤري
Foreshocks	هزات ثانوية سابقة
Foothills	سفوح الجبال
Fourier Spectrum	طيف فورييه
Free Board	فضاء صافي
Frequency Distribution	توزيع التكرارات
Fundamental Mode	الطور الاساسي



Gal

G

وحدة قياس التعجيل وتساوى ( ١ سم / ثا<sup>٢</sup> )

H

Hydraulic Core

Hydraulic Fill

لب هايدروليكي  
( مغطى بطريقة الجوف الهيدروليكي )  
دفن هايدروليكي

I

Independent

Inertia

Inertia Force

Input Data

Intensity

Investigation Pit

مستقل  
القصور الذاتي  
قوة القصور الذاتي  
المعلومات الداخلة  
شدة  
حفرة تحريات

L

Liquefaction

Log-Normal Distribution

تميع  
توزيع التكرارات اللوغاريتمي - الخطي

M

Magnitude

Maximum Annual Flood

Maximum Credible Earthquake (MCE)

Maximum Probable Flood (PMF)

Maximization

Modulus of Rigidity

Model

Multi Degrees of Freedom

مقدار الزلزال  
الفيضان الأقصى السنوي  
الهزة القصوى الممكنة  
الفيضان الأقصى المحتمل  
تعظيم  
معامل الجسور  
نموذج  
عدة درجات من الحرية

N

Natural Saddle	سدج طبيعي ( مرتفع من الارض الفاصل بين منخفضين متجاورين )
Node	عقدة
Normal Distribution	توزيع التكرارات الخطي

O

One Dimensional Vibration	الاهتزاز الاحادي الاتجاه
One Degree of Freedom	درجة واحدة من الحرية
Overtopping	طفح المياه

P

Pseudo-Static	شبه ستاتيكي
Piping	تاكل بسبب الرش
Poisson Model	نموذج بوسون
Point Process	عملية نقطية
Point Source	مصدر نقطي
Pore Pressure	الضغط المسامي
Pore Water	ماء مسامي
Probability	احتمال
Probability of Exceedence	احتمال التجاوز
Probability Cumulative Distribution	توزيع تكرارات الاحتمالات التراكمي
Probabilistic Procedure	الاسلوب الاحتمالي
Primary Waves (P-Waves)	الموجات الاولى
Pulsation	نبض

R

Radiation	اشعاع
Regional Seismicity	الزلازلية الاقليمية
Relative Density	الكثافة النسبية
Response	تجاوب أو استجابة
Response Time	زمن التجاوب



Return Period

فترة التكرار

Reversal

تناوب

Rigid

جامد

## S

Saturation

تشبع

Scale

مقياس

Secondary Waves (S-Waves)

الموجات الثانوية

Seismic

زلزالي

Seismic Activity

فعالية زلزالية

Seismic Coefficient

المعامل الزلزالي

Seismic Probability Map

خريطة الاحتمالات الزلزالية

Seismic Risk

الخطورة الزلزالية

Seismic Spectrum

الطيف الزلزالي

Seismic Moment

العزم الزلزالي

Seismic Wave

الموجة الزلزالية

Seismogram

السجل الزلزالي

Seismograph

جهاز رصد وتسجيل الزلازل

Seismotectonic Regions

المناطق التكتونية الزلزالية

Self-Healing

اندمال ذاتي

Semi-log

نصف لوغاريتمي

Sensitive Clay

طين حساس

Settlement

هبوط

Shaking

ارتجاج ، اهتزاز

Shear

قص

Shear Mode

طور القص

Sinusoidal

جيبى

Slumping

ترهل

Space Series

دالة حيزية

Standard Deviation

الانحراف المعياري

Strain

اجهاد

Stress

جهد

Surface Waves

الوجات السطحية

T

Tangential Stress

جهد مماس

Tailing Dams

السدود المستعطة لأغراض التعدين أو المخلفات المعدنية

المكدسة نتيجة لعطيات التعدين

Time Series

متوالية أو سلسلة زمنية

Toe Berms

السداد الاضافية هدم وموخر السد

U

Undamped Frequency

التردد الحو

Uniform Grading

تدرج منتظم

Upstream Slope

المحدر الامامي

V

Viscos Damper

خامد لزج

Visco-Elastic

لزوج - من

Void Ratio

سبة الفراغات

Y

Yield (n)

حصيلة ، انصباغ

Yield (v)

ينصباغ



REFERENCES CITED

المصادر المستعملة

- Aki, K., 1965. Maximum likelihood estimate of 'b' in the formula:  
 $\log N = a - bM$  and its confidence limits, Bull. Earthq. Res. Inst.,  
 Tokyo Univ., 43, 237-239.
- Al-Abbasi, J.N., 1984. Extreme value statistics with application to  
 earthquake risk estimation in Iraq, MSc Thesis Dept. of Statistics  
 Baghdad University, Baghdad.
- Al-Abbasi, J.N., and Fahmi, K.J., 1985. Estimating maximum magnitude  
 earthquakes in Iraq using extreme value statistics. Geophy. J.  
 R. astr. Soc. (In press).
- Al-Sinawi, S. and Ghalib, H., 1975a. Historical seismicity of Iraq.  
 Bull. Seism. Soc. Am., 65, 541-547.
- Al-Sinawi, S. and Ghalib, H., 1975b. The seismicity and seismotectonics  
 of Iraq, Bull. Coll. Science, 16, Baghdad Univ. Press, Baghdad.
- Al-Sinawi, S., and Ghalib, H., 1975c. Seismic zoning of Iraq. Proc. 2nd  
 SRF Conf. Baghdad.
- Al-Sinawi, S. and Al-Moosawi, H., 1980. Seismic zoning and other seismic  
 parameters consideration for Iraq. Proc. 7WCEE, Istanbul,  
 185-192.
- Anonymous, 1957. Standard specifications for structures in seismic  
 regions. Hydrotechnical Project, SN-8-1957, Moscow.
- Ambraseys, N.N., 1960a. On the seismic behavior of earth dams. Proc.  
 2WCEE, Tokyo, 331-358.
- Ambraseys, N.N., 1960b. The seismic stability of earth dams. Proc. 2WCEE,  
 Tokyo, 1345-1364.
- Ambraseys, N.N., and Sarma, S.K., 1967. The response of earth dams to  
 strong earthquakes, Geotechnique, 181-213.

## JOURNAL OF WATER RESOURCES

- Ambraseys, N.N., 1975. Ground motions in the near field of small magnitude earthquakes. Proc. CSNI, Europe, 113-136.
- Ambraseys, N.N., 1978. A reappraisal of the seismicity of the Middle East. Quart. Eng. Geo., 19-32.
- Chandra, U., McWhorter, J.G., and Nowroozi, A.A., 1979. Attenuation of intensities in Iran, Bull. Seism. Soc. Am., 237-250.
- Clough, R.W. and Chopra, A.K., 1966. Earthquake stress analysis in earth dams. ASCE (EM2), 197-212.
- Donovan, N.C., 1973. A statistical evaluation of strong motion data including the February 9, 1971 San Fernando earthquake. SWCEE, Rome, 1252-1261.
- Donovan, N.C., and Bornstein, A.E., 1978. Uncertainties in seismic risk procedures. ASCE (GT7), 869-887.
- Ergin, K., 1969. Observed intensity-epicentral distance relations in earthquakes. Bull. Seis. Soc. Am., 1227-1238.
- Esteva, L., and Rosenblueth, E., 1964. Espectros de temblores a distancias moderadas y grandes. Bol. Soc. Mex. Ing. Sismica, 1-18.
- Esteva, L., 1967. Criteria for the construction of spectra for seismic design. Third Pan American Symp. on Structures, Venezuela.
- Esteva, L., 1974. Geology and predictability in the assessment of seismic risk. Proc. 2nd. Int. Conf. Assoc. Eng. Geologists, Sao Paulo, Brazil.
- Fahmi, K.J., 1982. Practical considerations for the implementation and development of the Iraqi Seismological Network project, SRC/ERC Pub. SR1/82, 77 pp.
- Fahmi, K.J., 1984. Preliminary estimation of earthquake risk in Iraq. SWCEE, San Francisco, 141-148.



## JOURNAL OF WATER RESOURCES

- Gumbel, E., 1958. Statistics of Extremes, Columbia Univ. Press, Palisades N.Y.
- Gutenberg, B., and Richter, C.F., 1954. Seismicity of the Earth and Associated Phenomena, Princeton Univ. Press, N.J.
- Harada, , 1977. In Baba, K. (1981), "Earthquake engineering on dams". Publication of Electric Power Development Co. Ltd.
- Hatanaka, M., 1952. Three dimensional consideration on the vibration of earth dams, Jour. JSCE, vol. 37, No. 10.
- Housner, G.W., 1959. Behavior of structures during earthquakes. ASCE (EM4), 109-129.
- Ishimoto, M., and Iida, K., 1939. Earthquake observation by microseismograph, Bull. ERI, vol. 17.
- Kawakami, F., 1954. Earth Dams. (In Japanese). Publication of Kashima Construction Research Institute.
- Kawasumi, H., 1943. Seismic intensity and seismic intensity scale (in Japanese), Zisin, Vol. 15.
- Lomnitz, C., 1974. Global Tectonics and Earthquake Risk, Elsevier Co. Amsterdam.
- Mahmood, D.S. and Al-Ridha, N., 1984. Seismic design parameters for northern Iraq applying probabilistic methods. J. Water Resources, Vol. 2, No. 3.
- Marshall, P., 1970. Aspects of spectral differences between earthquakes and underground explosions. Geophys. J. R. astro. Soc., 397-416.
- Matsui, , 1973. In Baba, K. (1981), "Earthquake engineering on dams". Publication of Electric Power Development Co. Ltd.
- McGuire, R.K., 1974. Seismic structural response risk analysis incorporating peak response regressions on earthquake magnitude and distance MIT Rep. 74-81, Cambridge, Massachusetts.

## JOURNAL OF WATER RESOURCES

- Milne, W.A., and Davenport, A.G., 1969. Distribution of earthquake risk in Canada, Bull. Seism. Soc. Am., 729-754.
- Mononobe, N., Takada, A., and Matsumura, M., 1936. Seismic stability of the earth dam. Trans. of II-ICOLD.
- Okamoto, S., 1973. Introduction to Earthquake Engineering, Tokyo Univ. Press. Tokyo.
- Puttonen, J., and Varpasuo, P., 1982. Seismic risk analysis for northern Iraq. Earthq. Eng. Struct. Dyn., 605-614.
- Sawada, , 1975. In Baba, K., (1981), "Earthquake engineering on dams. Publication of Electric Power Development Co. Ltd.
- Seed, H.B. and Lee, K.L., 1966. Liquefaction of saturated sand during cyclic loading, Proc. ASCE (SM6), Vol. 92.
- Seed, H.B. and Martin, G.R., 1966. Seismic coefficient in earth dam design. Proc. ASCE (SM3), Vol. 92.
- Posic, M.B., 1980. Seismic risk studies for large dam projects in northern Iraq. Proc. Conf. Inst. Civil Eng. London, 23-30.
- Trifunac, M., and Brady, A.G., 1975. On the correlation of seismic intensity scales with the peaks of recorded ground motion, Bull. Seism. Soc. Am., 139-162.
- Utsu, T., 1966. A statistical significance test of the difference in "b" value between two earthquake groups, J. Phys. Earth., 37-40.



MINISTRY OF IRRIGATION  
JOURNAL OF WATER RESOURCES

EARTHQUAKES AND THEIR EFFECT  
ON EMBANKMENT DAMS



NASRAT N. ADAMO

SPECIAL PUBLICATION No.1, 1985